



الجامعة الافتراضية السورية  
SYRIAN VIRTUAL UNIVERSITY

# اتصالات رقمية

## الدكتورة أميمة الحمواتي الدكاك



ISSN: 2617-989X



Books & References

## اتصالات رقمية

الدكتورة أميمة الحكواتي الدكاك

من منشورات الجامعة الافتراضية السورية

الجمهورية العربية السورية ٢٠٢٠

هذا الكتاب منشور تحت رخصة المشاع المبدع – النسب للمؤلف – حظر الاشتقاق (CC-BY-ND 4.0)

<https://creativecommons.org/licenses/by-nd/4.0/legalcode.ar>

يحق للمستخدم بموجب هذه الرخصة نسخ هذا الكتاب ومشاركته وإعادة نشره أو توزيعه بأية صيغة وبأية وسيلة للنشر ولأية غاية تجارية أو غير تجارية، وذلك شريطة عدم التعديل على الكتاب وعدم الاشتقاق منه وعلى أن ينسب للمؤلف الأصلي على الشكل الآتي حسراً:

أميمة الحكواتي الدكاك، الإجازة في تقانة الاتصالات، من منشورات الجامعة الافتراضية السورية، الجمهورية العربية السورية، ٢٠٢٠

متوفّر للتحميل من موسوعة الجامعة <https://pedia.svuonline.org/>

## Digital Communications

Oumayma Al Hakawati Al Dakkak

Publications of the Syrian Virtual University (SVU)

Syrian Arab Republic, 2020

Published under the license:

Creative Commons Attributions- NoDerivatives 4.0

International (CC-BY-ND 4.0)

<https://creativecommons.org/licenses/by-nd/4.0/legalcode>

Available for download at: <https://pedia.svuonline.org/>



## الفهرس

1.....	مقدمة حول الاتصالات الرقمية.....
1.....	نظام الاتصالات.....
3.....	تخصيص الترددات.....
7.....	قياس كمية المعلومات ( مبادئ نظرية المعلومات ).....
12.....	سعة القناة.....
15.....	الترميز وفعالية الترميز.....
20.....	مبادئ الاحتمالات والسيرورات العشوائية.....
22.....	الاحتمالات.....
24.....	تابع الكثافة الاحتمالية وتتابع التوزيع الاحتمالي.....
28.....	القيمة الوسطى والعزوم.....
29.....	توزيعات هامة.....
33.....	السيرورات العشوائية.....
38.....	الكثافة الطيفية للاستطاعة.....
41.....	تعديل الحزمة الفاعدية.....
41.....	أنواع التعديل النبضي.....
49.....	تعديل ترمي النبضة PCM.....
53.....	الترميز التفاضلي وترميز التتبؤ الخطى.....
57.....	ترميز الخط.....
66.....	تعديل حزمة التمرير.....
66.....	تذكير بالتعديل التماذى.....
68.....	تعديل حزمة التمرير للإشارات الرقمية.....
71.....	التعديل المتعدد المستويات.....
77.....	التنضيد باقتسام الترددات المتعامدة OFDM.....
85.....	أداء نظام الاتصالات بوجود الضجيج.....
86.....	احتمال الخطأ في نظام اتصالات رقمي.....
90.....	نمط العين وتدخل الرموز.....
92.....	فعالية الطيف.....
95.....	المرشح المتواافق.....
98.....	الكشف المتماسك.....
101.....	الكشف غير المتماسك.....
112.....	ترميز القناة وتصحيح الأخطاء.....
114.....	الترميز الخطى الكلى LBC.....
119.....	الترميز التلفيفي.....

127.....	ترميز Reed – Solomon R-S
132.....	الترميز التشابكي Interleaving
137.....	ترميز توربيني Turbo Codes
142.....	أداء نظم الاتصالات الرقمية

# مقدمة حول الاتصالات الرقمية

## 1. نظام الاتصالات

نظام الاتصالات الرقمية هو نظام ينقل المعلومات من منبع معلومات (مصدر معلومات) رقمية إلى مستقبل معين. أما منبع المعلومات الرقمية فهو ينتج مجموعة متميزة من الرسائل الممكنة. مثل على ذلك، نعمات لوحة مفاتيح الهاتف التي تتضمن عدداً متساوياً من المحارف (الرسائل) التي ينتجها هذا المنشئ. في حين منبع المعلومات التماضية رسائل معرفة على مجالات مستمرة، ومثال على ذلك إشارة مكرر لـ مكروفون الهاتف.

لنظم الاتصالات الرقمية فوائد عديدة ذكر منها:

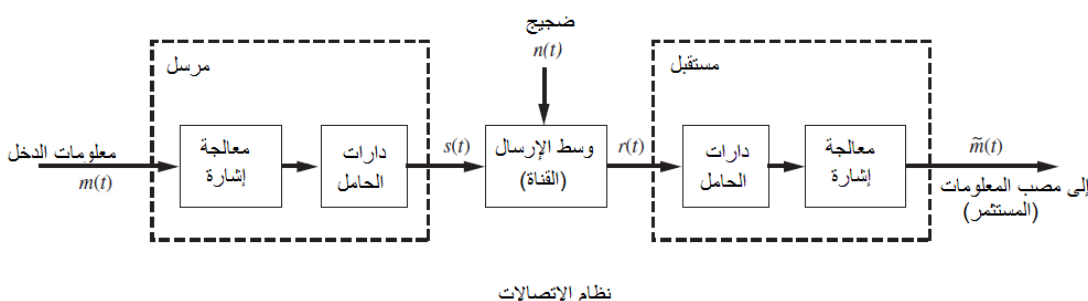
- يمكن استعمال الدارات الرقمية الرخيصة الثمن نسبياً في تجيزه
- يمكن تحقيق سرية المعلومات بتعويتها
- يمكن تحقيق مجال ديناميكي أوسع (الفرق بين أعلى قيمة وأخفض قيمة لإشارة المعلومات)
- يمكن ضم معطيات صوتية وفيديوية ومعطيات أخرى معاً وإرسالها على نظام إرسال رقمي مشترك
- في النظم البعيدة المدى لا يتراكم الضجيج من مكرر إلى آخر
- يمكن كشف أخطاء النقل حتى بوجود كم كبير من الضجيج
- يمكن في غالب الأحيان تصحيح الأخطاء باستعمال الترميز

إلا أن نظم الاتصالات الرقمية مساوئها أيضاً:

- تطلب عرض حزمة أوسع من نظم الاتصالات التماضية
- تطلب تزامناً

تطغى حسناً نظم الاتصالات الرقمية على مساوئها، لذلك تنتشر هذه النظم على نطاق واسع.

يتكون كل نظام اتصالات من ثلاثة مكونات أساسية: المرسل والقناة والمستقبل.



قد تتضمن كتلة معالجة الإشارة مبدلات رقمية-تماثيلية وبالعكس، وقد تتضمن تشكيل إشارات المعلومات. تضمن دارات الحامل أن تتوافق الإشارة المرسلة على القناة مع عرض حزمة القناة. وبذلك فهي تضمن نقل الطيف إلى ما يتناسب مع طيف القناة.

يمكن أن تكون القناة سلكية (أسلاك مجدولة، خطوط هاتفية، كابل محورية، دليل موجي، ألياف ضوئية) أو لاسلكية (الهواء أو الخلاء أو ماء البحر). بوجه عام، يعتمد وسط القناة على الإشارات المنقولة خلاه، ذلك أن ضجيج القناة والضجيج الناشئ عن المستقبل يجعل الإشارة على خرج المستقبل تختلف عن الإشارة المرسلة. إضافة إلى ذلك، يمكن أن تقدم القناة عدة مسارات للإشارة بين المرسل والمستقبل، قد يعاكس بعضها البعض الآخر ويحصل خوفٌ في القناة.

يأخذ المستقبل هذه الإشارة المشوهة يعيدها إلى الحزمة الأساسية ويحاول تنظيف الإشارة من تشوهاتها ليعطيها للمستلم.

الهدف هو تصميم نظام اتصالات يرسل المعلومات إلى المستقبل بأقل تشوّه ممكن، وبما يحدد القيود المفروضة المتعلقة بالاستطاعة المرسلة المسموحة، وعرض الحزمة المتاحة، والتكلفة. في النظم الرقمية يُقاس التشوّه باحتمال خطأ البت أو معدل خطأ البت.

## 2. تحصيص الترددات

نظرياً، يمكن استخدام أي نوع من التعديل عند أي تردد إرسال؛ إلا أن القوانين الناظمة الحكومية تحدد نمط التعديل وعرض الحزمة ومقدار الاستطاعة المرسلة ونوع المعلومات التي برسلها المستثمر للحزم التردية المحددة.

الاتحاد الدولي للاتصالات International Telecommunication Union ITU هو وكالة دولية للأمم المتحدة متخصصة في تحصيص الترددات وتحديد المقاييس التقنية لحوالي 200 دولة. للاتحاد ثلاثة فروع:

- ITU-R للاتصالات радиوية Radio Communication: يسند الترددات ويهتم بالاستعمال الفعال لطيف الترددات الراديوية.

- ITU-T لمعيرة الاتصالات Telecommunication Standards: يهتم بقضايا التقنية والتشغيل والتعرفة لشبكة الاتصالات الهاتفية العامة Public Telephone Network (PTN) والنظم الراديوية المتعلقة بها.

- ITU-D للتطوير Development: لتطوير الخدمات للبلدان النامية.

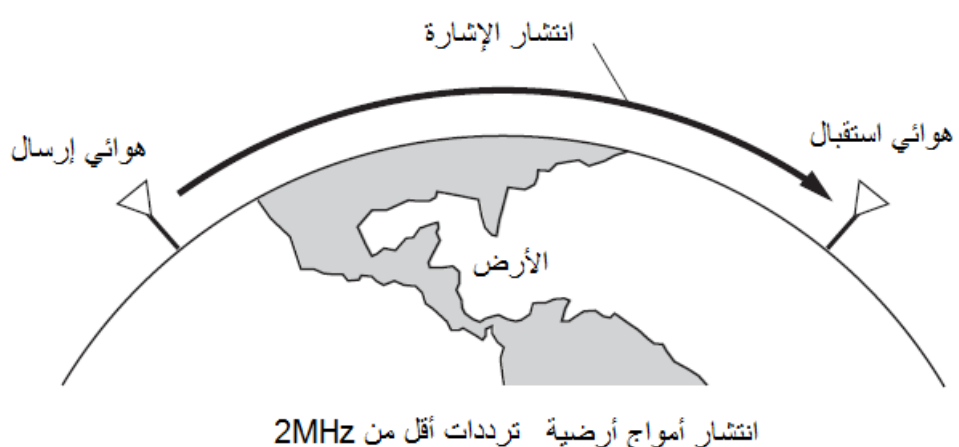
بالمقابل، ثمة إدارة وطنية للطيف الترددية على مستوى كل دولة، تدير الاتصالات داخل البلاد وخارجها، بما يتواافق مع توصيات الاتحاد الدولي للاتصالات.

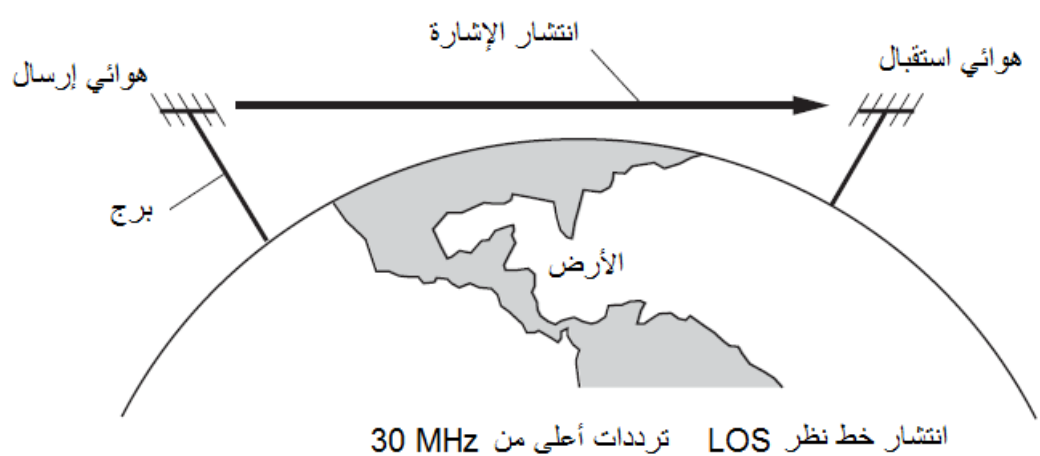
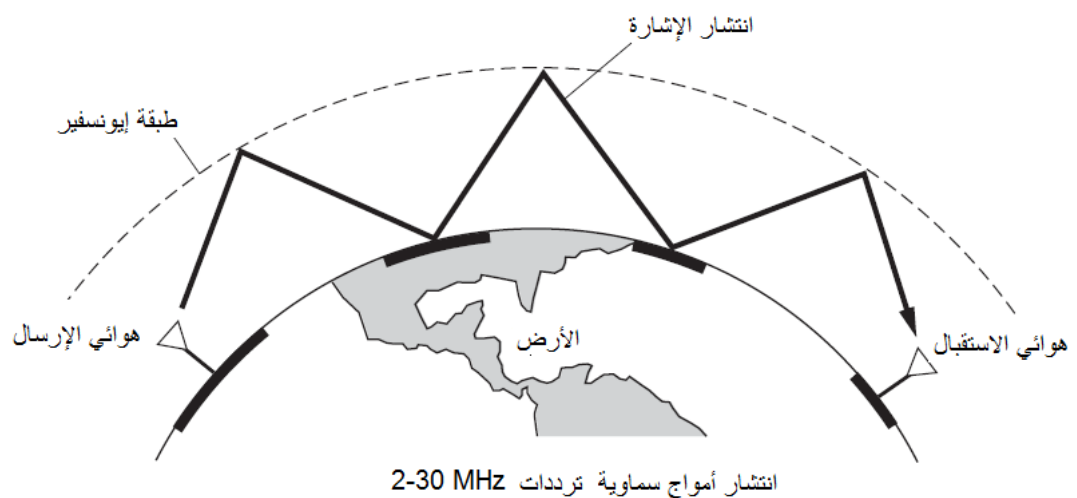
يبين الجدول التالي الحزم التردديّة المختلفة وخصائصها واستعمالها:

الاستعمال	خواص الانتشار فيها	اسم الحزمة	الحزمة التردديّة
ملاحة طولية المدى، اتصالات بحرية	أمواج أرضية؛ تخميد ضعيف ليلاً ونهاراً؛ ضجيج جوي عالٍ	Very Low Frequency (VLF)	<b>3-30kHz</b>
ملاحة طولية المدى، اتصالات بحرية؛ إرشاد لاسلكي.	يشبه VLF ولكن أقل موثوقية؛ يعاني من الامتصاص نهاراً	Low Frequency (LF)	<b>30-300kHz</b>
اتصالات راديوية بحرية، إيجاد الاتجاه، البث بالتعديل المطالي AM.	موجة أرضية وسماوية ليلية؛ تخميد ضعيف ليلاً عالٌ نهاراً؛ ضجيج جوي	Medium Frequency (MF)	<b>300-3000kHz</b>
راديو الهواة؛ البث الدولي؛ الاتصالات البحرية واتصالات السفن والطائرات؛ اتصالات البرق والهاتف والفاكس.	انعكاسات إيونوسفير تتغير حسب الوقت يومياً وحسب الفصل والتردد. ضجيج جوي منخفض عند 30MHz	High Frequency (HF)	<b>3-30MHz</b>
بث تلفزي VHF، راديو FM باتجاهين، اتصالات طائرات ومساعدة ملاحة.	انتشار حسب خط نظر LOS <sup>1</sup> ، مع تبعثر بسبب الحرارة والضجيج الكوني.	Very High Frequency (VHF)	<b>30-300MHz</b>
بث تلفزي، هاتف خلوي، مساعدة ملاحة، رadar، GPS <sup>2</sup> ، وصلات مكروية، نظم اتصالات شخصية.	انتشار حسب خط نظر LOS، ضجيج كوني	Ultrahigh Frequency (UHF) L S	<b>0.3-3GHz</b> <b>1.0-2.0 GHz</b> <b>2.0-4.0 GHz</b>

Line Of Sight<sup>1</sup>  
Global Positioning System<sup>2</sup>

اتصالات ساتلية، رadar، وصلة مكروية.	انتشار LOS، تخميد 10Ghz مطري وامتصاص 22.2GHz	Super-high freq. (SHF)	<b>3–30 GHz</b>
		C	<b>4.0–8.0 GHz</b>
		X	<b>8.0–12 GHz</b>
		Ku	<b>12–18 GHz</b>
		K	<b>18–27 GHz</b>
		Ka	<b>27–40 GHz</b>
		R	<b>26.5–40GHz</b>
رادار وسوائل وتجرببي	امتصاص بخار ماء عند 18.3GHz وأكسجين عند 60 119 GHz ملمترية mm	Extremely HF (EHF)	<b>30–300 GHz</b>
		Q	<b>33–50 GHz</b>
		V	<b>40–75 GHz</b>
		W	<b>75–110 GHz</b>
		mm	<b>110–300GHz</b>
اتصالات ضوئية	انتشار خط نظر LOS	تحت الحمراء والضوء المرئي وفوق البنفسجية	<b><math>10^3</math>–<math>10^7</math>GHz</b>





### 3. قياس كمية المعلومات (مبادئ نظرية المعلومات)

ذكرنا أن الهدف من نظام اتصالات هو إرسال معلومات من مرسل إلى مستقبل. فما هي المعلومات؟ وكيف نقيسها؟

نعلم أن كمية المعلومات مرتبطة بالمفاجأة التي نحصل عليها عند تلقي المعلومة. على سبيل المثال: عبارة "جرى تدمير المحطات بانفجار نووي" تحمل معلومات أكبر بكثير من عبارة "يهرول المطر". وقد اتفق على أن كمية المعلومات  $I_j$  المرتبطة برسالة  $j$  تساوي لغرتم مقلوب احتمال هذه الرسالة  $p_j$ . أي إن:

$$I_j = \log_2\left(\frac{1}{p_j}\right) = -\frac{\ln(p_j)}{\ln(2)}$$

نلاحظ أن:

$$\begin{aligned} I(s_k) &= 0 && \text{if } p_k = 1 \\ I(s_k) &\geq 0 && \text{for } 0 \leq p_k \leq 1 \\ I(s_k) &> I(s_i) && \text{for } p_k < p_i \\ \text{if } p_k = 1/2 && I(s_k) = 1 \text{ bit} & (\text{if log is } \log_2) \end{aligned}$$

إذا كان لدينا منبع رقمي يصدر  $N$  رسالة فإن القيمة الوسطى لكمية المعلومات لهذا المنبع تسمى أنتروبيه المنبع وتعطى بالعلاقة: source entropy

$$H = \sum_{j=1}^N p_j I_j = \sum_{j=1}^N p_j \log_2\left(\frac{1}{p_j}\right)$$

نلاحظ أن الأنتروبيه تتمتع بالخواص التالية:

$$0 \leq H(S) \leq \log_2 K$$

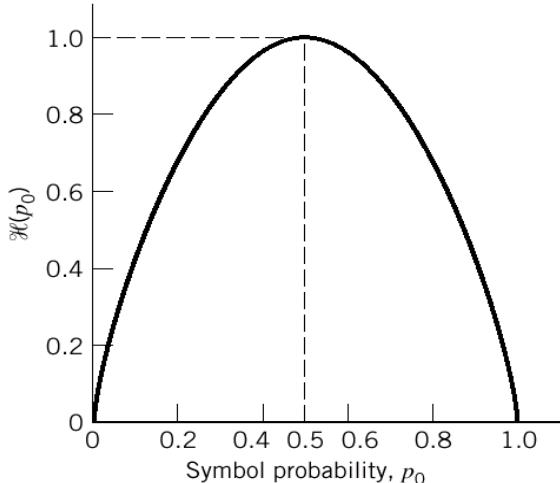
$$H(s) = 0 \quad \text{iff} \quad (p_k = 1 \text{ for some } k) \text{ and } (p_i = 0 \text{ for } i \neq k) \\ (\text{no uncertainty})$$

$$H(S) = \log_2 K \quad \text{iff} \quad p_k = 1/K \quad \forall k \quad (\text{max uncertainty})$$

مثال: في حالة منبع اثناني binary، يصدر 0 باحتمال  $p_0$  و 1 باحتمال  $p_1 = 1 - p_0$ . تعطى أنتروبيه المنبع بالعلاقة

$$\begin{aligned} H(S) &= -p_0 \log_2(p_0) - p_1 \log_2(p_1) \\ &= -p_0 \log_2(p_0) - (1-p_0) \log_2(1-p_0) \end{aligned}$$

ويمكن رسمها بدلالة  $p_0$  فنجد:



نلاحظ أن القيمة العظمى للأنتروبيا تتحقق حين  $p_0 = p_1 = 0.5$  وهي حالة الشك العظمى على المنبع، وأن قيمة الأنتروبيا معدومة إذا كان  $p_0 = 0$  (يستحيل ظهوره) أو  $p_0 = 1$  (يتأكد ظهوره ويستحيل ظهر 1) أي حين ينعدم الشك على المنبع.

#### مثال محلول:

نفترض لدينا منبع يصدر رسائل من 12 رقمًا كل رقم يمكن أن يأخذ باحتمالات متساوية إحدى أربع قيم. ويطلب حساب الأنتروبيا.

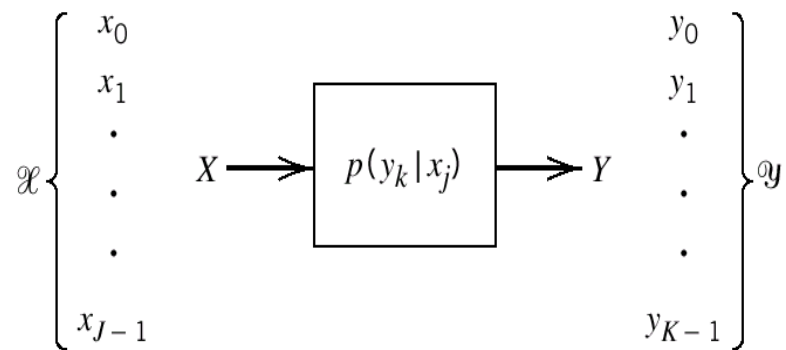
**الحل:** عدد الرسائل الممكنة هو  $4^{12} = 4\ldots4 = 1/412$ . وكمية المعلومات للرسالة الواحدة

$$I_j = \log_2 \left( \frac{1}{p_j} \right) = \log_2 \left( \frac{1}{1/4^{12}} \right) = 12 \log_2 4 = 24 \text{ bits}$$

و بما أن الرسائل متساوية الاحتمال فهذه القيمة هي نفسها القيمة الوسطى لكمية معلومات الرسائل؛ أي  $H=24 \text{ bits}$ .

إذا كانت الرسالة الواحدة تستغرق  $T$  ثانية كان معدل إرسال المعلومات للمنبع  $R=H/T$  بتًا في الثانية.

نفترض وجود منبع  $X$  ينتج الرموز  $x_j$ ,  $j = 0, 1, \dots, J-1$ ، ويرسلها عبر قناة مضججة، بسبب الضجيج نسبقىل مجموعة الرموز  $y_k$ ,  $k = 0, 1, \dots, K-1$ . وثمة احتمالات شرطية مرتبطة بالرموز المرسلة والرموز المستقبلة. كما في الشكل التالي:



يمكننا أن نكتب العلاقات التالية:

$$\sum_{k=0}^{K-1} p(y_k | x_j) = 1 \quad \forall j$$

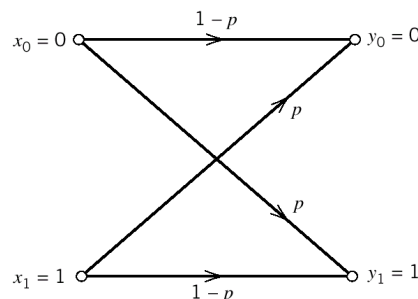
$$p(x_j, y_k) = p(y_k | x_j) \cdot p(x_j)$$

$$p(y_k) = \sum_{j=0}^{J-1} p(y_k | x_j) \cdot p(x_j) \quad \forall k$$

نسمى  $p(y_k | x_j)$  الاحتمالات المسبقة a priori، ونسمى  $p(y_k)$  الاحتمالات الهاشمية marginal. الاحتمالات الشرطية conditional.

**مثال:** قناة اثنانية متاظرة

نفترض لدينا قناة اثنانية binary، ترسل الرموز {0,1}، وتستقبل هذين الرموز {0,1} باحتمال خطأ  $p$ :



$$\cdot p_{10} = P(y=1 | x=0) = P(y=0 | x=1) = p_{01} = p$$

إذا كانت  $H(x)$  يقيس الشك على المنبع  $X$ , فما هو الشك المتبقى على المنبع حين تستقبل  $Y$ ? يمكننا كتابة ما يلي:

$$H(X | y_k) = \sum_{j=0}^{J-1} p(x_j | y_k) \log_2 \left[ \frac{1}{p(x_j | y_k)} \right]$$

(random variable with prob.  $p(y_k)$ )

$$H(X | Y) = \sum_{k=0}^{K-1} H(X | y_k) p(y_k)$$

$$= \sum_{k=0}^{K-1} \sum_{j=0}^{J-1} p(x_j | y_k) p(y_k) \log_2 \left[ \frac{1}{p(x_j | y_k)} \right]$$

$$= \sum_{k=0}^{K-1} \sum_{j=0}^{J-1} p(x_j, y_k) \log_2 \left[ \frac{1}{p(x_j | y_k)} \right]$$

conditional entropy

نسمى  $H(Y/X)$  الأنترودية الشرطية.

نعرف المعلومات التبادلية بين المرسل والمستقبل بالعلاقة:

$$I(X;Y) = H(X) - H(X | Y)$$

$$H(X) = \sum_j p(x_j) \log \left( \frac{1}{p(x_j)} \right) \left( \sum_k p(y_k / x_j) \right)$$

$$= \sum_{j,k} p(x_j, y_k) \log \left( \frac{1}{p(x_j)} \right)$$

$$\Rightarrow I(X;Y) = \sum_{j,k} p(x_j, y_k) \log \left( \frac{p(x_j / y_k)}{p(x_j)} \right)$$

$$= \sum_{j,k} p(x_j, y_k) \log \left( \frac{p(y_k / x_j)}{p(y_k)} \right) = I(Y;X)$$

ما يبرهن أن هذه العلاقة تبادلية أي إذا اعتربنا المرسل  $Y$  والمستقبل  $X$  فالمعلومات المتبادلة بينهما تبقى نفسها.  
يمكننا أن نبرهن أيضاً أن:

$$I(X;Y) = H(X) - H(X | Y) = I(Y;X) \quad \text{for}$$

$$p(x,y) = p(y|x).p(x) = p(x|y).p(y) = p(y,x)$$

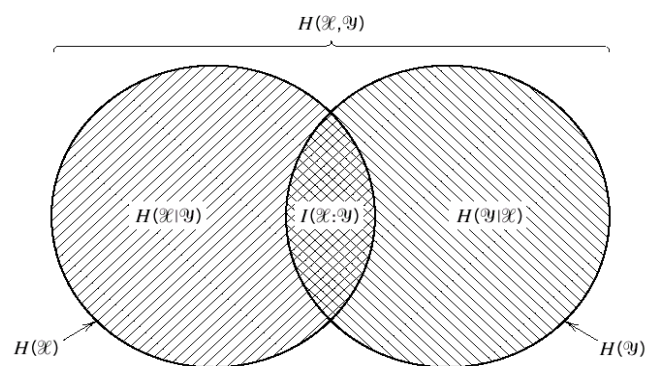
$$I(X;Y) \geq 0;$$

$$I(X;Y) = 0 \quad \text{iff} \quad p(x_j, y_k) = p(x_j).p(y_k)$$

$$I(X;Y) = H(X) + H(Y) - H(X,Y)$$

$$H(X,Y) = \sum_{j=0}^{J-1} \sum_{k=0}^{K-1} p(x_j, y_k) \log_2 \left( \frac{1}{p(x_j, y_k)} \right)$$

يبين الشكل التالي العلاقات بين هذه الأنترويبيات:



#### 4. سعة القناة

اعتماداً على المعلومات التبادلية في الفقرة السابقة يمكننا تعريف سعة القناة كما يلي:

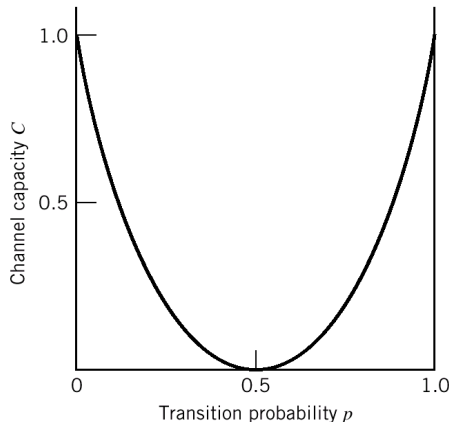
$$C = \max_{\{p(x_j)\}} (I(X;Y))$$

في حالة القناة الثنائية المتناظرة في المثال السابق، وبفرض احتمال إرسال الصفر يساوي احتمال الواحد يساوي

: 1/2

$$\begin{aligned} C &= \max_{\{p(x_j)\}} (I(X;Y)) = I(X;Y) \Big|_{p_0=p_1=1/2} \\ &= \sum_{j=0}^1 \sum_{k=0}^1 p(x_i, y_k) \log_2 \left[ \frac{p(y_k | x_j)}{p(y_k)} \right] \\ &= 1 + p \cdot \log_2 p + (1-p) \cdot \log_2 (1-p) \\ &= 1 - H(p) \end{aligned}$$

انظر الشكل التالي الذي يبين علاقة سعة القناة باحتمال الخطأ  $p$ .



نلاحظ أن السعة العظمى لقناة 1 bit هي محققة إذا كان احتمال الخطأ 0 أو احتمال الخطأ 1. فإذا استقبلنا جميع البتات معكوسه فيمكننا استعادة الرموز المرسلة. ذلك أنه في غالب الأحيان يجري إرسال بذات معلومة في بداية الإرسال يمكن منها اكتشاف أن تكون البتات معكوسة.

من جهة أخرى، يمكن استعمال معايير عديدة لقياس فعالية نظام اتصالات ومعرفة إن كان مثاليًا أو كاملاً. نظام الاتصالات الرقمية المثالي هو الذي يصغر احتمال خطأ البت عند الخروج، آخذين بالاعتبار القيود على الطاقة المرسلة وعرض حزمة القناة.

والسؤال الذي يمكن طرحه: هل بالإمكان اختراع نظام اتصالات بدون خطأ على خرجه حتى بوجود ضجيج على القناة؟

أجاب Claude SHANON على هذا السؤال عام 1948 حين عرف سعة القناة للمنابع المستمرة (التي ترسل إشارات مستمرة وليس رموزاً متقطعة) بالعلاقة:

$$C = B \log_2 \left( 1 + \frac{S}{N} \right)$$

استطاعة الضجيج بالواط. وقال أن الجواب على السؤال السابق "نعم" إذا كان معدل الإرسال  $R$  أقل من سعة

القناة C. شانون لم يبيّن كيفية بناء مثل هذا النظام ولكنه برهن على وجود هذا الحد نظريًا. كلما اقترب معدل البت من سعة القناة كان الأداء أفضل (مع غياب خطأ البت). النظم التي تقترب من هذا الحد هي نظم تعتمد تقنيات تصحيح الأخطاء.

### تمرين محلول:

اكتب برنامج ماتلاب يحسب سعة خط الهاتف الذي عرض حزمه Hz 3300 بدلالة  $S/N$  الذي تغطي المجال .0–60dB

### الحل:

```
% File: Example1_4.m      for Example 1-4

clear;

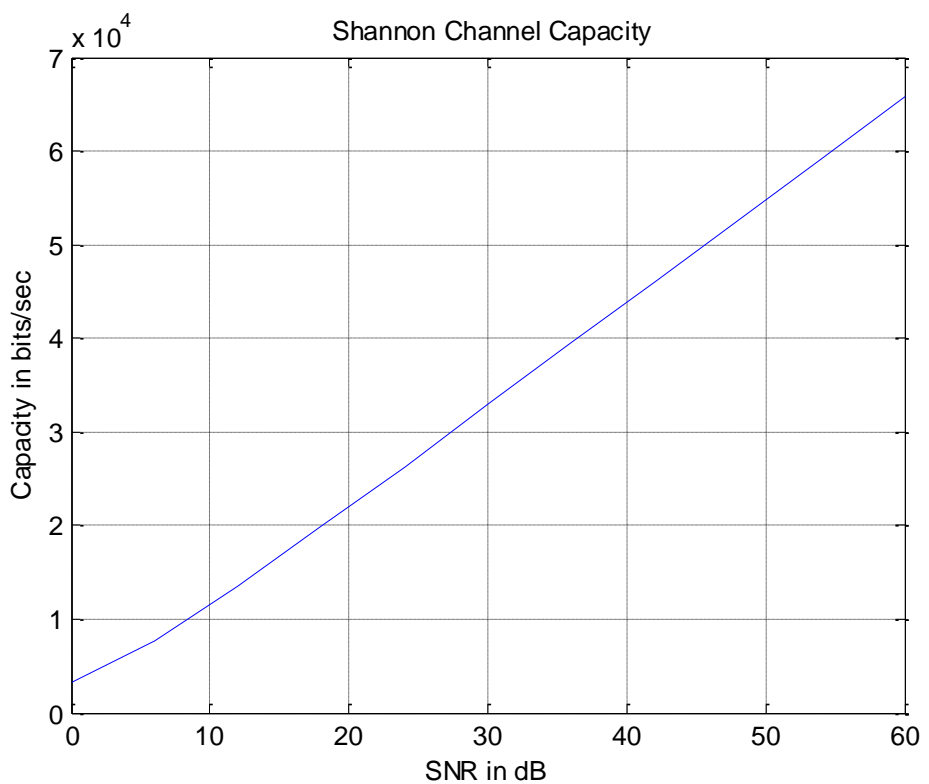
% B is the system bandwidth in Hz. Note: 3300 Hz is typical
% for the bandwidth of a twisted-pair telephone line channel.
% Note: For the definition of dB, refer to Eq (2-19), where S=Pout
% and N=Pin

B = 3300;
SNRdB = 0:6:60;

SNR = zeros(length(SNRdB),1);
for (i = 1:1:length(SNRdB))
    SNR(i) = 10^(SNRdB(i)/10);
end;

C = B*log(2)*log(1 + SNR);

plot(SNRdB,C);
xlabel('SNR in dB');
ylabel('Capacity in bits/sec');
title('Shannon Channel Capacity');
grid;
```



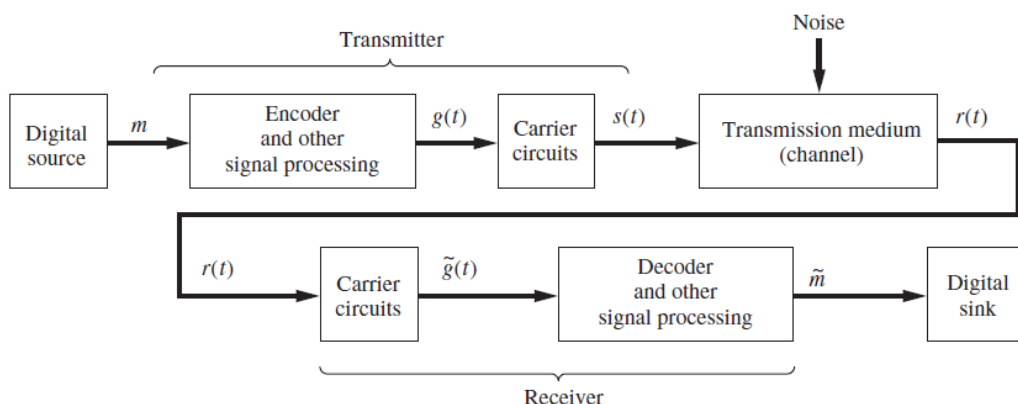
## 5. الترميز وفعالية الترميز

إذا تضمنت المعطيات على خرج نظام اتصالات رقمي أخطاء، وهذا ممكن جداً، يمكن خفض هذه الأخطاء باستعمال إحدى التقنيتين:

- طلب تكرار آلی (ARQ)
- تصحيح أخطاء أمامي (FEC)

في النظم ARQ حين يكشف المستقبل أخطاء ندية parity في كتلة معطيات، فإنه بطلب إعادة إرسال الكتلة. في النظم FEC ترمز المعطيات بحيث يجري كشف الأخطاء وتصحيحها. ويسمى هذا ترميز القناة. يعتمد الاختيار بين التقنيتين على التطبيق. فالـ ARQ يستعمل عادةً في الاتصالات بين الحواسيب لأن تكاليف تجيذه قليلة ولأن القناة ثنائية الاتجاه بحيث يستطيع المستقبل إرسال إقرار acknowledgement (ACK) acknowledgement (ACK) بالمعطيات المستقبلة استقبلاً صحيحاً أو إرسال إقرار سلبي (NAC) حين تستقبل المعطيات مع أخطاء. أما FEC فيُستعمل لتصحيح الأخطاء على القنوات ذات الاتجاه الواحد حين لا يكون استعمال طلب إعادة الإرسال ممكناً. كذلك، في النظم التي يكون تأخير إرسالها كبيراً لأن إعادة الإرسال تتطلب تأخيراً إضافياً. لذلك فإن تصحيح الأخطاء هو المفضل في غالب الأحيان.

يبين الشكل التالي المخطط الأساسي لنظام اتصالات رقمية حيث يكون ترميز القناة وفك ترميزها ضمن كتلة الترميز وفك الترميز



الشكل العام لنظام اتصالات رقمية. التسميات من اليسار إلى اليمين: منبع رقمي، ترميز رقمي، ومعالجة إشارة أخرى، دارات الحامل، وسط الإرسال (القناة)، دارات الحامل، فك الترميز ومعالجة إشارة أخرى، مصب رقمي. [1].

يتطلب الترميز إضافة بذات "حشو" إضافية إلى بذات المعطيات، بحيث يتمكن مفكك الترميز من خفض الأخطاء أو تصحيحها على خرج المستقبل. من سمات هذا النهج زيادة معدل المعطيات (البزات في الثانية)، وهذا يتطلب بدوره زيادة عرض الحزمة اللازم للإشارة المرمزة. يمكن تصنيف الأرمزة في صفدين رئيسين:

- الرماز الكنتي.
- الرماز التلفيفي.

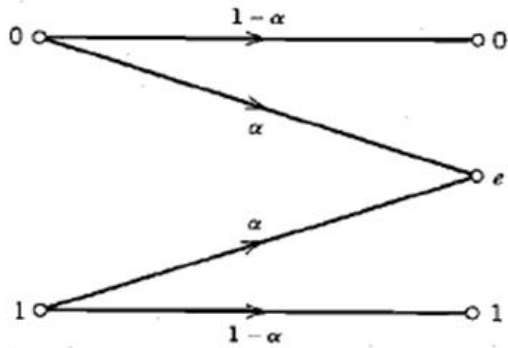
الرماز الكتلّي: يجري فيه مقابلة كل دخل مكون من  $k$  بتاً بخرجٍ مكون من  $n$  بتاً  $n > k$ . بالنتيجة فإن جهاز فك الترميز بلا ذاكرة. يمكن اختيار الرماز بحيث يتضمن ببات المعطيات وببات حشو (مثل ببات الندية parity)، يستعملها مفكك الترميز لكشف وتصحيح الأخطاء. نشير للرماز بالثنائية  $(n,k)$ ، ونعرف معدل الرماز بـ  $R = k/n$ . تتراوح القيم العملية لـ  $R$  من  $1/4$  إلى  $7/8$ . كما تتراوح قيم  $k$  من 3 إلى بعض مئات.

الرماز التلفيفي: يتطلب هذا الرماز ذاكرة. والرمز يأخذ دخلاً  $k$  بتاً وينتج خرجاً من  $n$  بتاً، تتأثر هذه البتات ببتات الدخل و بـ  $v$  بتاً من الذاكرة  $v > 0$ . يُعرف معدل الرماز بـ  $R = k/n$  وهو يتراوح أيضاً من  $1/4$  إلى  $7/8$ . تتراوح القيم التموذجية لـ  $n, k$  من 1 إلى 8، وتتراوح قيم  $v$  من 2 إلى 60. القيمة الصغيرة لـ  $R$  يشير إلى درجة عالية من الحشو وينتج تحكماً أكثر فاعلية بالخطأ، على حساب زيادة عرض الحزمة الالزامية.

سيأتي تفصيل الأرمزة في فصول لاحقة.

## تمارين للحل

1. لدينا منبع يولد أربعة رموز  $s_0, s_1, s_2, s_3$  باحتمالات  $1/2, 1/4, 1/8, 1/8$  احسب كمية المعلومات الموقفة لكل رمز، وأنتروبيه المنبع.
2. لدينا قناة دخلها يتكون من الرمزين  $p_0 = 1 - p_1$  على التالي، وخرجها يعطي الرموز  $y_0 = 0, y_1 = e, y_2 = 1$  كما هو مبين بالشكل:



حيث  $\alpha$  احتمال خطأ البيت. والمطلوب:  
حساب الاحتمالات المشتركة  $p(x_i, y_j)$ ,  $0 \leq i \leq 1, 0 \leq j \leq 2$  ، ثم حساب كمية المعلومات التبادلية بين الدخول والخرج واستنتاج سعة القناة.

## مذاكرة

أجب بـصحيح أو خطأ على ما يلي:

1. من مزايا نظم الاتصالات الرقمية عرض الحزمة الالازمة للاتصال
2. من مزايا نظم الاتصالات الرقمية إمكان التعديل
3. تستعمل تقنية ARQ لتصحيح الخطأ في نظم البث
4. من مساوى نظم الاتصالات الرقمية قلة مناعتها للضجيج
5. سعة القناة هي القيمة العظمى للمعلومات المتباينة بين المرسل والمستقبل

## سؤال وصل

صل بين اسم الحزمة التردية و مجالها

الحزمة التردية	اسم الحزمة
3–30kHz	Very Low Frequency (VLF)
30–300kHz	Low Frequency (LF)
300–3000kHz	Medium Frequency (MF)
3–30MHz	High Frequency (HF)
30–300MHz	Very High Frequency (VHF)
0.3–3GHz	Ultrahigh Frequency (UHF)
3–30 GHz	Super-high freq. (SHF)
30–300 GHz	Extremely HF (EHF)
$10^3$ – $10^7$ GHz	تحت الحمراء والضوء المرئي وفوق البنفسجية

صل بين رمز الحزمة التردية و مجالها

L	1.0–2.0 GHz
S	2.0–4.0 GHz
C	4.0–8.0 GHz
X	8.0–12 GHz
Ku	12–18 GHz
K	18–27 GHz
Ka	27–40 GHz
R	26.5–40GHz
Q	33–50 GHz
V	40–75 GHz
W	75–110 GHz

1. Digital and Analog Communication Systems', 8th edition, by Leon W. COUSH II, Pearson Education International, 2013

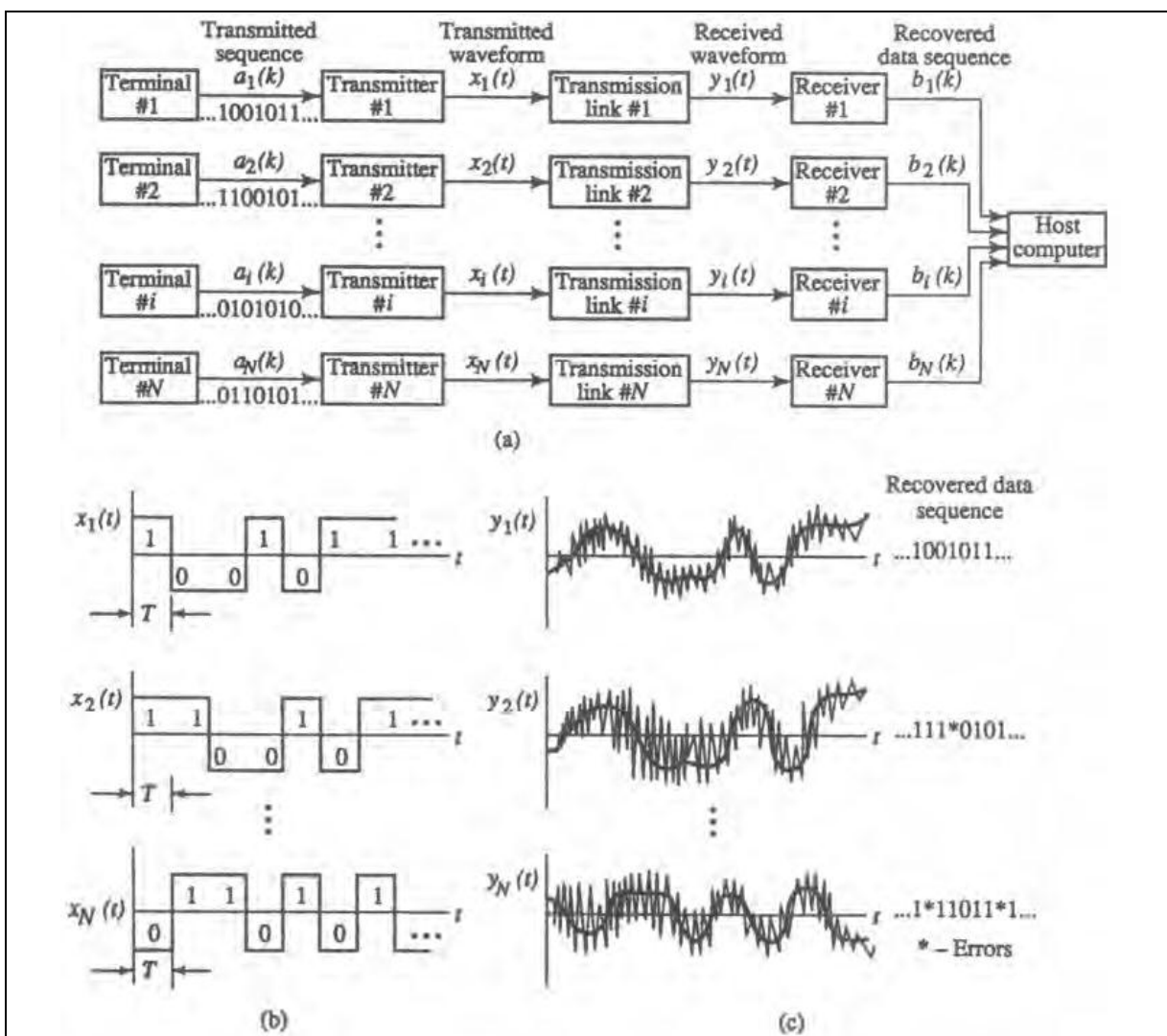
## حل المذكرة

الإجابة	رقم السؤال
خطأ	1. من مزايا نظم الاتصالات الرقمية عرض الحزمة الالزمه للاتصال
صح	2. من مزايا نظم الاتصالات الرقمية إمكان التعميم
خطأ	3. تستعمل تقنية ARQ لتصحيح الخطأ في نظم البث
خطأ	4. من مساوى نظم الاتصالات الرقمية قلة مناعتها للضجيج
صح	5. سعة القناة هي القيمة العظمى للمعلومات المتبادلة بين المرسل والمستقبل

# مبادئ الاحتمالات والسيرورات العشوائية

في النظم الكهربائية والإلكترونية تُسْعَى التيارات والفلطيات كإشارات لجمع المعلومات وإرسالها ومعالجتها، إضافة إلى استعمالها في تغذية النظم. التيارات والفلطيات توابع للزمن ويمكن أن تكون حتمية أو عشوائية. التوابع الحتمية منها هي التي يمكن وصفها بتابع رياضي للزمن، مثل التتابع الجيبية؛ أما التتابع العشوائية فلا يمكننا تحديد قيمها بدقة في أي لحظة كانت إذ يوجد دائمًا جزء من الشك أو العشوائية عليها.

تلعب نمذجة هذه العشوائية دوراً هاماً في تحليل نظم الاتصالات وتصميمها ومحاكاتها. على سبيل المثال، إذا كان لدينا  $N$  طرفية ترسل معلومات رقمية إلى حاسوب مركزي، على وصلات إرسال ملوثة بالضجيج، كما في الشكل التالي: على كل وصلة، يحول المرسل المعطيات الرقمية إلى إشارة كهربائية بمقابلة البتات إلى نبضات مطالها 1 أو 0 - بحسب قيمة البت. وصلة الإرسال الملوثة بالضجيج تضيف ضجيجاً إلى الإشارات فيستقبلها المستقبل مشوهة ويحاول استعادة البتات الرقمية منها. من الواضح أن الإشارات المستقبلة لا يمكن التنبؤ بقيمها الدقيقة بسبب الضجيج العشوائي المتراكب عليها. سنحاول في هذا الفصل عرض الأسس النظرية للإشارات العشوائية والسيرورات العشوائية.



الشكل 1- مثال على سيرورات (إجرائيات) عشوائية: (a) نظام اتصالات رقمية، (b): الإشارات المرسلة، (c): الإشارات المستقبلة [1].

التسميات (من اليسار إلى اليمين):

متاليات مرسلة، إشارات مرسلة، إشارات مستقبلة، المتاليات المستعادة.

طرفية 1، مرسل 1، وصلة إرسال 1، مستقبل 1.....1

حاسوب مضيف

متالية المعطيات المستعادة

"\*: في المعطيات المستعادة تشير إلى أخطاء.

## 1. الاحتمالات

تبني النظرية الرياضية للاحتمالات على مفهوم التجربة العشوائية، وخرجها، وإسناد احتمالات لمختلف الخروج لهذه التجارب.

المتحول العشوائي  $X$  يقابل خرج التجربة العشوائية بنقاط على المحور الحقيقي. على سبيل المثال، إذا كان لدينا حجر نرد متوازن، وكانت التجربة العشوائية هي رمي حجر النرد فيمكن أن يكون خرجها إحدى القيم من 1 إلى 6. ويكون احتمال أن تكون قيمة  $X$  هي إحدى هذه القيم ست هو  $\frac{1}{6}$ . واحتمال أن تكون قيمة  $X$  أقل أو تساوي 2 هي  $\frac{2}{6} = \frac{1}{3}$ .

احتمال حدث  $A$  ،  $p(A)$  يمكن تعريفه أيضاً بدلالة التواتر النسبي لوقوع الحدث  $A$  بعد إجراء  $n$  تجربة. فإذا رمزنا لهذا التواتر بـ  $n_A$  أمكننا كتابة ما يلي:

$$P(A) = \lim_{n \rightarrow \infty} \left( \frac{n_A}{n} \right)$$

فقد نرمي قطعة نقود متوازنة  $n = 40$  مرة، ونحصل على الطرة (Head) 19 مرة، فيكون  $\frac{19}{40} = 0.475$ .

في حين نعلم أن القيمة النظرية هي 0.5 ونحصل عليها حين تنتهي  $n$  (عدد مرات الرمي) إلى الالانهائية. من التعريف نرى أن الاحتمال عدد موجب يتحقق  $0 \leq P(A) \leq 1$ . حين يكون الحدث مستحيلاً، لا يحدث إطلاقاً  $p(A) = 0$ . وإذا كان الحدث أكيداً، يحدث دائماً، كان  $(n_A = n)$  وكان  $p(A) = 1$ .

لحدثين عشوائيين  $A$  و  $B$  :

- نعرف الاحتمال المشترك لهما:  $P(A, B) = p(AB) = \frac{n_{AB}}{n}$  ، فإذا كان الحدثان متنافيين، لا يمكن أن يحدثا معاً، كان الاحتمال المشترك لهما معدوماً.

- نعرف احتمال الاجتماع لهما:

$$P(A \cup B) = p(A + B) = \frac{n_A + n_B - n_{AB}}{n} = p(A) + p(B) - P(AB)$$

- الاحتمال الشرطي  $P(A/B)$  هو احتمال وقوع  $A$  علمًا أن  $B$  قد وقع. ويحسب من العلاقة

$$\cdot P(A/B) = \lim_{n_B \rightarrow \infty} \frac{n_{AB}}{n_B}$$

- ويبرهن أن  $P(A, B) = p(A).p(A/B) = p(B).p(B/A)$  وتعرف بنظرية بايس Bayes.
- ونقول عن حدثين  $A$  و  $B$  أنهما مستقلان إذا تحقق  $P(A) = p(A/B)$  أو  $P(B) = p(B/A)$

### مثال مطول:

نفترض  $A$  وقوع حادث عند أحد التقاطعات الطرفية،  $B$  هطول مطر على هذا التقاطع. نراقب هذا التقاطع خلال فترة معينة ونلاحظ النتائج كل دقيقة خلال 10080 دقيقة فنجد أن:  $n_A = 25, n_B = 300, n_{AB} = 20$ . احسب احتمالات  $A, B, AB, A+B, A/B$

### الحل:

$$P(A) = \frac{n_A}{n} = 0.0025$$

$$p(B) = \frac{n_B}{n} = 0.03$$

$$p(AB) = \frac{n_{AB}}{n} = 0.002$$

$$p(A+B) = p(A) + p(B) - p(AB) = 0.0025 + 0.03 - 0.002 \approx 0.03$$

$$p(A/B) = \frac{n_{AB}}{n_B} = 0.002 / 0.3 = 0.066$$

## 2.تابع الكثافة الاحتمالية وتابع التوزيع الاحتمالي

يمكن تمييز المتحول العشوائي بالقيم التي يأخذها، وبتابع التوزيع الاحتمالي الذي يعطي عند كل قيمة  $x$  احتمال أن يكون خرج التجربة العشوائية أقل أو يساوي  $x$ . أي يعطى بالعلاقة:

$$\cdot F_X(a) = P(X \leq a) = \lim_{n \rightarrow \infty} \left( \frac{n_{X \leq a}}{n} \right)$$

لاحظ أننا نستخدم أحراضاً كبيرة للمتحول العشوائي وأحراضاً صغيرة لقيمه.

إذا كان للمتحول العشوائي  $x$  مجموعة قيم قابلة للعد من القيم:  $x_1, x_2, \dots$ ، أكانت منتهية أو غير منتهية؛ نقول إن المتحول  $x$  متقطع. ويمكن توصيف هذا المتحول بتابع كتلة احتمالي  $P(X = x_i), i = 1, 2, \dots$  ويعرف تابع التوزيع الاحتمالي له كما يلي:

$$\cdot F_X(x) = P(X \leq x) = \sum_{x_i \leq x} P(X = x_i)$$

**مثال:**

لنفترض أننا رميما قطعة نقود مرتين: كل رمية تنتج طرة "Head = "H" أو نقش "Tail = "T" ولنفترض أن المتحول  $X$  هو عدد المرات التي يظهر فيها طرة من المرتين: نلاحظ أنه إذا كانت قطعة النقود متوازنة فسنحصل على  $HH, HT, TH, TT$  باحتمالات متساوية. فيكون تابع التوزيع الاحتمالي:

$$p(X = 0) = P(X = 2) = 1/4$$

$$p(X = 1) = 1/2$$

$$F_X(0) = P(X \leq 0) = \sum_{x_i \leq 0} P(X = x_i) = p(X = 0) = 1/4$$

$$F_X(1) = P(X \leq 1) = \sum_{x_i \leq 1} P(X = x_i) = p(X = 0) + p(X = 1) = 3/4$$

$$F_X(2) = P(X \leq 2) = \sum_{x_i \leq 2} P(X = x_i) = p(X = 0) + p(X = 1) + p(X = 2) = 1$$

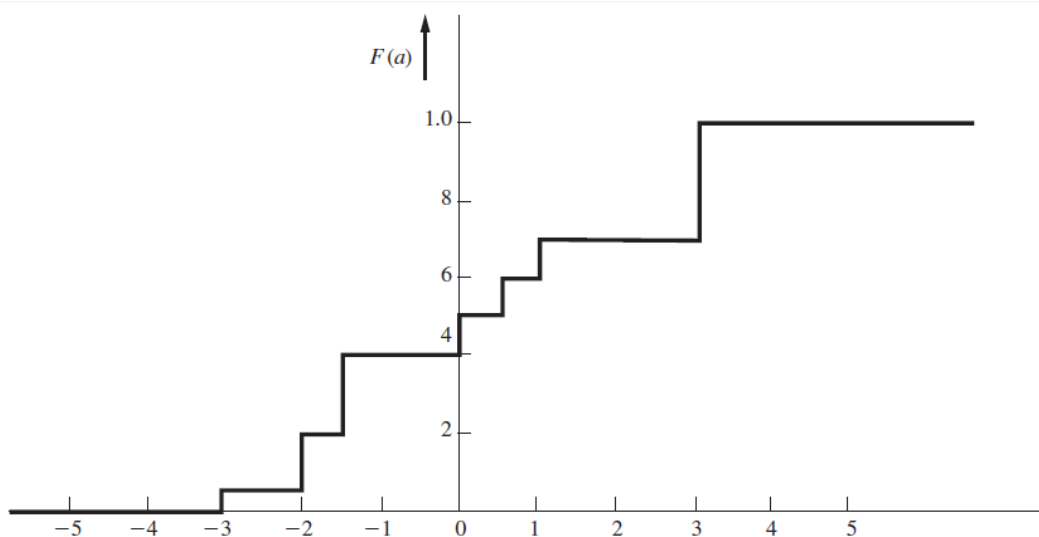
وبذلك فإن تابع التوزيع الاحتمالي، حين يكون معروفاً، يعرف بشكل جيد التابع العشوائي؛ سواء أكان متقطعاً أو مستمراً.

مثال:

نفترض لدينا نظام يعطي في خرجه إحدى ثمانى قيم حقيقية ونفترض تمثيل أحداث مستقلة مثلى  $A, \dots, H$  كل منها يوافق إحدى قيم المخرج، وكل قيمة لها احتمال مبين في الجدول التالي:

Event [·]	Value of Random Variable $x[\cdot]$	Probability of Event $P(x)$
$A$	0.0	0.10
$B$	-3.0	0.05
$C$	-1.5	0.20
$D$	-2.0	0.15
$E$	+0.5	0.10
$F$	+1.0	0.10
$G$	+2.0	0.00
$H$	+3.0	0.30
Total =		1.00

فيكون شكل تابع التوزيع الاحتمالي كما هو مبين بالشكل التالي:

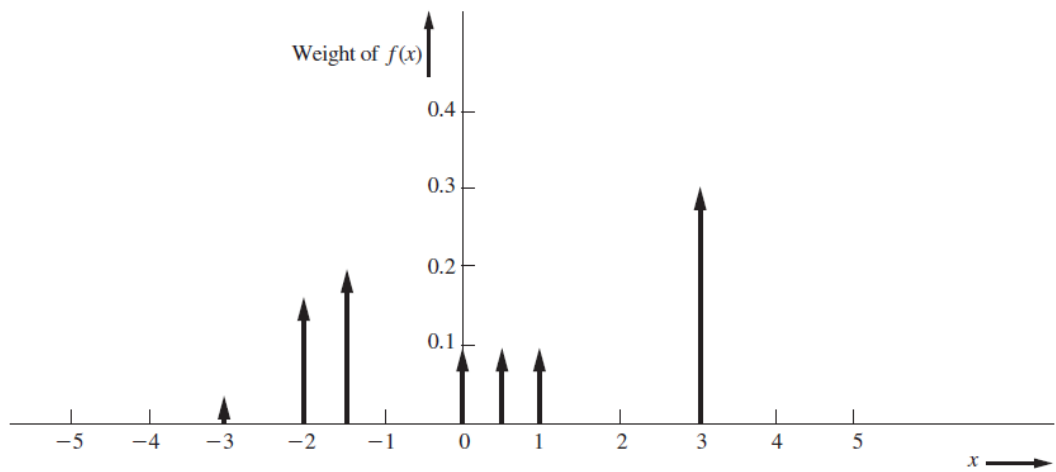


خواص تابع التوزيع:

- غير متافق ويأخذ قيمه في المجال  $[0,1]$
- قيمه 0 حين ينتهي المتحول إلى  $-\infty$
- قيمه 1 حين ينتهي المتحول إلى  $\infty$ .
- مستمر من اليمين:  $\lim_{\substack{\varepsilon \rightarrow 0 \\ \varepsilon > 0}} F(a + \varepsilon) = F(a)$

• هو تكامل تابع الكثافة الاحتمالية:  $F(a) = \lim_{\substack{\varepsilon \rightarrow 0 \\ \varepsilon > 0}} \int_{-\infty}^{a+\varepsilon} f(x) dx$

جرى وضع  $\cup$  لأخذ الحالة المتقطعة بالاعتبار. ففي المثال السابق، تابع الكثافة الاحتمالية متقطع يبينه الشكل التالي:



ونلاحظ أن تابع الكثافة الاحتمالية يأخذ قيمًا موجبة  $f(x) \geq 0$  وأن تكامله حتى  $\infty$  يحقق العلاقة:

$$\int_{-\infty}^{\infty} f(x) dx = F(+\infty) = 1$$

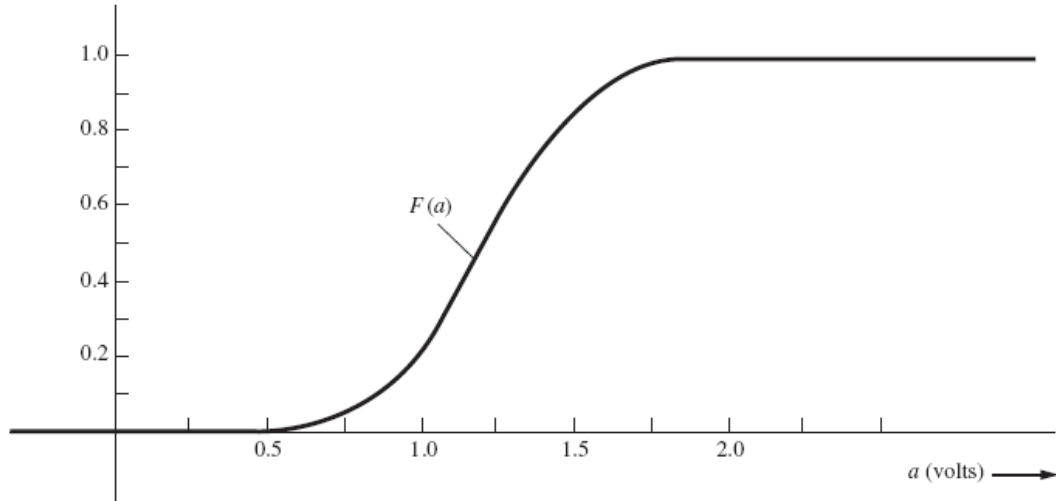
إذا لم يكن للمتحول  $X$  قيم قابلة للعد على مجموعة أو أكثر من المستقيم الحقيقي، نقول إن المتحول  $X$  متحول عشوائي مستمر، ويمكن وصفه بتابع كثافة احتمالي  $f_X(x)$  بحيث:

$$\cdot f_X(x) = \frac{dF_X(x)}{dx}, \quad -\infty < x < \infty$$

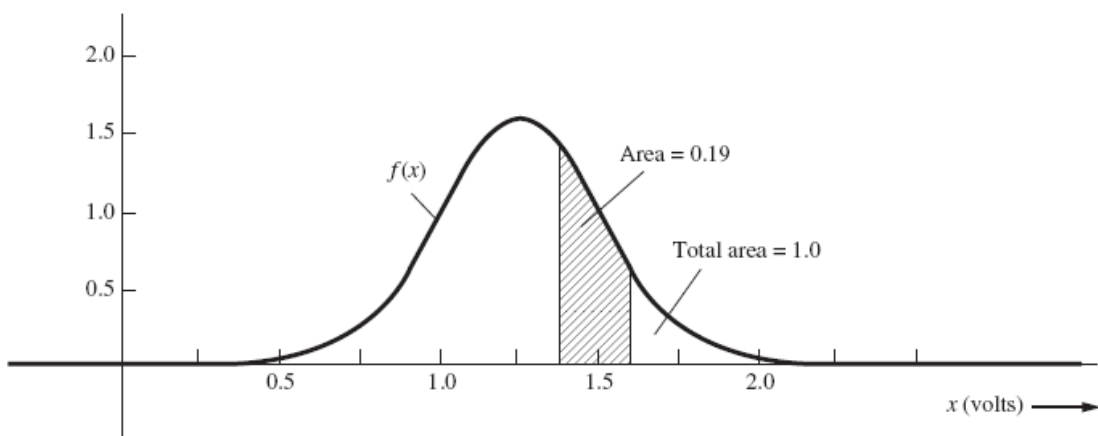
$$\cdot F_X(x) = \int_{-\infty}^x f_X(a) da \quad \text{أو}$$

مثال:

نفترض لدينا متاح عشوائي يقيس فلطية بطاريات نموذج  $1.5V$  التي ينتجها أحد المعامل. إذا كان عدد البطاريات لا نهائي، يمكن أن نحصل على عدد لا نهائي من قيم فلطية البطاريات، لأن فلطية الخرج معرفة بدقة معينة وبذلك لن تكون  $1.5V$  بالضبط. ويكون كل منتابع التوزع الاحتمالي  $F(a)$  ، وتابع الكثافة الاحتمالية  $f(x)$  توابع مستمرة. انظر الشكل التالي:



تابع التوزع الاحتمالي.



تابع الكثافة الاحتمالية.

إذا أردنا حساب احتمال لا يتجاوز خط الفلطية  $0.1V$  فإن هذا الاحتمال يعطى بالعلاقة:

$$\cdot p(1.4 < x \leq 1.6) = \int_{1.4}^{1.6} f(x)dx = F(1.6) - F(1.4) = 0.19$$

### 3. القيمة الوسطى والعزوم

أحد أهم استعمالات نظرية الاحتمالات هو حساب القيمة الوسطى لمتحول عشوائي. يعطى التوقع الرياضي أو القيمة الوسطى لمتحول عشوائي  $h(x)$  بالعلاقة:

$$\text{لـ } h(x) \text{ حيث } f(x) \text{ هوتابع الكثافة الاحتمالية لـ } h(x) \text{ فإذا كان } h(x) \text{ مقطعاً} \\ \int_{-\infty}^{\infty} h(x)f(x)dx = E(h(x))$$

$$\text{بـ } M \text{ نقطة أصبح التوقع الرياضي له: } \sum_{i=1}^M h(x_i).p(x_i)$$

العزم من المرتبة 2 لمتحول عشوائي هو القيمة الوسطى للتابع  $x^r$  ويعطى بالعلاقة  $\overline{h(x)} = E(h(x)) = \int_{-\infty}^{\infty} x^r f(x)dx$

$$\text{حيث } x_0 \text{ هي القيمة الوسطى لـ } x.$$

يعرف التغير variance بأنه العزم المركزي من المرتبة الثانية:  $\sigma_x^2 = \int_{-\infty}^{\infty} (x - \bar{x})^2 f(x)dx$ . ويبرهن أن  $\sigma_x^2 = (\overline{x^2}) - (\bar{x})^2$

$$\cdot \sigma_x = \sqrt{\sigma_x^2} = \sqrt{\int_{-\infty}^{\infty} (x - \bar{x})^2 f(x)dx}$$

إذا كان لدينا مجموعة من المتحولات العشوائية  $X_i, i = 1, 2, \dots, m$  فيمكن تعريف تابع التوزيع الاحتمالي للمتحول العشوائي المكون من الشعاع  $[X_1 \ X_2 \ \dots \ X_m]^T$  بالعلاقة:

$$F_{X_1, \dots, X_m}(x_1, \dots, x_m) = p[(X_1 \leq x_1), \dots, (X_m \leq x_m)]$$

كما نعرف تابع الكثافة الاحتمالية المشترك بأنه المشتق الجزئي للتابع السابق بالنسبة لمجموعة المتحولات العشوائية ونكتبه بالشكل:

$$f_{X_1, X_2, \dots, X_m}(x_1, x_2, \dots, x_m)$$

ويمكن تعريف تابع كثافة احتمالية هامشية بمكاملة تابع التوزيع الاحتمالي المشترك على بقية المتحولات، ومن الأمثلة على ذلك:

$$f_{X_1}(x_1) = \int_{-\infty}^{\infty} \int_{-\infty}^{\infty} \dots \int_{-\infty}^{\infty} f_{X_1, X_2, \dots, X_m}(x_1, x_2, \dots, x_m) dx_2 \dots dx_m \\ (m-1 \text{ int egrals})$$

$$f_{X_1, X_2}(x_1, x_2) = \int_{-\infty}^{\infty} \int_{-\infty}^{\infty} \dots \int_{-\infty}^{\infty} f_{X_1, X_2, \dots, X_m}(x_1, x_2, \dots, x_m) dx_3 \dots dx_m \\ (m-2 \text{ int egrals})$$

## 4. توزيعات هامة

### 1.4. التوزيع الثنائي الحد

يستعمل في المسائل الإحصائية الثنائية وغيرها. حين يكون لدينا  $n$  تجربة مستقلة، احتمال النجاح في كل منها  $p$

مثال:

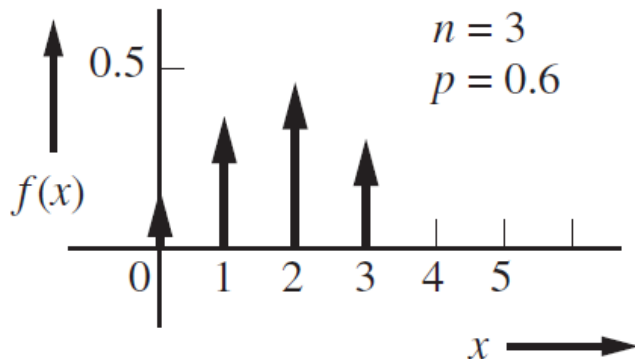
نفترض لدينا مرسل اثنان يرسل البت 1 باحتمال  $p$  والبت 0 باحتمال  $p-1$ . ونريد حساب احتمال إرسال كلمة من  $n$  بتاً تتضمن  $k$  واحداً. إحدى هذه الكلمات هي كلمة تبدأ بـ  $k$  واحداً وتنتهي بـ  $n-k$  صفراءً واحتمالها  $p^k(1-p)^{n-k}$ . ولكن لدينا كل التوفيق الممكن لأماكن الوحدان وبذلك يكون الاحتمال المطلوب  $p(k) = \binom{n}{k} p^k (1-p)^{n-k}$

$$f(x) = \sum_{k=0}^n p(k) \delta(x-k)$$

$$F(a) = \sum_{\substack{k=1 \\ m \leq a}}^m p(k)$$

وأنت التسمية من حساب القوة  $n$  لثاني حد ويعطى بالعلاقة:  $(p+q)^n = \sum_{k=0}^n \binom{n}{k} p^k q^{n-k} = \sum_{k=0}^n p(k)$

يبين الشكل التالي تابع الكثافة الاحتمالية في حال  $n=3$  ،  $p=0.6$



$$\text{القيمة الوسطى } \mu = np \quad \text{والتحاير } \sigma^2 = np(1-p)$$

ثمرة توزيع يسمى توزيع ثانوي الحد السالب، وهو حين يكون لدينا  $n$  تجربة مستقلة واحتمال النجاح  $p$  ويكون المتتحول العشوائي هو عدد المحاولات التي نجريها للحصول على  $r$  نجاحاً.

تابع الكثافة الاحتمالية المتقطع لهذا المتتحول العشوائي هو:

$$p(X=x) = \binom{x-1}{r-1} p^r (1-p)^{x-r}, \quad x = r, r+1, r+2, \dots$$

$$\text{القيمة الوسطى } \mu = r/p \quad \text{والتحاير } \sigma^2 = r(1-p)/p^2$$

## 2.4. توزيع بواسون

وهو تقرير للتوزيع الثنائي الحد، حين تكون  $n$  كبيرة جداً و  $p$  صغيرة جداً و  $np = \lambda$ . يمكن النظر أيضاً إلى هذا التوزيع على أنه لمتحول عشوائي  $X$  يمثل عدد الأحداث التي تحدث في واحدة الزمن ضمن الفرضيات التالية:

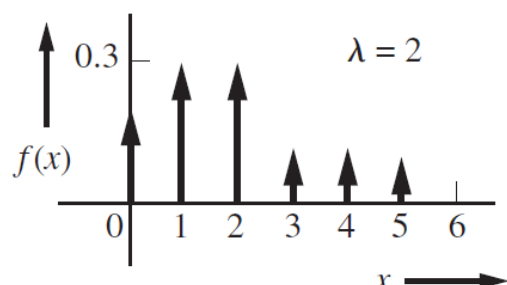
- تحدث الأحداث في أوقات متباعدة.
- أي مجال منته يتضمن عدداً منتهاً من الأحداث.
- أي مجال غير منته يتضمن عدداً غير منته من الأحداث.
- لا يمكن التنبؤ بوقت حدوث الأحداث.
- عدد الأحداث في مجالات غير مترابكة؛ مستقل بعضه عن بعض.

تابع الكثافة الاحتمالية  $f(x) = \sum_{k=0}^{\infty} p(k) \cdot \delta(kx)$ ,  $p(X=k) = \frac{\lambda^k}{k!} e^{-\lambda}$ . وتابع التوزيع الاحتمالي:

$$F(a) = \sum_{k=1}^m p(k) . \quad \text{القيمة الوسطى } \mu = \lambda \quad \text{والنحوين } \sigma^2 = \lambda$$

يُستخدم هذا التوزيع في نمذجة المرور في نظم الاتصال (عدد الرسائل التي تصل خلال زمن محدد)، وانبعاث الجسيمات كإلكترونات والفوتونات.

يبين الشكل التالي تابع الكثافة الاحتمالية حين  $\lambda = 2$ .



### 3.4. التوزيع المنتظم

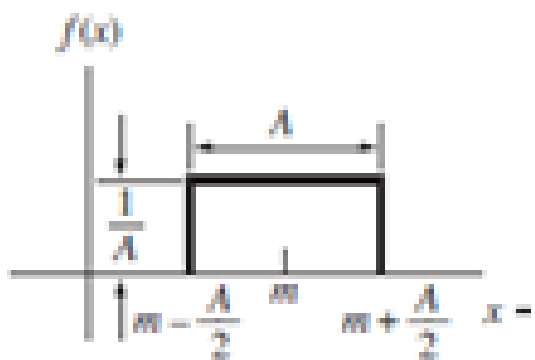
وهو حين تكون القيمة الوسطى للمتحول العشوائي  $m$  ويأخذ قيمًا عشوائية حول  $m$  تابع كثافتها الاحتمالية ثابتة على مجال التغيرات  $[m - A/2, m + A/2]$ . يبرهن أن تغير هذا المتحول هو  $\sigma^2 = A^2/12$  وقيمته الوسطى هي  $\mu = m$ .

الشكل التالي يبين تابع الكثافة الاحتمالية مع معادلات هذا التابع  $f(x)$  ومعادلات تابع التوزيع الاحتمالي

$$F(a)$$

$$F(a) = \begin{cases} 0, & a < \frac{2m - A}{2} \\ \frac{1}{A} \left[ a - \frac{2m - A}{2} \right], & |a - m| \leq A/2 \\ 1, & a \geq \frac{2m - A}{2} \end{cases}$$

$$f(x) = \begin{cases} 0, & x < \frac{2m - A}{2} \\ \frac{1}{A}, & |x - m| \leq A/2 \\ 0, & x > \frac{2m + A}{2} \end{cases}$$



يُستعمل هذا التوزيع لنمذجة خطأ التكمية في المبدلات التماضية الرقمية.

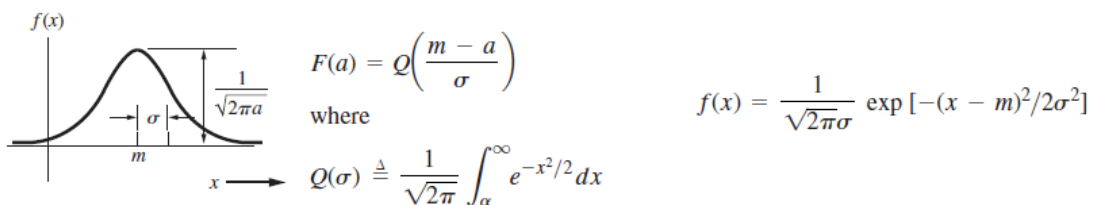
#### 4.4. التوزيع الغولي (الطبيعي)

وهو من أهم توابع التوزيع إن لم يكن أحدهما. ويستخرج من التوزيع الثنائي الحد حين تكون  $n$  كبيرة مع الإبقاء على المتوسط  $m = np$  محدوداً والتغير  $\sigma^2 = np(1-p)$  أكبر بكثير من 1. يستعمل لمذكرة الضجيج الحراري والكثير من الظواهر الفيزيائية، لذلك سمي "الطبيعي". وهو مفيد في تحليل مسائل الاتصالات و مسائل الإحصاء.

يبين الشكل التاليتابع الكثافة الاحتمالية  $f(x)$  ومعادلته إضافة إلى معادلة تابع التوزيع الاحتمالي  $F(a)$ . يبرهن على أن القيمة الوسطى له هي  $m$ ، وأن تغايره هو  $\sigma^2$ .

$$F(a) = Q\left(\frac{m-a}{\sigma}\right), \quad Q(x) = \frac{1}{\sqrt{2\pi}} \int_a^\infty e^{-x^2/2} dx$$

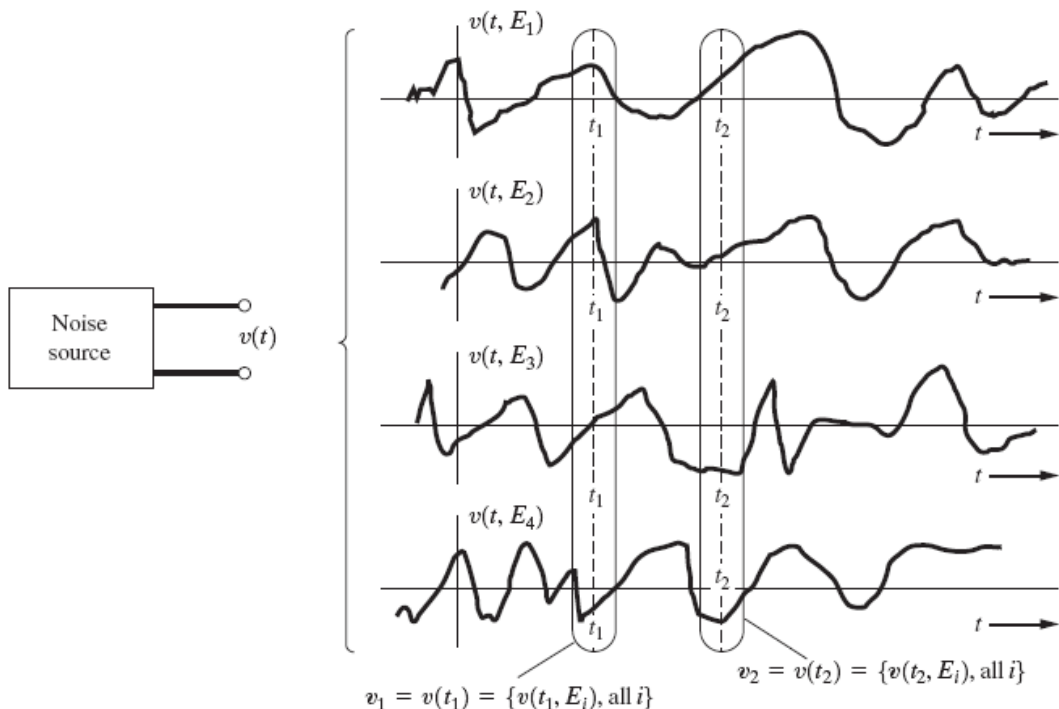
$$f(x) = \frac{1}{\sqrt{2\pi}\sigma} \exp\left(-\frac{(x-m)^2}{2\sigma^2}\right)$$



## 5. السيرورات العشوائية

السيرورة العشوائية الحقيقية هي مجموعة مفهرسة من التابع الحقيقية لمتحول ما (هو غالباً الزمن  $t$ )، تتمتع ببعض الخواص الإحصائية. لأخذ فلطية الخرج لمنبع ضجيج من مجموعة منابع ضجيج متماثلة (من المصنوع نفسه): كل منبع  $E_i$  هو عينة عشوائية من الفضاء العشوائي لهذه المنابع، وخرجه هوتابع للزمن يمكن أن نكتبه  $v(t, E_i)$ . تكون مجموعة التابع  $\{v(t, E_i)\}$  السيرورة العشوائية  $v(t)$  لمنابع الضجيج. لاحظ أن المتحول العشوائي يقابل كل حدث عشوائي ثابت؛ أما السيرورة العشوائية فتقابل كل حدث عشوائي بتتابع.

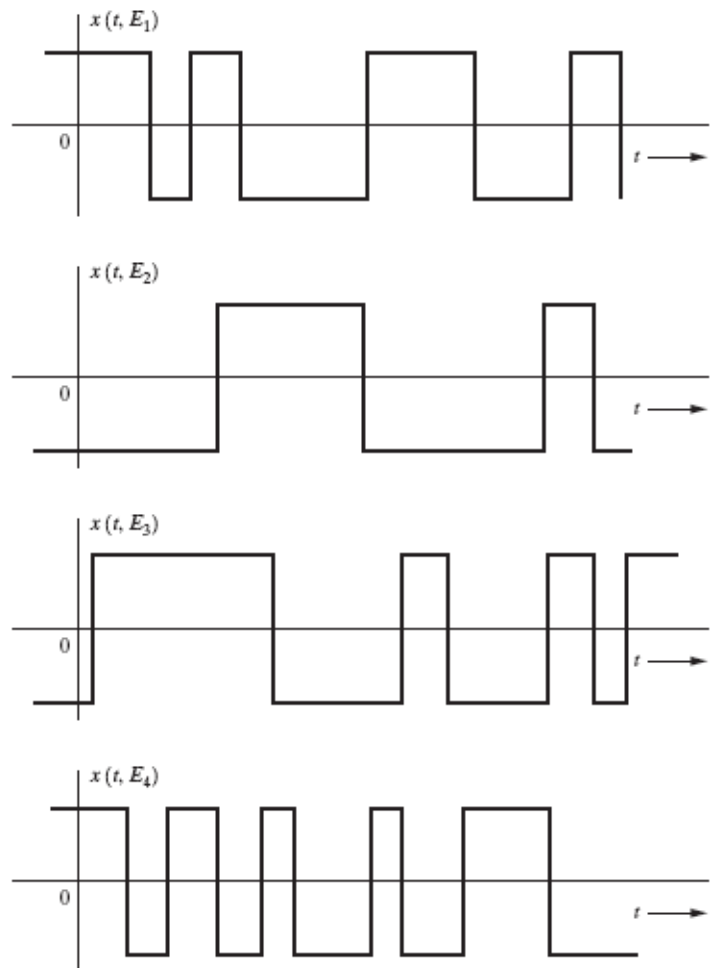
يبين الشكل التالي:



منبع ضجيج عشوائي ومجموعة من التابع العينات  $v(t, E_i)$ . يمكن توصيف السيرورة العشوائية بمجموعة مفهرسة من المتاحولات العشوائية  $v_1, v_2, \dots$  التي تظهر على الشكل. الثابت  $t$  يمثل الزمن في غالب الأحيان. لذلك فإن  $v_i = v(t_i)$  هو المتحول العشوائي الذي يعطي في اللحظة  $t_i$  خرج جميع المنابع. على سبيل المثال، إذا كان لمنبع الضجيجتابع توزع احتمالي غاوسي أمكننا كتابة:  $f(v_j) = \frac{1}{\sqrt{2\pi}\sigma_j} e^{-(v_j - m_j)^2/2\sigma_j^2}$ . يمكن أن

تعتمد القيمة الوسطى  $m_j$  والانحراف المعياري  $\sigma_j$  في اللحظة  $j$ .

يمكن أن تكون السيرورات العشوائية مستمرة كما في مثل منابع الضجيج السابقة، ويمكن أن تكون متقطعة حين تتكون من متاحولات عشوائية متقطعة. كما في الشكل التالي:



نقول عن سيرورة أنها مستقرة stationary من الدرجة  $N$  ، حين تتكون من  $N$  مت حول عشوائي ولا تتغير خواصها الإحصائية مع الزمن أي إن :

$$\forall t_1, t_2, \dots, t_N, f_x(x(t_1), x(t_2), \dots, x(t_N)) = f_x(x(t_1 + t_0), x(t_2 + t_0), \dots, x(t_N + t_0))$$

**مثال:**

لتكن لدينا الإجرائية العشوائية  $x(t) = A \cos(\omega_0 t + \theta_0)$  أولاً: إذا كانت  $A, \omega_0$  ثوابتاً، وكانت  $\theta_0$  متحولاً عشوائياً موزعاً بانتظام على المجال  $[\pi - \pi]$  كان تابع الكثافة الاحتمالية لـ  $x(t)$  يعطى بالعلاقات:

$$f_x(x) = \begin{cases} \frac{1}{\pi\sqrt{A^2 - x^2}}, & |x| \leq A \\ 0, & |x| > A, \end{cases}$$

وإذا أنه مستقل عن الزمن كانت السيرورة مستقرة من الدرجة الأولى.

ثانياً: إذا كانت  $A, \omega_0, \theta_0$  ثوابتاً، كانت قيمة  $x(t)$  معروفة في كل لحظة باحتمال 1، وكان تابع الكثافة الاحتمالية لـ  $x(t)$  يعطى بالعلاقة:

$$f_x(x) = \delta(x - A \cos(\omega_0 t + \theta_0))$$

وإذا أنه تابع للزمن فالإجرائية غير مستقرة من الدرجة الأولى.

نقول عن سيرورة أنها إرغودية ergodic إذا كان الوسطي في أي لحظة

$$\langle [x(t)] \rangle = \lim_{T \rightarrow \infty} \frac{1}{T} \int_{-T/2}^{T/2} [x(t)] dt$$

يساوي التوقع الرياضي الإحصائي للسيرورة

$$\cdot [x(t)] = \int_{-\infty}^{\infty} [x] f_x dx = m_x$$

في هذه الحالة لا يمكن أن يكون الوسطي الزمني تابعاً للزمن. من هذه التعريف نرى أن الإجرائية الإرغودية هي إجرائية مستقرة.

**مثال:**

نفترض  $A, \omega_0$  ثوابتاً، و  $\theta_0$  متحولاً عشوائياً موزعاً بانتظام على المجال  $[0, 2\pi]$  ونحسب القيمة الوسطى والغم من المرتبة الثانية:

$$[x] = \int_{-\infty}^{\infty} [x(\theta)] f_{\theta}(\theta) d\theta = \int_0^{2\pi} [A \cos(\omega_0 t + \theta)] \frac{1}{2\pi} d\theta = 0$$

$$[x^2] = \int_0^{2\pi} [A \cos(\omega_0 t + \theta)]^2 \frac{1}{2\pi} d\theta = A^2 / 2$$

وإذا أردنا حسابي الوسطي للسيرورة ولمريعها، بالنسبة للزمن، نجد:

$$\langle x(t) \rangle = \frac{1}{T_0} \int_0^{T_0} [A \cos(\omega_0 t + \theta)] dt = 0$$

$$\langle x^2(t) \rangle = \frac{1}{T_0} \int_0^{T_0} [A \cos(\omega_0 t + \theta)]^2 dt = A^2 / 2$$

نجد أن العزم من المرتبة الأولى ومن المرتبة الثانية بالنسبة لسيرونة العشوائية يساويان مقابلاً لها بالنسبة للزمن. يحملنا هذا على الاعتقاد بإرغودية السيرونة ولكن البرهان عليها صعب. نستطيع فقط برهان استقرارها من المرتبة الأولى والثانية.

نعرف تابع الترابط الذاتي autocorrelation لسيرونة عشوائية حقيقية  $x(t)$  على أنه:

$$R_x(t_1, t_2) = \overline{x(t_1)x(t_2)} = \int_{-\infty}^{\infty} \int_{-\infty}^{\infty} x_1 x_2 f_x(x_1, x_2) dx_1 dx_2$$

حيث  $x_i = x(t_i)$ ,  $i = 1, 2$ . فإذا كانت السيرونة مستقرة من المرتبة الثانية stationery كان تابع الترابط الذاتي السابق تابعاً له  $R_x(\tau) = \overline{x(t)x(t+\tau)}$  أي أن:

نقول عن سيرونة أنها مستقرة بالمعنى الواسع إذا تحقق الشرطان:

$$\overline{x(t)} = \text{cons tan } t$$

$$R_x(t_1, t_2) = R_x(\tau), \tau = t_2 - t_1$$

وبذلك تكون السيرورات المستقرة حتى المرتبة الثانية أو أعلى سيرورات مستقرة بالمعنى الواسع. العكس ليس بالضرورة صحيحاً.

خواص تابع الترابط الذاتي لسيرونة عشوائية حقيقية مستقرة بالمعنى الواسع:

$$R_x(0) = \overline{x^2(t)}$$

$$R_x(\tau) = R_x(-\tau)$$

$$R_x(0) \geq R_x(\tau)$$

الخاصتان الأولى والثانية صحيحتان من التعريف، ولبرهان الخاصة الثالثة نرى أن:

$$\begin{aligned} & \overline{[x(t) \pm x(t+\tau)]^2} \geq 0 \\ & \overline{x^2(t)} \pm \overline{2x(t)x(t+\tau)} + \overline{x^2(t+\tau)} \geq 0 \\ & R_x(0) \pm 2R_x(\tau) + R_x(0) \geq 0 \end{aligned}$$

ومنه برهان هذه الخاصة.

بالمماثلة نعرف تابع الترابط المتعارض cross-correlation لسيرورتين عشوائيتين حقيقيتين  $x(t), y(t)$

$$\text{بالعلاقة: } R_{xy}(t_1, t_2) = \overline{x(t_1)y(t_2)}$$

إذا كانت السيرورتان مستقرتين معاً بحيث :

$$\begin{aligned} & \forall t_i \quad f_{xy}(x(t_1), x(t_2), \dots, x(t_N), y(t_{N+1}), y(t_{N+2}), \dots, y(t_{N+M})) = \\ & f_{xy}(x(t_1 + t_0), x(t_2 + t_0), \dots, x(t_N + t_0), y(t_{N+1} + t_0), y(t_{N+2} + t_0), \dots, y(t_{N+M} + t_0)) \end{aligned}$$

فعندها يكون:  $\cdot R_{xy}(t_1, t_2) = R_{xy}(\tau), \tau = t_1 - t_2$

ومن خواص تابع الترابط المتعارض لسيورورتين  $x, y$  مستقرتين معاً:

$$R_{xy}(-\tau) = R_{yx}(\tau)$$

$$|R_{xy}(\tau)| \leq \sqrt{R_x(0).R_y(0)}$$

$$|R_{xy}(\tau)| \leq \frac{1}{2}[R_x(0) + R_y(0)]$$

الخاصة الأولى من التعريف، والخواصتان الباقيتان يبرهن عليها مما يلي:

$$\overline{[x(t) + Ky(t + \tau)]^2} \geq 0$$

$$[R_x(0)] + [2R_{xy}(\tau)]K + K^2[R_y(0)] \geq 0$$

الطرف اليساري للمتراجحة الأخيرة تابع من الدرجة الثانية لـ  $K$  (قيمية حقيقة لا على التعبيين)، ولكي يكون موجباً دوماً يجب أن تكون دلتا سالبة أي:

$$[2R_{xy}(\tau)]^2 - 4[R_x(0)].[R_y(0)] \leq 0$$

$$|R_{xy}(\tau)| \leq \sqrt{R_x(0).R_y(0)} \leq \frac{1}{2}[R_x(0) + R_y(0)]$$

(نعلم أن المتوسط الهندسي لعددين أصغر أو يساوي المتوسط الحسابي).

نقول عن سيورورتين عشوائيتين أنهما غير مترابطتين non correlated إذا كان تابع الترابط المتعارض يساوي جداء القيمة الوسطى للأول بالقيمة الوسطى للثاني؛ أي إذا تحقق:

$$R_{xy}(\tau) = \overline{[x(t)].[y(t + \tau)]} = m_x.m_y$$

ونقول إن السيورورتين متعامدتان إذا كان تابع الترابط المتعارض معدوماً أي:

$$R_{xy}(\tau) = 0$$

## 6. الكثافة الطيفية للاستطاعة

لفترض لدينا السيرورة العشوائية  $x(t, E_i)$  وأننا أخذنا منها عينة التابع  $(E_i, t)$ . نعرف نسخة مقطعة من هذه العينة على المجال الزمني  $[T/2, -T/2]$  كما يلي:

$$x_T(t, E_i) = \begin{cases} x(t, E_i), & |t| \leq \frac{1}{2}T \\ 0 & t \text{ else} \end{cases}$$

نعرف تحويل فورييه لهذه النسخة المقطعة كما يلي:

$$X_T(f, E_i) = \int_{-\infty}^{\infty} x_T(t, E_i) e^{-j2\pi ft} dt = \int_{-T/2}^{T/2} x_T(t, E_i) e^{-j2\pi ft} dt$$

للتبسيط فقط سنحذف  $E_i$  من التدوين.

طاقة السيرورة المستنيرة على المجال  $[T/2, -T/2]$  تعطى بالعلاقات (بالاستفاده من بارسفال):

$$E_T = \int_{-\infty}^{\infty} x_T^2(t) dt = \int_{-\infty}^{\infty} |X_T(f)|^2 df$$

ويمان  $(t)$  سيرورة عشوائية فإن تحويل فورييه لها هو كذلك. والقيمة الوسطى للطاقة تحسب كما يلي:

$$\overline{E_T} = \int_{-T/2}^{T/2} \overline{x^2(t)} dt = \int_{-\infty}^{\infty} \overline{x_T^2(t)} dt = \int_{-\infty}^{\infty} |\overline{X_T(f)}|^2 df$$

وتكون الاستطاعة المستنيرة:

$$P = \lim_{T \rightarrow \infty} \frac{1}{T} \int_{-T/2}^{T/2} \overline{x^2(t)} dt = \lim_{T \rightarrow \infty} \frac{1}{T} \int_{-\infty}^{\infty} \overline{x_T^2(t)} dt = \int_{-\infty}^{\infty} [\lim_{T \rightarrow \infty} \frac{1}{T} |\overline{X_T(f)}|^2] df = \overline{x^2(t)}$$

المتحول التابع للتعدد الذي نكامله للحصول على الاستطاعة هو مانسميه الكثافة الطيفية للاستطاعة وهو يساوي:

$$\lim_{T \rightarrow \infty} \left( \frac{|\overline{X_T(f)}|^2}{T} \right)$$

$$\text{حيث: } X_T(f) = \int_{-T/2}^{T/2} x(t) e^{-j2\pi ft} dt$$

ويبرهن أن هذه الكثافة الطيفية للاستطاعة ما هي إلا تحويل فورييه لنابع الترابط الذاتي للسيرورة أي إنها تساوي:

$$\int_{-\infty}^{\infty} R_x(\tau) e^{-j2\pi f\tau} d\tau$$

من خواص تابع الكثافة الطيفية للاستطاعة:

- حقيقي دوماً.
- غير سالب.
- متراز بالنسبة للتعدد حين تكون السيرورة حقيقية.
- تكامله يعطي الاستطاعة الكلية المستنيرة.

نقول عن سيرورة عشوائية إنها ضجيج أبيض إذا كانت الكثافة الطيفية للاستطاعة ثابتة ونرمز لها بـ  $N_0$ .

$$R_x(\tau) = \frac{N_0}{2} \delta(\tau)$$

وونتها يكون نابع الترابط الذاتي لها هو  $\frac{N_0}{2}$ .

هذه السيرورة هامة جداً لإشارات الاتصالات.

## تمارين للحل

نفترض  $\omega_0 A$ , ثوابتاً، و  $\theta_0$  متحولاً عشوائياً موزعاً بانتظام على المجال  $[0 / 2\pi]$ . احسب القيمة الوسطى والعزم من المرتبة الثانية. هل السيرورة إرغودية؟ ببر إجابتك.

## مذكرة

أجب بـصحيح أو خطأ عما يلي:

1. تابع الكثافة الاحتمالية هو تابع متزايد
2. تابع التوزيع الاحتمالي هو تابع موجب ومتزايد
3. التغاير هو العزم المركزي من الدرجة الثانية
4. القيمة الوسطى هي العزم المركزي من الدرجة الأولى
5. السيرورة العشوائية تتبع ظاهرة إحصائية وتتبع للزمن
6. السيرورة الإرغودية هي التي يكون متوسطها بالزمن يساوي متوسطها الإحصائي
7. السيرورة المستقرة هي التي لا تتغير خواصها الإحصائية مع الزمن
8. تابع الترابط الذاتي لسيرورة  $X$  مستقرة بالمعنى الواسع يحقق  $R_X(-\tau) = -R_X(\tau)$
9. القيمة الصغرى لتابع الترابط الذاتي عند القيمة 0
10. القيمة العظمى لتابع الترابط الذاتي عند القيمة 0
11. تحويل فورييه لتابع الترابط الذاتي يعطي الكثافة الطيفية للاستطاعة للسيرورة

1. 'Digital and Analog Communication Systems', 8<sup>th</sup> edition, by Leon W. COUSH II, Pearson Education International, 2013 ch6, appendix B.
2. "simulation of communication systems", 2<sup>nd</sup> edition, by M.Jeruchim, Ph. Balaban and S. Shanmugan, Kluwer academic publishers, 2002 ch6

## حل المذاكرة

الإجابة	رقم السؤال
خطأ	1. تابع الكثافة الاحتمالية هو تابع متزايد
صح	2. تابع التوزيع الاحتمالي هو تابع موجب ومتزايد
صح	3. التغير هو العزم المركزي من الدرجة الثانية
خطأ	4. القيمة الوسطى هي العزم المركزي من الدرجة الأولى
صح	5. السيرورة العشوائية تتبع ظاهرة إحصائية وتتبع للزمن
صح	6. السيرورة الإرغودية هي التي يكون متوسطها بالزمن يساوي متوسطها الإحصائي
صح	7. السيرورة المستقرة هي التي لا تتغير خواصها الإحصائية مع الزمن
خطأ	8. تابع الترابط الذاتي لسيرورة $X$ مستقرة بالمعنى الواسع يحقق $(\tau)R_X(-\tau) = -R_X(\tau)$
خطأ	9. القيمة الصغرى لتابع الترابط الذاتي عند القيمة 0
صح	10. القيمة العظمى لتابع الترابط الذاتي عند القيمة 0
صح	11. تحويل فورييه لتابع الترابط الذاتي يعطي الكثافة الطيفية للاستطاعة لسيرورة

# تعديل الحزمة القاعدية

## 1. أنواع التعديل النبضي

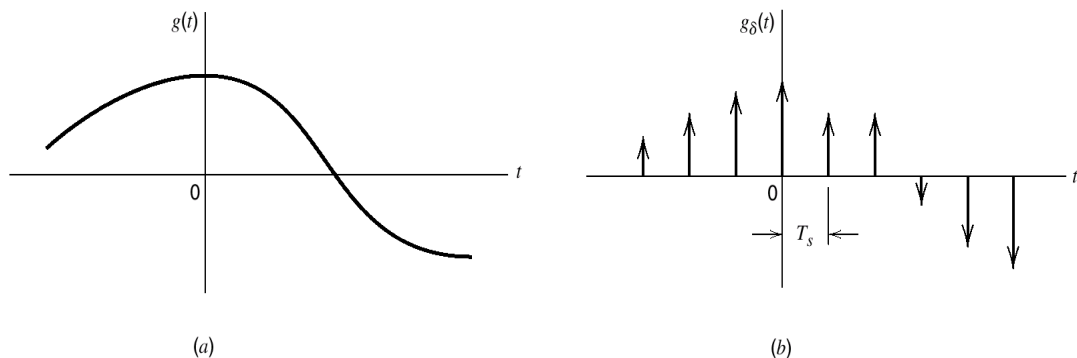
في التعديل التماثلي (مقرر الاتصالات التماثلية) كنا نأخذ إشارة الحامل الجيبية ونغير مطال الحامل بحسب إشارة المعلومات في التعديل المطالي AM، أو نغير تردد الحامل بحسب إشارة المعلومات في التعديل التردد FM، أو نغير الطور في التعديل الطوري PM. في التعديل النبضي سنأخذ قطار نبضات دورية كإشارة حامل، ثم نغير مطال النبضة أو عرضها أو موقعها بحسب إشارة المعلومات التي سنحملها عليه. نسمى هذه العملية التعديل النبضي التماثلي، ويجري الإرسال بلحظات معينة فقط (قطبيع في الزمن)؛ فإذا قمنا بتكمية المطالات وأصبح لدينا قطبيع بالزمن وبالمطالات حصلنا على التعديل النبضي الرقمي والذي هو مدخل للاتصالات الرقمية. لذلك يُعتبر التعديل النبضي واقعاً بالوسط بين التعديل التماثلي والتعديل الرقمي.

### 1.1. عملية أخذ العينات والتقطيع المثالى

هي عملية تسمح بتحويل الإشارة التماثلية إلى متتالية عينات متباude زمنياً بانتظام. يجب أن يكون تردد أخذ العينات بحيث يمكننا من استعادة الإشارة التماثلية على نحو وحيد. بحسب نظرية شانون (أو شرط نايكويست)؛ يكفي أن يكون تردد أخذ العينات أعلى من ضعف أعلى تردد في الإشارة لنتمكن من استعادة الإشارة من عينات.

نفترض لدينا إشارة تماثلية  $(t)g$  ، ينتج التقطيع المثالى لها من ضربها بقطار نبضات ديراك دورية بدور  $T_s = 1/f_s$  حيث تردد التقطيع  $f_s$  يحقق شرط شانون. نسمى  $(t)g_\delta$  ناتج التقطيع المثالى، ويعطى

$$g_\delta(t) = \sum_{n=-\infty}^{\infty} g(nT_s) \cdot \delta(t - nT_s)$$



في الشكل السابق (a) الإشارة المستمرة و (b) ناتج التقطيع المثالى.

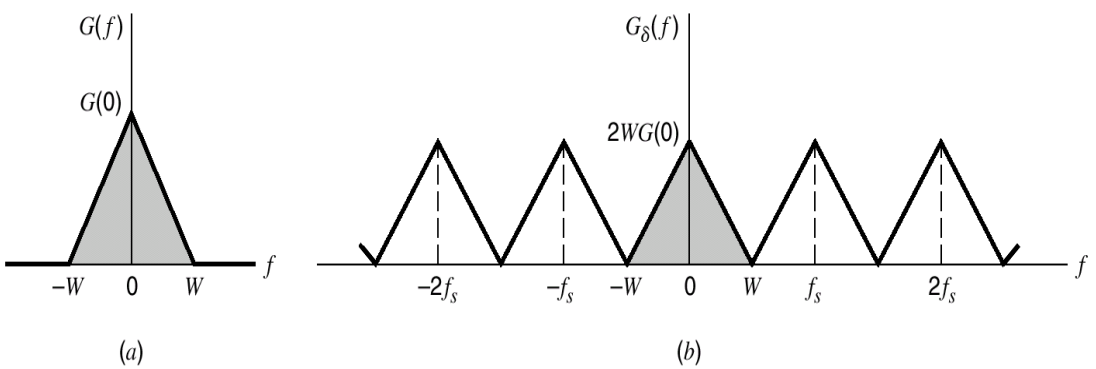
يعطى تحويل فورييه لناتج التقطيع المثالي بالعلاقة:  $G_\delta(f) = f_s \sum_{n=-\infty}^{\infty} G(f - nf_s)$ . وهذا يعني أن

طيف ناتج التقطيع المثالي هو دوري ودوره هو  $f_s$ . إذا كان طيف الإشارة  $(t)$  لا يتجاوز  $W$  يمكن

أخذ  $f_s = 2W$  ومن العلاقة  $g_\delta(t) = \sum_{n=-\infty}^{\infty} g(nT_s) \cdot \delta(t - nT_s)$  نحسب تحويل فورييه لناتج التقطيع

$$\begin{aligned} G_\delta(f) &= \sum_{n=-\infty}^{\infty} g(nT_s) \cdot \exp(-j2\pi n f T_s) = \sum_{n=-\infty}^{\infty} g\left(\frac{n}{2W}\right) \cdot \exp(-j\pi n f / W) \\ &= f_s \sum_{n=-\infty}^{\infty} G(f - nf_s) = f_s G(f) + f_s \sum_{\substack{n=-\infty \\ n \neq 0}}^{\infty} G(f - nf_s) \end{aligned}$$

المثالي فجد

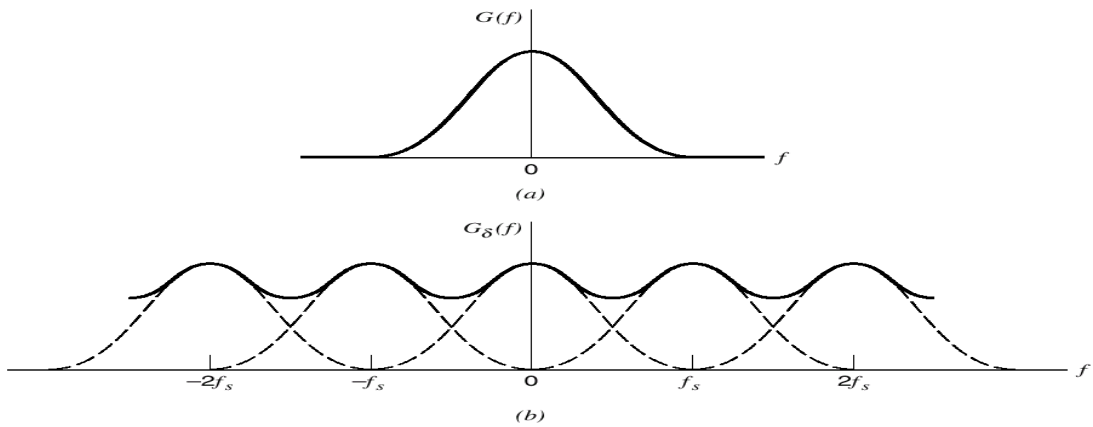


طيف الإشارة  $(t)$  إلى اليسار (a)، وطيف ناتج التقطيع المثالي (b)

من هذه العلاقات يمكننا استنتاج  $G_\delta(f)$  من  $G(f)$  فجد:

$$\begin{aligned} g(t) &= \int_{-\infty}^{\infty} G(f) e^{j2\pi ft} df = \int_{-W}^W \frac{1}{2W} G_\delta(f) e^{j2\pi ft} df \\ &= \int_{-W}^W \frac{1}{2W} \left[ \sum_{n=-\infty}^{\infty} g\left(\frac{n}{2W}\right) e^{\frac{-j\pi n f}{W}} \right] e^{j2\pi ft} df \\ &= \sum_{n=-\infty}^{\infty} g\left(\frac{n}{2W}\right) \cdot \frac{1}{2W} \int_{-W}^W e^{j2\pi f(t - \frac{n}{2W})} df \\ &= \sum_{n=-\infty}^{\infty} g\left(\frac{n}{2W}\right) \cdot \frac{\sin(2\pi Wt - n\pi)}{(2\pi Wt - n\pi)} \\ &= \sum_{n=-\infty}^{\infty} g\left(\frac{n}{2W}\right) \cdot \text{sinc}(2Wt - n) \quad -\infty < t < +\infty \end{aligned}$$

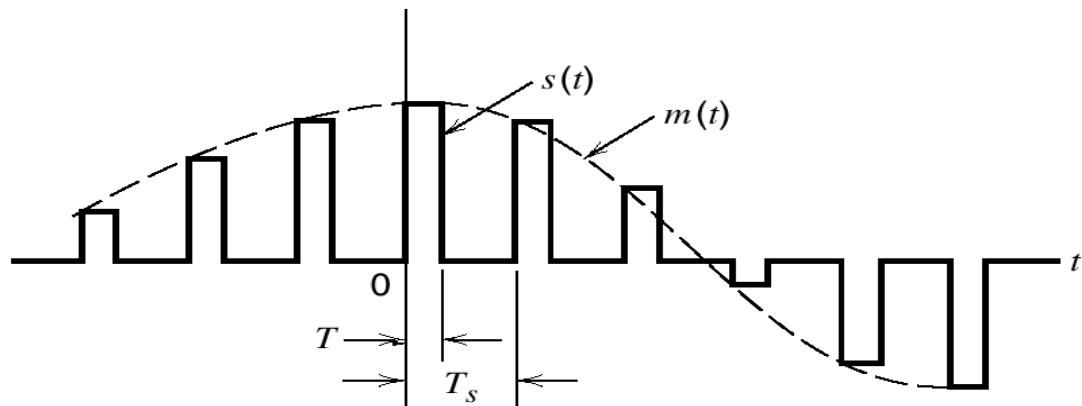
تبين هذه العلاقة إمكان استعادة الإشارة من عيناتها المقطعة تقطيراً مثالياً وتتابع sinc إذا كان طيفها محدوداً وكان تردد التقطيع يحقق شرط شانون. في حال لم يحقق تردد التقطيع شرط شانون يحصل تراكب النسخ الدورية من طيف الإشارة ولا نتمكن من استعادة الإشارة.



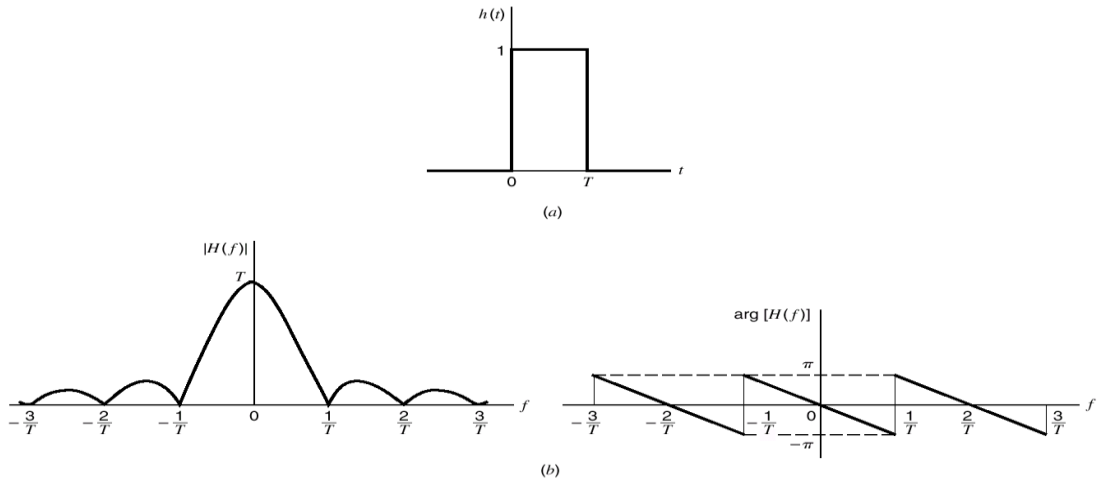
الشكل: تراكب الطيف حين لا يحقق تردد التقطيع شرط شانون.

## 2.1. تعديل مطال النبضة PAM وتعديل عرض النبضة PWM وتعديل موضع النبضة PPM

في الحقيقة لا يمكننا تحقيق التقطيع المثالي لأنه لا يمكن الحصول فيزيائياً على نبضات ديراك. نستعيض عنها بنبضات مستطيلة دورية ضيقة أو نبضات دورية ضيقة من أي شكل آخر، فنحصل على تعديل مطال النبضة pulse amplitude modulation PAM للاشارة:



تعديل مطال النبضة بنبضات مستطيلة بدورية  $T_s$  وعرض نبضة  $T$ .  
يبين الشكل التالي النبضة المستطيلة وفي الأسفل مطال طيفها إلى اليسار وطور الطيف إلى اليمين.



$$s(t) = \sum_{n=-\infty}^{\infty} m(nT_s) \cdot h(t - nT_s)$$

حيث  $m(t)$  إشارة المعلومات و  $h(t)$  إشارة النبضة. يمكننا البرهان أن ناتج تعديل النبضة يرتبط بالتقسيط المثالى للإشارة  $s(t) = m_\delta(t) * h(t)$  حيث أن  $m_\delta(t) = \sum_{n=-\infty}^{\infty} m(nT_s) \cdot \delta(t - nT_s)$ . في هذه

الحالة يكون طيف إشارة PAM هو طيف التقسيط المثالى مضروباً بطيف النبضة:

$$\begin{aligned} m_\delta(t) * h(t) &= \int_{-\infty}^{\infty} m_\delta(\tau) \cdot h(t - \tau) d\tau \\ &= \int_{-\infty}^{\infty} \left[ \sum_{n=-\infty}^{\infty} m(nT_s) \cdot \delta(\tau - nT_s) \right] \cdot h(t - \tau) d\tau \\ &= \sum_{n=-\infty}^{\infty} m(nT_s) \int_{-\infty}^{\infty} \delta(\tau - nT_s) \cdot h(t - \tau) d\tau \\ &= \sum_{n=-\infty}^{\infty} m(nT_s) \cdot h(t - nT_s) = s(t) \end{aligned}$$

$$\Rightarrow S(f) = M_\delta(f) \cdot H(f) \quad \text{Fourier Transform}$$

$$\text{but } M_\delta(f) = f_s \sum_{k=-\infty}^{\infty} M(f - k \cdot f_s)$$

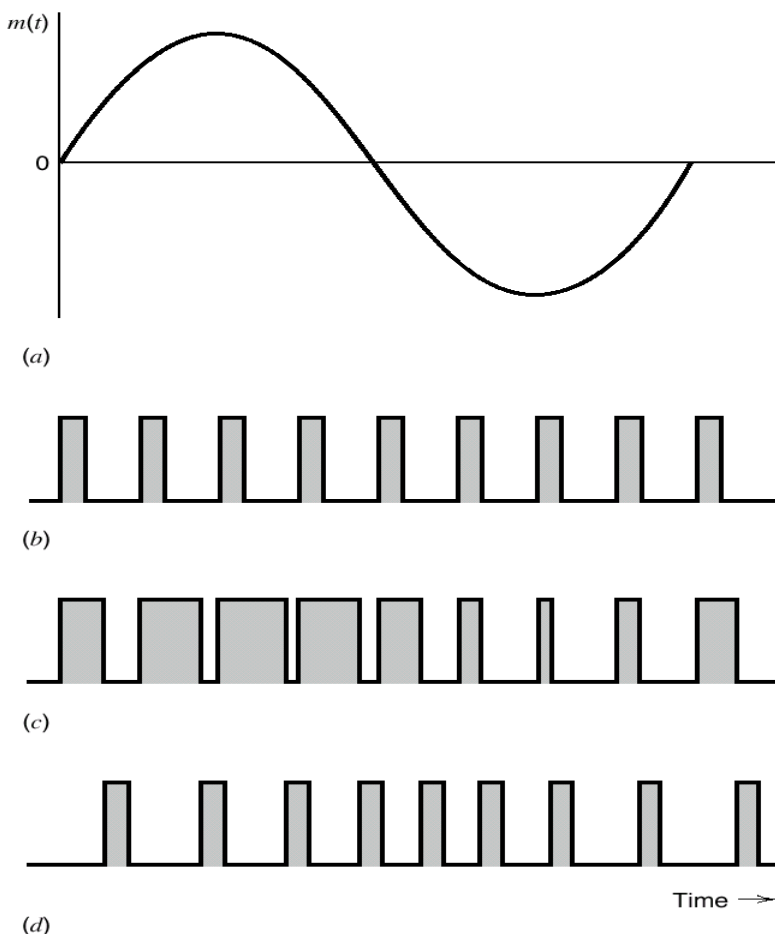
$$\Rightarrow S(f) = f_s \sum_{k=-\infty}^{\infty} M(f - k \cdot f_s) \cdot H(f)$$

أي إن PAM تسبب تشويهاً في طيف الإشارة بحسب العلاقة في السطر الأخير. لاستعادة الإشارة الأصلية من إشارة PAM، يمكن تصحيح تشويه المطال باستعمال مسوٌّ equalizer، بضرب مطال

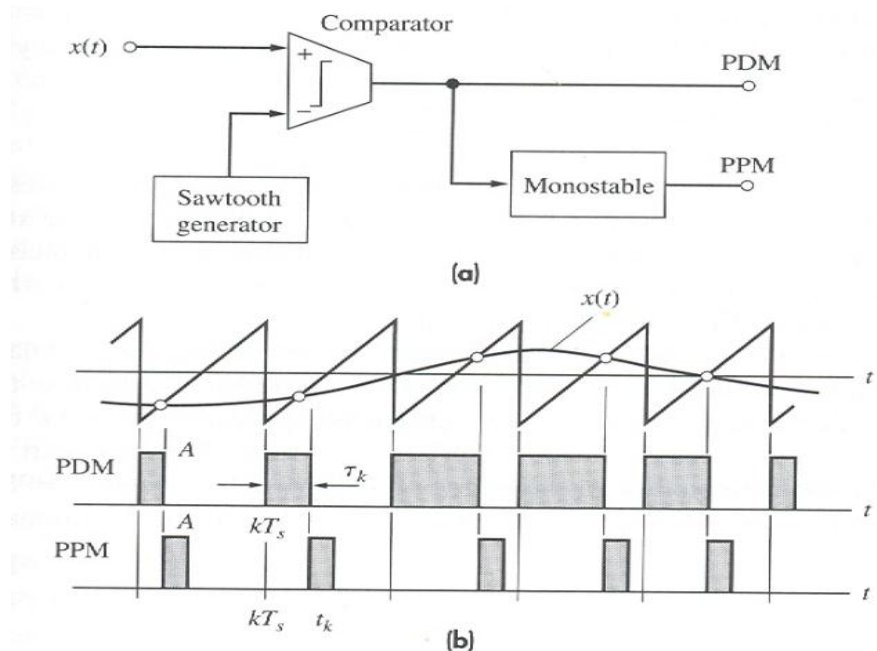
$$\frac{1}{|H(f)|} = \frac{1}{T \operatorname{sinc}(fT)} = \frac{\pi f}{\sin(\pi f T)} \quad \text{طيف لا PAM}$$

في حال كان  $T_s / T \leq 0.1$  كان تشويه إشارة لا PAM أقل من 0.5%， وأمكننا حذف المسوٌّ.  
 نلاحظ أن:

- في نظم التعديل PAM نزيد عرض مجال قناة الاتصال دون تحقيق ربح في الأداء.
- يمكن استغلال زيادة عرض المجال لتحقيق أداء أفضل ضد الضجيج.
- نستخدم تعديل عرض النبضة Pulse Width Modulation PWM (ويسمى أيضاً Pulse Width Modulation PDM)، بتغيير وقوع الحافة الصاعدة أو الحافة الهابطة بحسب الإشارة المعدلة، معبقاء المطال ثابتاً. في هذه الحالة، تستهلك النبضات العريضة استطاعة عالية من دون زيادة الأداء.
- نستخدم تعديل موضع النبضة Pulse Position Modulation PPM بحيث نحافظ على زمن الانتقال للنبضات ناتج تعديل عرض النبضة السابق ولكن الآن بنبضات ضيقه.

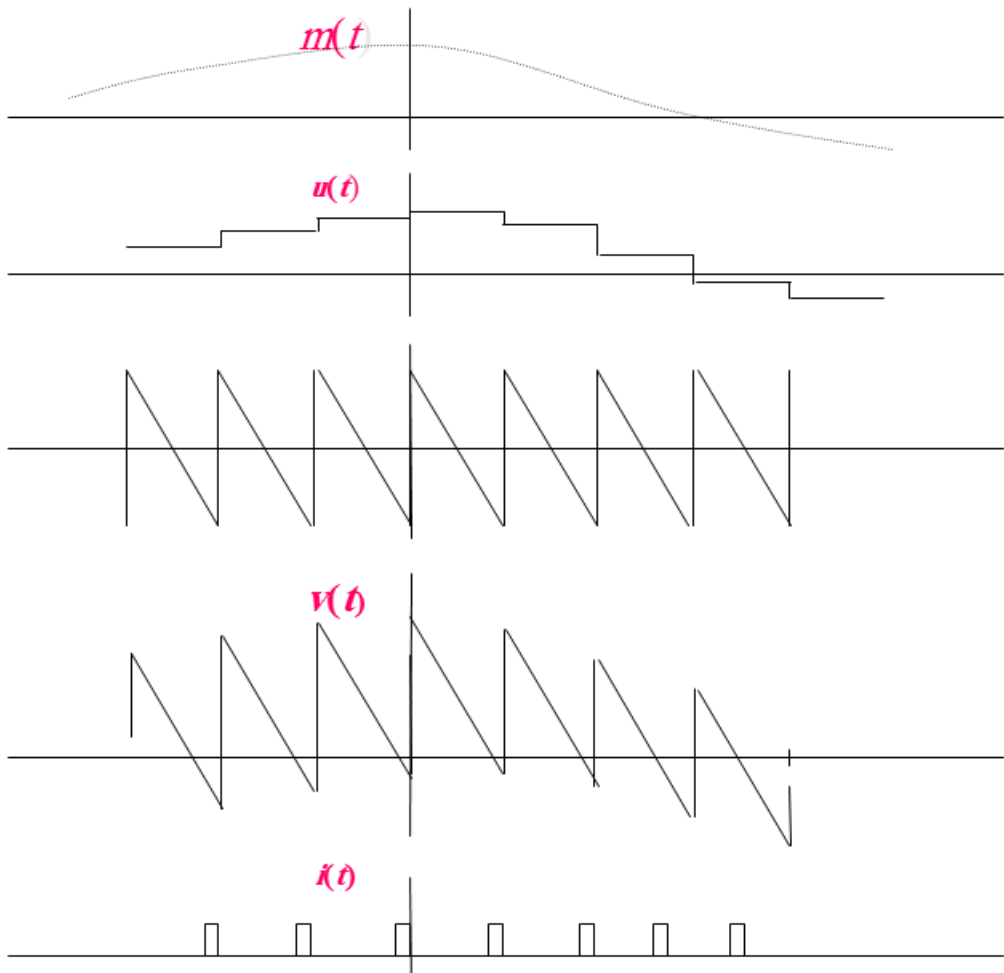


الشكل من الأعلى إلى الأسفل: إشارة المعلومات ( $m(t)$ ) قطار النبضات، ناتج تعديل عرض النبضة PWM ثم ناتج تعديل موضع النبضة PPM كما في الشكل التالي:



الشكل: توليد إشارات PWM و PPM.

أو يمكن تفريغه بجمع الإشارة مع إشارة سن منشار كما في الشكل التالي:



الشكل: طريقة ثانية لتوليد إشارة PPM، من الأعلى إلى الأسفل: إشارة المعلومات، ثم أخذ عينات منها، ثم إشارة سن المنشار، ثم ناتج جمع سن المنشار إلى الإشارة الثانية وأخيراً إشارة PPM.  
نبضة عند تقاطع الخط المائل لسن المنشار مع المحور الأفقي.

**ملاحظة:** يجب أن يكون لدينا تصور عن المطال الأعظم للإشارة، للتحكم بمطال إشارة سن المنشار بحيث يكون هناك تقاطع في كل دور منها.

لاستعادة الإشارة نستعين بنبضات الحامل ونشئ إشارة PWM من إشارة PPM، ثم بتكاملها (نأخذ بالاعتبار أن المطال الصفرى يعطى تكامل نصف قيمة عظمى للأذى بالاعتبار المطالات السالبة) نحصل على إشارات PAM نستعيد منها الإشارة. يجب تصفيير المتكامل بعد كل عملية متكاملة.

يُستعمل تعديل PAM كخطوة سابقة لرقمنة الإشارة، وتعديل PWM و PPM في التحكم في المحركات وتطبيقات أخرى. ثمة معالجات تأخذ الإشارة التماثلية وتنتج تعديل PWM أو PPM. الجدير بالذكر يمكن الحصول على تعديل PPM بأداء جيد بوجود الضجيج.

## 2. تعديل ترميز النبضة PCM

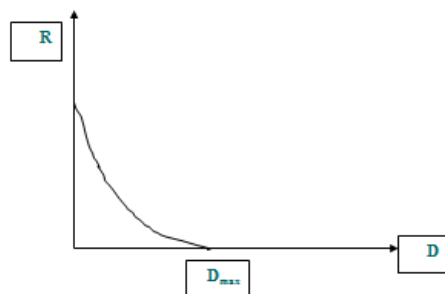
### 1.2. قياس التشوه

قياس التشوه هو قياس بُعد الإشارة الأصلية ( $s(t)$ ) عن الإشارة المستعادة ( $\hat{s}(t)$ ). ثمة عدة تعريفات لهذا التشوه منها:

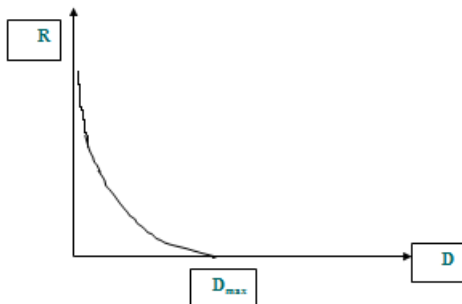
$$\begin{aligned} & \max_t |s(t) - \hat{s}(t)| \\ & \lim_{T \rightarrow \infty} \frac{1}{T} \int_{-T/2}^{T/2} |s(t) - \hat{s}(t)| dt \\ & \lim_{T \rightarrow \infty} \frac{1}{T} \int_{-T/2}^{T/2} [s(t) - \hat{s}(t)]^2 dt \end{aligned}$$

إذا كانت الإشارة الأصلية تحمل بذات اثنانية أمكننا تعريف التشوه بين المعطيات (البّنات) الأصلية والمعطيات (البّنات) المستعادة بالاستفادة من تشوه هامينغ للبت الواحدة. فإذا كان لدينا  $n$  بتاً قسنا التشوه بالقيمة الوسطى للتشوهات المفردة للبّنات:  $D = E(d(s, \hat{s})) = \frac{1}{n} \sum_{i=1}^n E(d(s_i, \hat{s}_i))$  حيث يشير  $E$  إلى التوقع الرياضي أو القيمة الوسطى.

في نظام اتصالات ما، علينا أن نصمم النظام بحيث يُعاد إنتاج الإشارة عند المستقبل بأقل تشوه ممكن. رأينا سابقاً مفهوم سعة القناة، فإذا كان معدل الإرسال  $R$  أقل من سعة القناة أمكننا نقل المعطيات باحتمال خطأ صغير. أما إذا كان معدل النقل أعلى من سعة القناة فستحدث أخطاء وضياعات وعلينا أن نركز على نقل المعطيات الأكثر أهمية لاستعادة الإشارة من دون أخطاء. معدل التشوه ( $D$ ) هو معدل النقل الذي يضمن لا يزيد تشوه الإشارات المنقولة عن القيمة  $D$ .



نلاحظ أن التشوه يزداد بانخفاض معدل النقل ( $R(0)$ ) وهو معدل النقل لاستعادة من دون تشوه. وهو على الأقل يساوي الأنتروبية للمنابع المنفصلة التي تنتج رموزاً منفصلة. أما في حالة المنابع المتصلة فلا يمكننا الحصول على قيمة ( $R(0)$ ) والمنحنى يسعى إلى الانتهاء بجوار الصفر



في الحقيقة في حالة المنابع المتصلة نحتاج إلىأخذ عينات من المنبع ثم تكميتها لإرسالها رقمياً (تشبه عملية التحويل من تماثلي إلى رقمي)، وهذا ما يسمى بمحمله تعديل ترميز النبضة. وبالحس الهندسي نرى أنه كلما كان عدد البتات أعلى كانت الإشارة المستعادة أقل تشوهاً وأقرب إلى الأصلية.

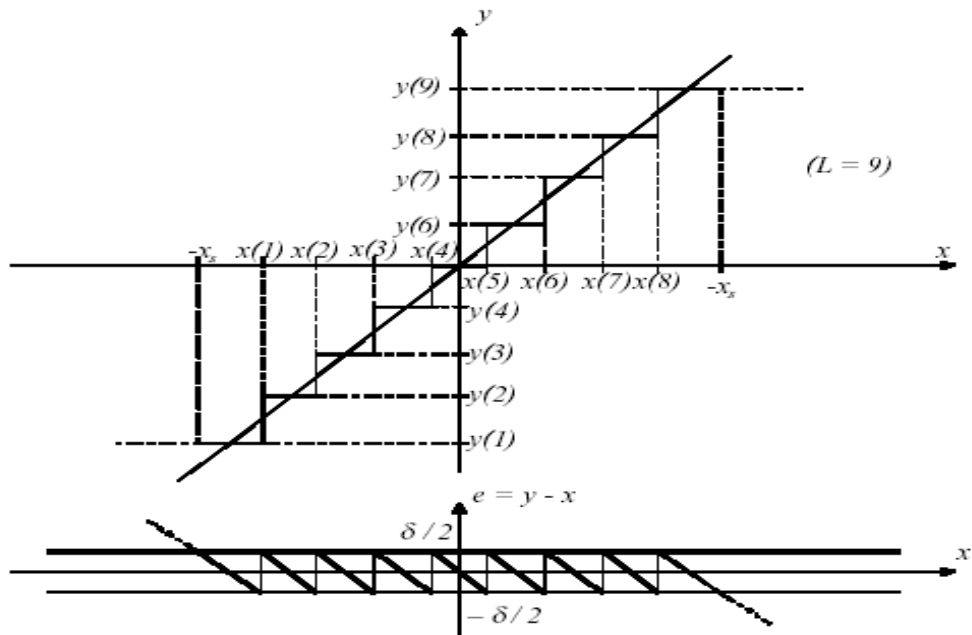
## 2.2. التكمية المنتظمة

نجزئ مجموعة الأعداد الحقيقية إلى مجموعة منتهية من المجالات  $N$  مجالاً. في كل مجال  $R_k$  حيث  $k$  بين 1 و  $N$  توجد نقطة تمثيل وحيدة  $x_k$  تنتهي إلى هذا المجال، وتكون النسخة المكماة لأي نقطة تقع ضمن هذا المجال. أي:

$$Q(x) = x_k \quad \forall x \in R_k$$

بعد ذلك نرمز هذه القيم بسلسل اثنانية ونرسلها. لـ  $N$  قيمة يكفي  $\log_2 N$  بتاً. في المستقبل نستعيد  $x_k$  من هذه البتات. نسمى التكمية المنتظمة حين تكون المجالات متساوية الطول.

مثال:



.  $y(i), i = 1, 2, \dots, 9$   
إذا افترضنا الإشارة محدودة بالمجال  $[x_s, x_s - x(0)]$  واعتبرنا  $x_s = x(9)$  فإن المنطقة بين  $x_s$  و  $x(i+1)$  تُكمي بالقيمة  $y(i+1)$ . إضافة إلى ذلك، تُكمي كل القيم التي هي أقل من  $x_s$  بالقيمة  $y(1)$  وكل القيم التي هي أكبر من  $x_s$  بالقيمة  $y(9)$ . إذا كان عرض المجال  $[x(i), x(i+1)]$  يساوي  $\delta$  فنلاحظ أن خط التكمية (الشكل في الأسفل) يتوزع بانتظام على المجال  $[\delta, -\delta]$  حين تكون الإشارة ضمن المجال  $[x_s, x_s - x(0)]$  ويسمى الخطأ خط البرغة granulation. أما خارج هذا المجال فيمكن أن تصبح إشارة الخطأ لا نهائية ويسمى الخطأ خط الإشباع saturation.

### 3.2. تعديل ترميز النبضة

بالعودة إلى التعديل النبضي المطالي، إذا جرت تكمية مطالات النبضات، تكمية منتظمة في غالب الأحيان، باستعمال عدد مناسب من البناء كي لا تتجاوز التشوه المسموح، أمكننا التعبير عن تعديل الإشارة بمجموعة متتالية من الكلمات الابتدائية، تشير كل منها إلى ترميز مطال النبضة الموقفة. وبذلك يُعبر عن الإشارة بمجموعة بذات فقط، ونكون قد انتقلنا إلى الترميز الرقمي للإشارة.

في الحقيقة، يمكن النظر إلى تعديل ترميز النبضة على أنه مشابه للتبديل التماثلي الرقمي-analog-to-digital conversion. الجدير بالذكر، أن التكمية المنتظمة تعطي أفضل أداء حين يكون التوزع الإحصائي للإشارة المكماة منتظمًا. الإشارة الكلامية ذات توزع أسي، احتمال ورود المطالات القصيرة أكثر بكثير من احتمال ورود المطالات الطويلة. لذلك، نفضل ضغط الإشارة لغرتميًا قبل تكميتها بانتظام. الضواغط المعيارية هي A-law و μ-law التي تعطى بالعلاقات التالية:

### الضاغط $\mu$ -law

يعرف الضاغط  $\mu$ -law بالتابع:

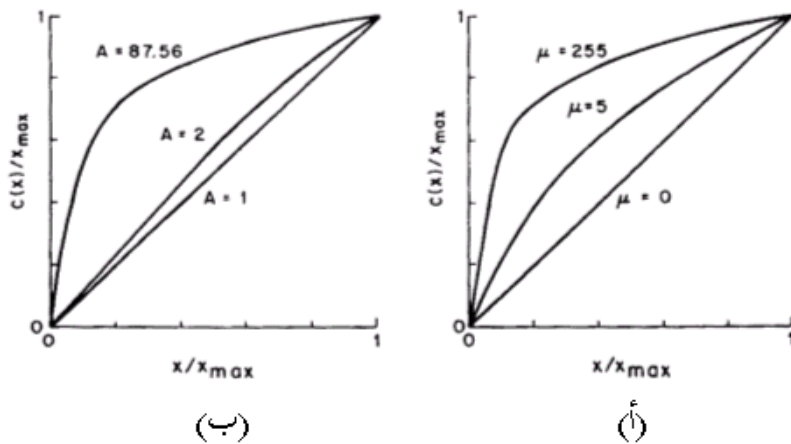
$$c(x) = x_{\max} \frac{\log_e(1 + \mu |x| / x_{\max})}{\log_e(1 + \mu)} \operatorname{sign}(x)$$

وهو خطٌ تقريباً في حال  
 ولغرتمي في حال  $x$  كبيرة  $(\mu |x| \gg x_{\max})$   $\left[ \log(1 + ax) \approx ax \right]$   
 $x$  صغيرة

### الضاغط $A$ -law

ومن الضواغط اللغرتمية الأخرى المستعملة على نطاقٍ واسع في تكمية الإشارات الصوتية الضاغط  $A$ -law ويتصف هذا الضاغط بأنه خطٌ قرب المبدأ  $|x| \leq x_{\max} / A$  ولغرتمي عند قيم أكبر:

$$c(x) = \begin{cases} \frac{A|x|}{1 + \log_e A} \operatorname{sign}(x) & 0 \leq \frac{|x|}{x_{\max}} \leq \frac{1}{A} \\ x_{\max} \frac{1 + \log_e(A|x| / x_{\max})}{1 + \log_e A} \operatorname{sign}(x); & \frac{1}{A} \leq \frac{|x|}{x_{\max}} \leq 1 \end{cases}$$



(أ) منحني الضاغط  $\mu$ -law المستنظام، (ب) منحني الضاغط  $A$ -law المستنظام (للقيم الموجبة فقط).

من كتاب الاتصالات الرقمية: جامعة دمشق-كلية الهندسة المعلوماتية 2000

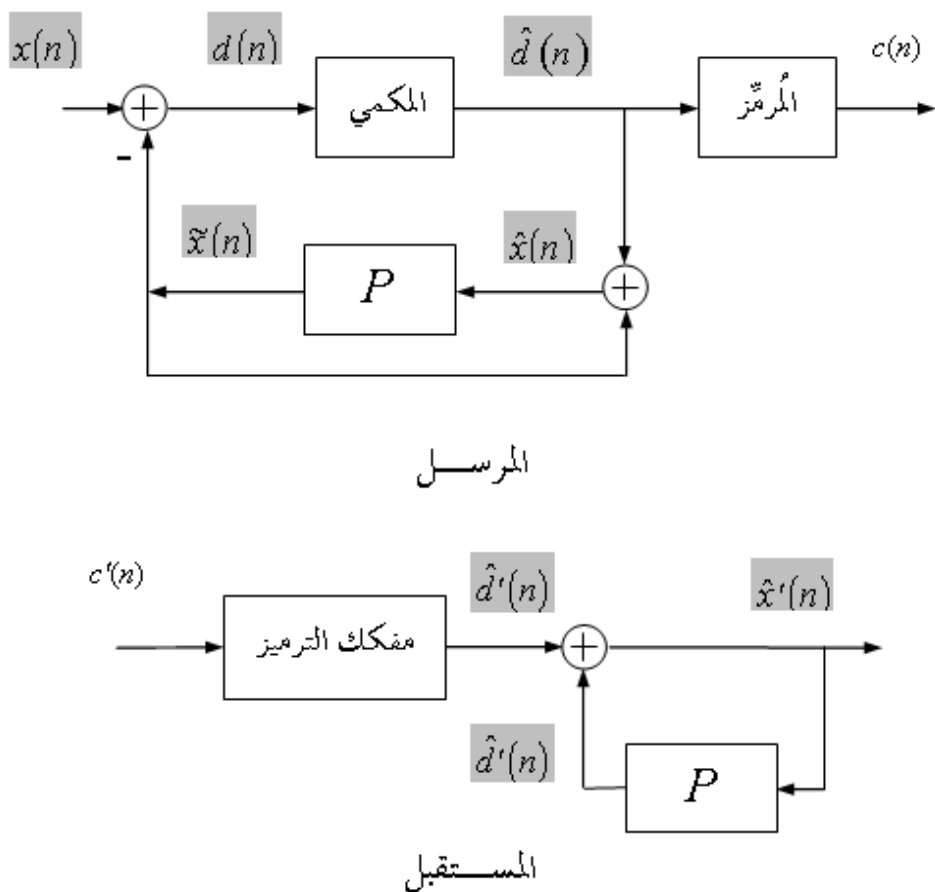
حين نستعمل أحد الضاغطين ونكمي الناتج على 8 بิตات تكون جودة الإشارة عند استعادتها تكافئ التكمية المنتظمة على 12 بيتاً.

### 3. الترميز التفاضلي وترميز التنبؤ الخطي

في التكمية السابقة، نكمي كل عينة لوحدها بقطع النظر عن قيم العينات المجاورة لها. وبما أن الإشارات بشكل عام متراقبة فإن قيم العينات المجاورة تكون عادة قريبة من العينة نفسها، لذلك أتت فكرة التكمية التفاضلية أو الترميز التفاضلي.

#### 1.3. الترميز التفاضلي

نأخذ تقريباً للعينة ناتجاً عن قيمة تتنبأ بها من العينات السابقة، وما نكميه ونرسله على الخط هو إشارة الفرق بين قيمة العينة والقيمة المتنبأ بها. وبما أن المجال الديناميكي لإشارة الخطأ هذه أقل من المجال الديناميكي للإشارة الأصلية، فإننا يمكن أن نوفر في عدد البتات التي نكمي بها العينة تفاضلياً مع الحفاظ على النوعية. انظر الشكل التالي:



(أ) المخطط الصندوقي لرمز نظام DPCM، (ب) مفكك الترميز.

في هذا الشكل الإشارة الأصلية هي  $x(n)$  والإشارة المتباينة هي  $\tilde{x}(n)$  وإشارية الخطأ هي  $d(n) = x(n) - \tilde{x}(n)$ . يجري تكمية هذه الإشارة فتحصل على  $\hat{d}(n)$  ثم نرمز هذه الإشارة برمزاً معيناً  $c(n)$ . عند المستقبل نستقبل  $c'(n)$  (المطابقة لـ  $c(n)$  في غياب أخطاء النقل) ونفك الترميز ونستعيد  $\hat{d}'(n)$  ثم نستعيد الإشارة  $\hat{x}'(n)$ .

### 2.3. ترميز التنبؤ الخطي

في غالب الأحيان، نتنبأ بقيمة العينة من تركيب خطى للعينات السابقة ونقول أن لدينا تنبؤ خطى .Linear prediction

$$\begin{aligned}\hat{x}(n) &= \tilde{x}(n) + \hat{d}(n) = P(\hat{x}(n)) + \hat{d}(n) \\ &= \sum_{i=1}^p a_i \hat{x}(n-i) + \hat{d}(n) \quad \Rightarrow \\ \hat{d}(n) &= \left( \hat{x}(n) - \sum_{i=1}^p a_i \hat{x}(n-i) \right) \quad \Rightarrow \\ \hat{D}(z) &= \hat{X}(z) \cdot A(z) \quad \text{where } A(z) = 1 - P(z) = 1 - \sum_{i=1}^p a_i z^{-i}\end{aligned}$$

تبين العلاقات التالية كيفية الترميز والاستعادة:

$$\hat{x}(-1) = \hat{x}(-2) = \dots = \hat{x}(-p) = 0$$

$$d(0) = x(0) \Rightarrow \hat{d}(0) = \hat{x}(0)$$

$$\tilde{x}(1) = P(\hat{x}(1)) = a_1 \hat{x}(0);$$

$$d(1) = x(1) - \tilde{x}(1); \Rightarrow \hat{d}(1)$$

$$\hat{x}(1) = \hat{d}(1) + \tilde{x}(1)$$

$$\tilde{x}(n) = P(\hat{x}(n)) = \sum_{k=1}^p a_k \hat{x}(n-k);$$

$$d(n) = x(n) - \tilde{x}(n); \Rightarrow \hat{d}(n)$$

$$\hat{x}(n) = \hat{d}(n) + \tilde{x}(n)$$

يتغير تباين إشارة الخطأ بتغير معاملات التنبؤ الخطي  $a_i$  ودرجة التنبؤ  $p$ . بحسب العلاقات:

$$\begin{aligned}\sigma_d^2 &= E[d^2(n)] = E[(x(n) - \tilde{x}(n))^2] \\ &= E\left[\left(x(n) - \sum_{k=1}^p a_k \hat{x}(n-k)\right)^2\right] \\ &= E\left[\left(x(n) - \sum_{k=1}^p a_k x(n-k) - \sum_{k=1}^p a_k q(n-k)\right)^2\right]\end{aligned}$$

حيث  $q(n)$  هو الخطأ الناتج عن التكمية أي إن:  $(x(n) + q(n)) = \hat{x}(n)$ . وبما أننا نود أن يكون خطأ التتبؤ أصغر ما يمكن (ومنه تبادل إشارة الخطأ أصغر ما يمكن)، لذلك يجب أن يكون المشتق الجزئي لتباين إشارة الخطأ بالنسبة لكل معامل تتبؤ  $a_i$ ,  $i = 1, 2, \dots, p$  معدوماً. أي:

$$\begin{aligned} \frac{\partial \sigma_d^2}{\partial a_j} &= -2 E \left[ \left( x(n) - \sum_{k=1}^p a_k (x(n-k) + q(n-k)) \right) (x(n-j) + q(n-j)) \right] = 0; \quad 1 \leq j \leq p \\ \Rightarrow E \left[ \left( x(n) - \sum_{k=1}^p a_k (x(n-k) + q(n-k)) \right) (x(n-j) + q(n-j)) \right] &= 0; \quad 1 \leq j \leq p \\ \Rightarrow E[x(n-j)x(n)] + E[q(n-j)x(n)] &= \sum_{k=1}^p a_k E[x(n-j)x(n-k)] \\ &\quad + \sum_{k=1}^p a_k E[q(n-j)x(n-k)] \\ &\quad + \sum_{k=1}^p a_k E[x(n-j)q(n-k)] \\ &\quad + \sum_{k=1}^p a_k E[q(n-j)q(n-k)] \end{aligned}$$

بما أن إشارة خطأ التكمية عشوائية وغير مترابطة مع الإشارة التي نكميّها، يمكننا أن نكتب ما يلي:

$$\begin{aligned} E[x(n-j)q(n-k)] &= 0; \quad \forall n, j, k \\ E[q(n-j)q(n-k)] &= \sigma_q^2 \delta(j-k) \\ E[x(n-j)x(n-k)] &= \phi(j-k) \end{aligned}$$

حيث  $\delta(j-k)$  يساوي 1 حين  $j = k$  وإلا فهو معدوم، و  $\phi(j)$  هوتابع الترابط الذاتي للإشارة  $x$  الذي يقيس مدى تشابه الإشارة مع نسخة مزاحة عنها  $x$  عينة. مما سبق يمكننا أن نكتب:

$$\phi(j) = \sum_{k=1}^p a_k [\phi(j-k) + \sigma_q^2 \delta(j-k)] \quad 1 \leq j \leq p$$

تشكل العلاقة السابقة مجموعة  $p$  معادلة بـ  $p$  معاملات التتبؤ. توجد طرق تسهل حل هذه المعادلات لاستنتاج معاملات التتبؤ منها. غالباً نستعيض عن تابع الترابط الذاتي  $\phi(j)$  بتابع الترابط المستنبط  $\rho(j) = \frac{\phi(j)}{\phi(0)} = \frac{\phi(j)}{\sigma_x^2}$  (حين تكون القيمة الوسطى للإشارة صفر وهذا محقق لغالب الإشارات) ومنا إشارة الصوت مثلًا، ويمكننا أن نكتب العلاقة المصفوفية التالية:  $\rho = C\alpha$  حيث

$$\mathbf{P} = \begin{bmatrix} \rho(1) \\ \rho(2) \\ \vdots \\ \rho(p) \end{bmatrix} \quad \mathbf{C} = \begin{bmatrix} \left(1 + \frac{1}{SNR}\right) & \rho(1) & \dots & \rho(p-1) \\ \rho(1) & \left(1 + \frac{1}{SNR}\right) & \dots & \rho(p-2) \\ \vdots & \vdots & \ddots & \vdots \\ \rho(p-1) & \rho(p-2) & \dots & \left(1 + \frac{1}{SNR}\right) \end{bmatrix} \quad \mathbf{a} = \begin{bmatrix} a_1 \\ a_2 \\ \vdots \\ a_p \end{bmatrix}$$

بقلب المصفوفة نحسب معاملات التنبؤ، ويكون عندها تباين إشارة الخطأ

$$\sigma_d^2 = \sigma_x^2 - \sum_{k=1}^p a_k \phi(k) = \sigma_x^2 \left[ 1 - \sum_{k=1}^p a_k \rho(k) \right]$$

$$\cdot \left( G_p \right)_{opt} = \frac{1}{1 - \sum_{k=1}^p a_k \rho(k)} \sigma_x^2 / \sigma_d^2 \text{ ربح التنبؤ وهو يساوي:}$$

في الحقيقة كلما كانت  $p$  أكبر زاد ربح التنبؤ وقل تباين الخطأ، ولكن يجب المقايضة بين جودة الإشارة المستعادة وتعقيد الحسابات. بالنسبة للإشارات الكلامية أفضل درجة تنبؤ تساوي تردد قطعية الإشارة بالكيلو هرتز مضافًا لها اثنان.

## 4. ترميز الخط

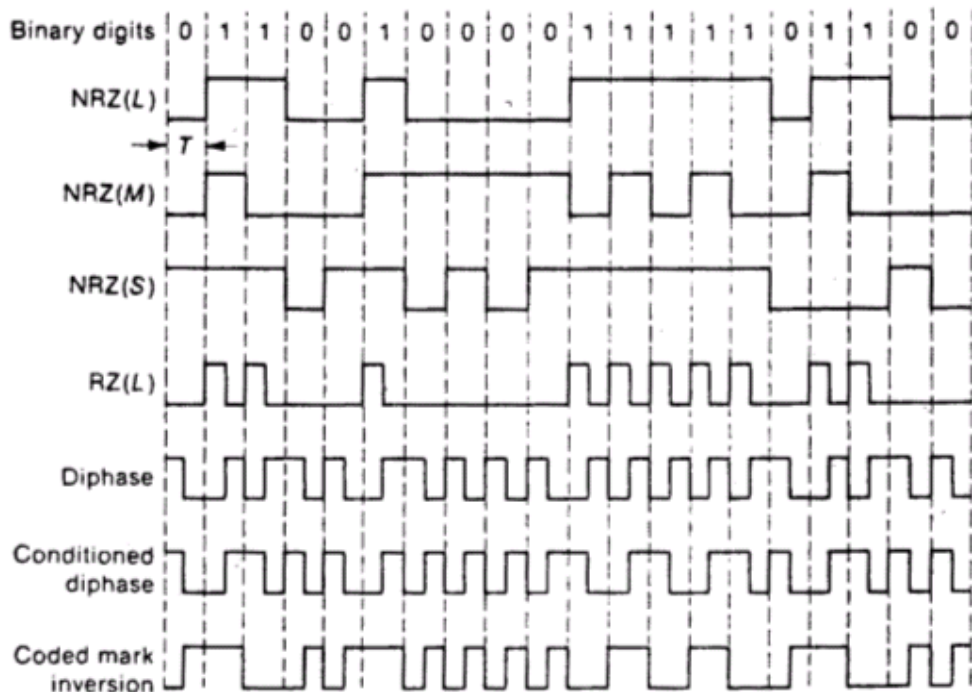
للإشارات الرقمية طيف عريض، ومعلوماتها الأساسية عند الترددات المنخفضة. يلزمنا قناة تمرير منخفض low pass channel لنقلها. يمكن ترميز الإشارات الرقمية للحصول على بعض المزايا المفيدة مثل:

- زيادة عدد التغيرات في الإشارة لتحسين تزامن البت
- إنقاص معدل الأخطاء باستعمال ترميز منيع لضجيج القناة
- إنقاص عرض طيف الإرسال باستعمال الإرسال المتعدد المستويات
- تشكيل طيف الإشارة المرسلة بالترشيح أو بالبعثرة لمواومة خواص القناة أو لتقليل التداخل بين القنوات

ت تكون المعطيات من أصفار ووحدان، ترسل بمعدل تدفق ببات  $R \text{ bits/s}$  حيث  $T_b = 1/R$  ثا هو زمن البت. حين يكون عرض حزمة قناة الاتصال عريضاً بقدر كافٍ نرسل البتات من دون تعديل إضافي، باستعمال ما يسمى ترميز الخط، وهو يرمز المعطيات بتمثيلها كهربائياً باستخدام إشارات مناسبة للإرسال على الكواكب. غالباً نستخدم إشارتين (أو شكلين موجيين)  $S_0(t)$  لإرسال البت صفر خلال زمن البت  $T_b$ ، و  $S_1(t)$  لإرسال البت واحد خلال الزمن نفسه.

#### ١.٤. التراميز الأحادية القطبية

تأخذ فيها الإشارة الكهربائية الممثلة للبتات إحدى قيمتين في كل لحظة. فيما يلي أنواع الترميز (التمثيل الكهربائي) الشائعة الاستعمال في الإرسال الثنائي الوحيد القطبية:



إشارات ترميز ثنائية.

في ترميز عدم العودة إلى الصفر non-return to zero NRZ مطال الإشارة ثابت خلال زمن البت وهذه القيمة هي 0 أو V. توجد عدة أنواع لا NRZ، NRZ(L) هو النوع الأبسط والأكثر شيوعاً، وهو يعطي فلطية معينة ثابتة للبت صفر وأخرى للبت واحد. NRZ(M) يحدث انتقال من مستوى إلى آخر عند كل ظهور للبت 1، يقابلها NRZ(S) الذي يحدث الانتقالات عند كل ظهور للبت 0. النوعان الأخيران يضيقان التزامن.

في ترميز العودة إلى الصفر RZ: يُمثل البت 1 ببنبضة موجبة عرضها نصف زمن البت  $T_b / 2$  أما البت 0 فيُمثل بمستوى منخفض دون أي تغيير.

في الترميز الثنائي الطور Diphase ويسمى أيضاً Manchester: يُمثل البت 1 ببنبضة موجبة متتالية بنبضة سالبة لهما المطال نفسه، ويساوي زمن كل منها  $T_b / 2$  وتعكس قطبية النبضتين في حال إرسال البت 0.

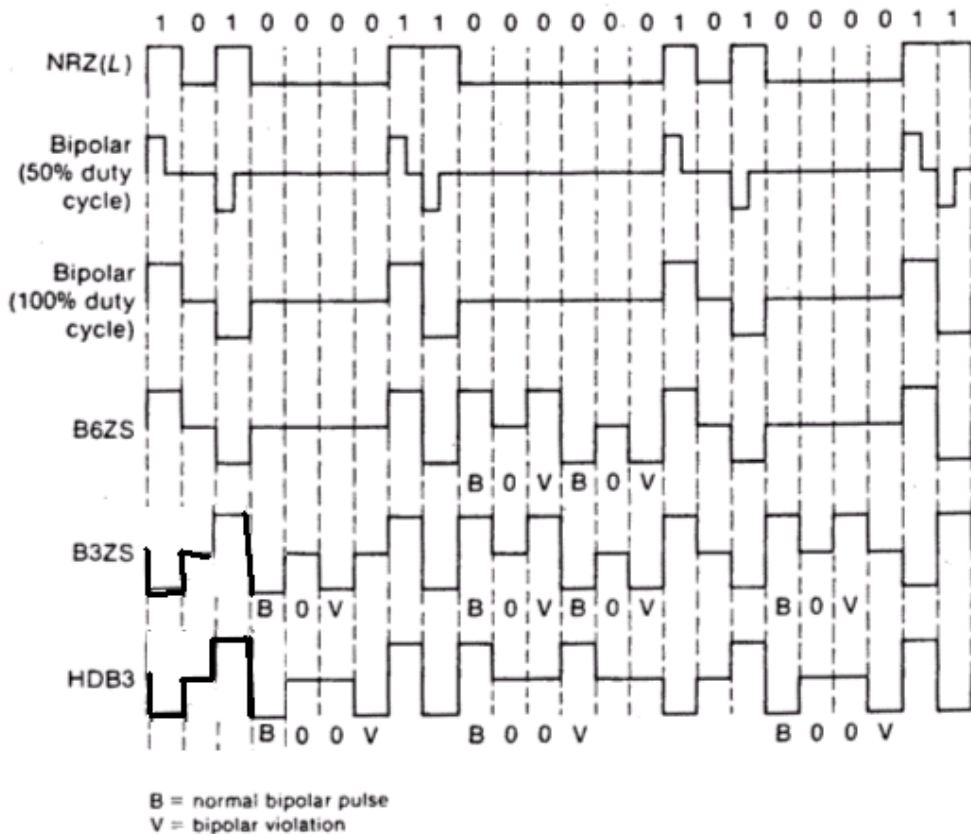
في الترميز الثنائي الطور الشرطي Conditioned diphase، يشبه السابق، يغير القطبية عند كل ورود للبت 1.

في الترميز Coded Mark inversion CMI، ترميز البت صفر ثابت منخفض عند خلال النصف الأول وعالي خلال النصف الثاني من زمن البت، أما البت 1 فيرمز بفاطية ثابتة خلال زمن البت وتتغير القطبية عند كل ورود للبت 1.

#### 4.2. التراميز الثانية القطبية

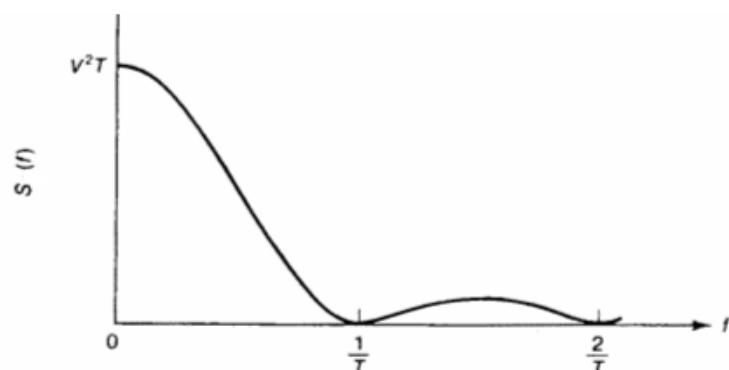
إذا أخذت الإشارة الممثلة للبيانات NRZ إحدى القيم 0 أو  $+V$  أو  $-V$  - كانت الإشارة ثنائية القطبية. في الترميز الثنائي القطبية Bipolar ويسمى أيضاً قلب العلامة بالتناوب (أو عكس العلامة) Alternate-Mark-Inversion (AMI) يُمثل البت 1 إما بـ  $+V$  أو  $-V$  - بالتناوب، أما البت 0 فُيُمثل بالمستوى 0. يمكن أن يكون AMI NRZ بدوره 50% duty cycle أو RZ بدوره 100% حيث الدورة هي نسبة عرض النبضة إلى مدة البت.

ويهدف تحسين الأداء، يمكن الاستعاضة عن تناول من الأصفار (يُوافق فاطية صفر خلالها) بتسلسل من تغيير الفاطية. الشكل التالي يبيّن بالإضافة إلى bipolar NRZ بدوره عمل 50% ثم 100% الترميز B6ZS الذي يستعيض عن كل تناول من ستة أصفار بالإشارة BOVBOV حيث يشير  $B$  إلى عكس القطبية السابقة و 0 إلى القيمة صفر و  $V$  إلى الاحتفاظ بالقطبية السابقة violation of (  $B$  يشير إلى تغيير القطبية). والترميز B3ZS الذي يستعيض عن كل تناول من ثلاثة أصفار bipolarity بـ  $BOV$ ، والترميز HDB3 الذي يستعيض عن كل تناول من أربعة أصفار بالإشارة BOOV. يُستعمل B6ZS في النظام المعياري T2 لمعدل تدفق  $6.312 Mb/s$ ، كما يُستعمل B3ZS في أمريكا الشمالية لمعدلات نقل  $44.736 Mb/s$ . ويُستعمل لمعدلات نقل  $139.264 Mb/s$  في أوروبا.

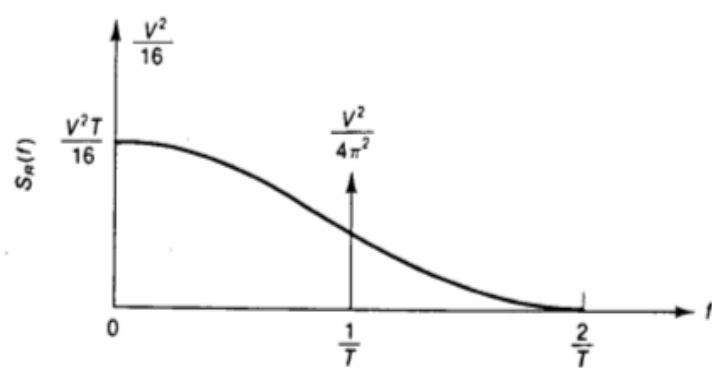


### إشارات الترميز Bipolar

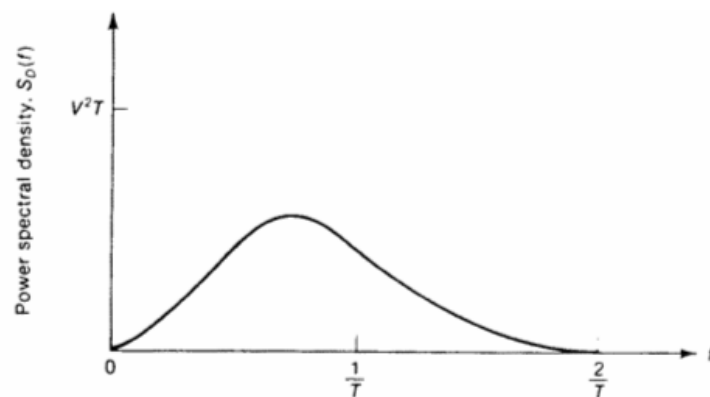
فإذا كان زمن البت  $T$  ، كان الطيف الذي تشغله الإشارات الناتجة عن ترميز الخط: RZ و NRZ والثنائي الطور diphase ومجموعة ترميز ثنائية القطبية. كما يلي:



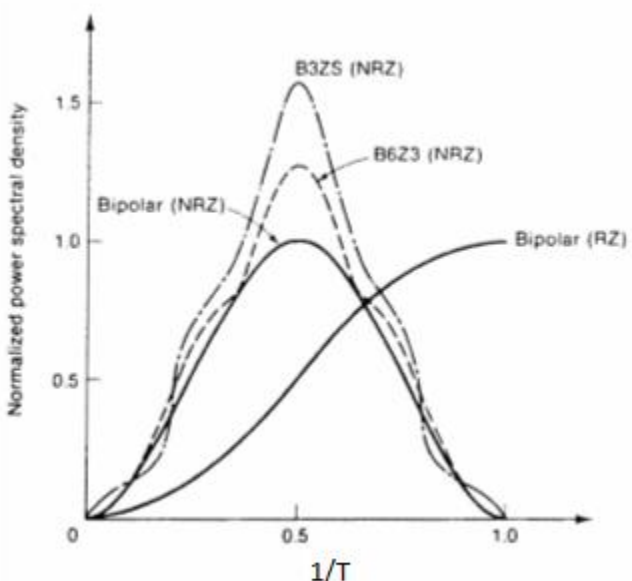
الكتافة الطيفية للاستطاعة لإشارة NRZ.



الكثافة الطيفية للاستطاعة لإشارة RZ.



تابع الكثافة الطيفية للترميز diphase



تابع الكثافة الطيفية لرامير bipolar

للأشكال الأربع المحور الأفقي يشير إلى التردد  $f$  والمحور الشاقولي إلى الكثافة الطيفية المستنيرة للاستطاعة.

تظهر الأشكال السابقة أن التراميز الثنائية القطبية هي الأفضل لأنها تشغّل طيفاً أضيق، ولا تنقل إشارة مستمرة (طيفها معدوم عند التردد صفر).

يجرى كشف الإشارات بوضع عتبات معينة ومقارنة الإشارات بها عند منتصف زمن البت. هذه العتبات تتعلق بمستويات الإشارة من جهة وباحتمالات إرسال الصفر والواحد من جهة أخرى.

#### ملاحظة:

حين لا يكون عرض قناة الاتصال عريضاً بقدر كافٍ لإرسال الإشارات المرمزة بترميز الخط عليه، نضطر لاستعمال تعديل تمرير حزمة، لنوائم طيف الإشارات المرسلة مع طيف القناة، وهذا ما سنراه في الفصل الرابع.

## تمارين محلولة

1. ارسم طيف إشارة PAM ناتجة من تعديل الإشارة ( $m(t) = A \cos(2\pi f_m t)$  بافتراض

$$\cdot T = 0.45s \quad f_m = 0.25Hz, \quad T_s = 1s$$

الحل:

طيف ( $M(f)$  نبضتان ديراك بمطال 0.5 عند الترددin  $f_m = 0.25Hz, -f_m = -0.25Hz$  مكرر

عند المضاعفات الصحيحة للتردد  $F_s = 1/T_s = 1Hz$  والناتج يُضرب بطيف النبضة المستطيلة

$$\cdot \sin c(0.45f)$$

2. لدينا إشارة  $x(t)$  القيم الثلاث الأولى للترابط الذاتي لها هي:

$R_0 = 1, R_1 = 0.7, R_2 = 0.4, R_3 = 0.1$ . ونريد استخدام متباين من الدرجة الثانية

احسب معاملات التنبؤ المثلث  $\tilde{x}(n) = a_1x(n-1) + a_2x(n-2)$  ثم احسب

$$\text{قيمة تباين الخطأ } d(n) = x(n) - \tilde{x}(n) \text{ وقيمة ربح التنبؤ.}$$

الحل:

نحسب قيم الترابط المستطظم فنجد  $\rho_1 = R_1/R_0 = 0.7, \rho_2 = R_2/R_0 = 0.3$  ونكتب المعادلة

المصفوفية:

$$\cdot a_i \quad i=1,2 \quad \begin{bmatrix} \rho_1 \\ \rho_2 \end{bmatrix} = \begin{bmatrix} 1 & \rho_1 \\ \rho_1 & 1 \end{bmatrix} \begin{bmatrix} a_1 \\ a_2 \end{bmatrix}$$

$$\sigma_d^2 = \sigma_x^2 - \sum_{k=1}^2 a_k \phi(k) = \rho_0^2 \left[ 1 - \sum_{k=1}^2 a_k \rho_k \right] \quad \text{تباین إشارة الخطأ}$$

$$\cdot \left( G_p \right)_{opt} = \frac{1}{1 - \sum_{k=1}^2 a_k \rho_k} \sigma_d^2 / \sigma_x^2 \quad \text{ربح التنبؤ وهو يساوي:}$$

تمارين للحل

١. نأخذ تابع أخذ العينات المثلثي من الإشارة ( $x(t) = \cos(2\pi 100 t) + \cos(2\pi 220 t)$ ) بتردد تقطيع  $F_s = 300Hz$ . ارسم طيف هذه الإشارة. وإذا مررنا الإشارة على مرشح تمريير منخفض مثلثي تردد قطعه  $F_c = 150Hz$ . ماهي المركبات التردية التي تظهر على خرج المرشح؟ علق على النتيجة.
  ٢. نطبق إشارة جيبية مطالها  $3.25V$  على دخل مكمّ منظم مستويات خرجه:  $0, \pm 1, \pm 2, \pm 3$ . ارسم خرج المكمي لدورة كاملة من إشارة الدخل الجيبية.
  ٣. أعد حل التمرين المحلول الثاني في حالة تتبؤ من الدرجة الثالثة.
  ٤. نرسل ترويسة في بداية كل اتصال مكونة من تكرار للبأيت  $10000001$  والمطلوب ارسم ترميز الخط باستعمال التراميز: B6ZS، Diphase، NRZ.

مذاكرة

١. يسمح التعديل النبضي بتضمين الإشارات بسهولة
  ٢. التعديل المطالي النبضي ضروري لتحقيق تعديل ترميز النبضة
  ٣. نفضل في ترميز الخط استعمال الترميز الذي يتضمن طيفه مركبة مستمرة
  ٤. نفضل في ترميز الخط استعمال الترميز الذي يحقق أكبر ثبات في المطال
  ٥. ترميز الخط NRZ هو الوحيد الذي يتضمن مركبة تزامن البت

1. ‘Digital and Analog Communication Systems’, 8<sup>th</sup> edition, by Leon W. COUSH II, Pearson Education International, 2013 ch3
  2. ‘Digital Communications: Fundamentals and Applications”, 2nd edition, by, Bernard SKLAR, Prentice Hall P T R, 2001 ch3
  3. محاضرات الاتصالات الرقمية لدكتورة دكاك في المعهد العالي

## حل المذاكرة

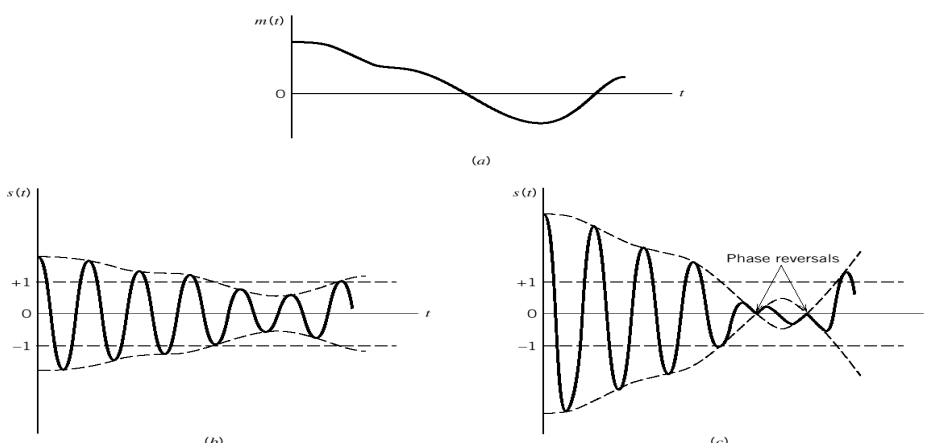
الإجابة	رقم السؤال
صح	<b>1.</b> يسمح التعديل النبضي بتضمين الإشارات بسهولة
صح	<b>2.</b> التعديل المطالي النبضي ضروري لتحقيق تعديل ترميز النبضة
خطأ (لا يتضمن مركبة مستمرة)	<b>3.</b> نفضل في ترميز الخط استعمال الترميز الذي يتضمن طيفه مركبة مستمرة
خطأ (تحقق أكبر قدر من النقلات في المطال لاستعادة التزامن)	<b>4.</b> نفضل في ترميز الخط استعمال الترميز الذي يتحقق أكبر ثبات في المطال
خطأ (RZ)	<b>5.</b> ترميز الخط NRZ هو الوحيد الذي يتضمن مركبة تزامن البت

# تعديل حزمة التمرين

## 1. ذكر التعديل التماضي

في التعديل التماضي، نأخذ إشارة حامل جيبية sinusoidal carrier signal يمكن أن تكون من الشكل  $s(t) = a \cos(2\pi f_c t + \phi)$ ، وإشارة معلومات تماضية  $m(t)$ ، ونعدل في إشارة الحامل بإحدى الأشكال التالية:

التعديل المطالي AM، نغير إشارة المطال بحسب إشارة المعلومات كأن يصبح المطال  $m(t)$  عوضاً عن  $a$  أو من الشكل  $a + k_a \cdot m(t)$  حيث  $k_a$  دليل التعديل إذا أردنا أن يكون ناتج التعديل المطالي موجياً دوماً يجب أن يكون  $|k_a \cdot m(t)| < 1$ .



في الشكل (a) إشارة المعلومات، (b) ناتج التعديل المطالي في حالة  $|k_a \cdot m(t)| < 1$ ، (c) ناتج التعديل المطالي في حالة  $|k_a \cdot m(t)| > 1$ ، لا يمكن استعادة الإشارة الأصلية بسهولة في الحالة (c).

- التعديل الزاوي: نغير زاوية الإشارة الحاملة بحسب إشارة المعلومات ويكون ناتج التعديل من الشكل  $s(t) = a \cos(\theta(t))$  حيث  $a$  مطال التردد الحامل، و  $\theta(t)$  تتبع إشارة المعلومات  $m(t)$ . حين تغير الزاوية بين لحظتين  $t$  و  $t + \Delta t$  نعرف التردد الوسطي على هذه الفترة بالعلاقة

$$f_{\Delta t}(t) = \frac{\theta(t + \Delta t) - \theta(t)}{2\pi \Delta t}$$

$$\begin{aligned} f_i(t) &= \lim_{\Delta t \rightarrow 0} f_{\Delta t}(t) \\ &= \lim_{\Delta t \rightarrow 0} \left[ \frac{\theta(t + \Delta t) - \theta(t)}{2\pi \Delta t} \right] \\ &= \frac{1}{2\pi} \frac{d\theta(t)}{dt} \end{aligned}$$

في غياب التعديل تكون  $\theta(t) = 2\pi f_c t + \phi$  ويكون التردد اللحظي ثابتاً ويساوي  $f_c$ . ثمة نوعان للتعديل الزاوي: التعديل التردددي وفيه يكون التردد اللحظي تابعاً لتغيرات إشارة المعلومات بالزمن أي:

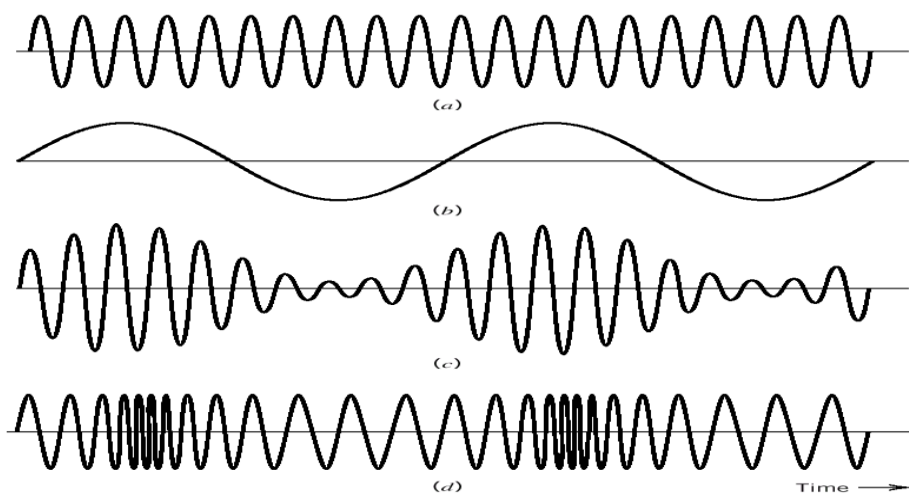
$f_i(t) = f_c + k_f m(t)$  والتعديل الطوري الذي تكون فيه الزاوية اللحظية تابعاً لإشارة المعلومات أي:

$$\theta_i(t) = 2\pi f_c t + k_p m(t)$$

نلاحظ أنه في حالة التعديل الترددية فإن الزاوية اللحظية تعطى بالعلاقة

$$\theta_i(t) = 2\pi f_c t + 2\pi k_f \int_0^t m(\tau) d\tau$$

الترددية لإشارة المعلومات يساوي التعديل الطوري لإشارة تكامل إشارة المعلومات. وبذلك يمكن استنتاج خواص أحد التعديلين من الآخر.



الشكل من الأعلى إلى الأسفل: إشارة حامل جيبي، إشارة معلومات، ناتج تعديل مطالي، وناتج تعديل ترددية.

نلاحظ أن:

$$m(t) = A_m \cos(2\pi f_m t)$$

$$f_i(t) = f_c + k_f A_m \cos(2\pi f_m t)$$

$$\theta_i = 2\pi \int_0^t f_i(\tau) d\tau = 2\pi f_c t + \frac{\Delta f}{f_m} \sin(2\pi f_m t)$$

نسمى  $\beta = \frac{\Delta f}{f_m}$  دليلاً التعديل، وحين يكون صغيراً نسمى التعديل ضيق الحزمة أما إذا كان كبيراً نسمى

التعديل عريض الحزمة.

## 2. تعديل حزمة التمرير للإشارات الرقمية

إن أغلب قنوات الاتصال هي من النوع تمرير مجال bandpass، وإرسال إشارات عبر مثل هذه القنوات، يجب إزاحة ترددات الإشارات الحاملة للمعلومات إلى المجال الترددي للقناة. في حالة النقل الرقمي على هذه القنوات، نجد نقل الإشارات الكهربائية التي تمثل البتات باستعمال إحدى طرق التعديل التماثلية:

- التعديل بزحجة المطال Amplitude Shift Keying (ASK) ويشبه التعديل المطال AM.
- التعديل بزحجة التردد Frequency Shift Keying (FSK) ويشبه التعديل الترددي FM.
- التعديل بزحجة الطور Phase Shift Keying (PSK) ويشبه التعديل الطوري PM.
- ويمكن استعمال أكثر من نوع من الأنواع السابقة معاً كما في حالة Quadrature Amplitude Modulation (QAM) الذي يجمع زحجة المطال وزحجة الطور الذي سنراه لاحقاً.

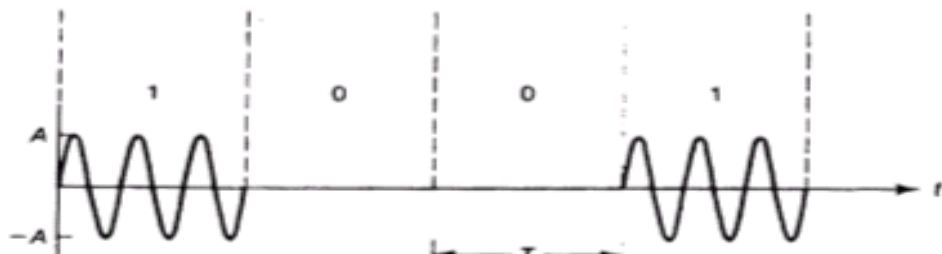
### 1.2. التعديل بزحجة المطال ASK و OOK

إحدى الطرق لتنفيذ ذلك: نولد إشارة المجال القاعدي كما ورد في الفصل الثالث، بتمرير المعلومات الرقمية ممثلة بنبضات ضيقة مطاراتها  $A_m$  (تعدد المستويات) عبر مرشح إرسال  $g_T(t)$  ، ثم نضرب الإشارة الناتجة بإشارة الحامل لنجعل على  $s_m(t) = A_m g_T(t) \cos(2\pi f_c t)$ . في حالة نقل البتات وبهدف الاستظام نفضل أن يكون:

$$g_T(t) = \begin{cases} \sqrt{2/T_b} & 0 \leq t \leq T_b \\ 0 & \text{otherwise} \end{cases}$$
$$\Rightarrow \int_0^{T_b} s_m^2(t) dt = A_m^2$$

حيث  $T_b$  زمن البت.

في الحالة الخاصة التي يكون فيها  $A_1 = A$  و  $A_0 = 0$  نسمى النظام On Off Keying OOK (الإبادال بالوصل والفصل)، وكأننا نمرر الحامل عند إرسال نوع من البتات ونفصله النوع الآخر. إرسال Morse اللاسلكي يستعمل هذا النوع من التعديل. انظر الشكل التالي الذي يبين إرسال سلسلة البتات 1001 بالتعديل OOK:



مثال على إشارة OOK.

## 2.2. التعديل بزحجة الطور الثنائي (DPSK) والتعديل بزحجة الطور التفاضلي (DPSK)

في حالة التعديل بزحجة الطور الثنائي (BPSK) Binary PSK نرسل طورين مختلفين للبت صفر وللبت واحد.

$$s(t) = \pm A \cos(2\pi f_c t)$$

$$s_j(t) = A \cos(2\pi f_c t + \varphi_j) \quad \varphi_j = 0 \text{ or } \pi$$

ويمكن أن يكون شكل الإشارة لسلسلة البتات 1001 كما يلي:



مثال على إشارات PSK الثنائية.

أما في حالة التعديل بزحجة الطور التفاضلي (DPSK): فلا يتغير طور الإشارة في حال إرسال البت 1 في حين يُزاح بمقدار 180 درجة عند كل إرسال للصفر. وهذا يسهل عملية الكشف بمقارنة الطور الحالي بطور الرمز السابق (البت السابق)، فإن تساوا فالرمز 1 وإلا فهو 0.

## 3.2. التعديل بزحجة التردد FSK

نرسل ترددًا للبت صفر وترددًا مختلفاً للبت واحد خلال زمن البت:

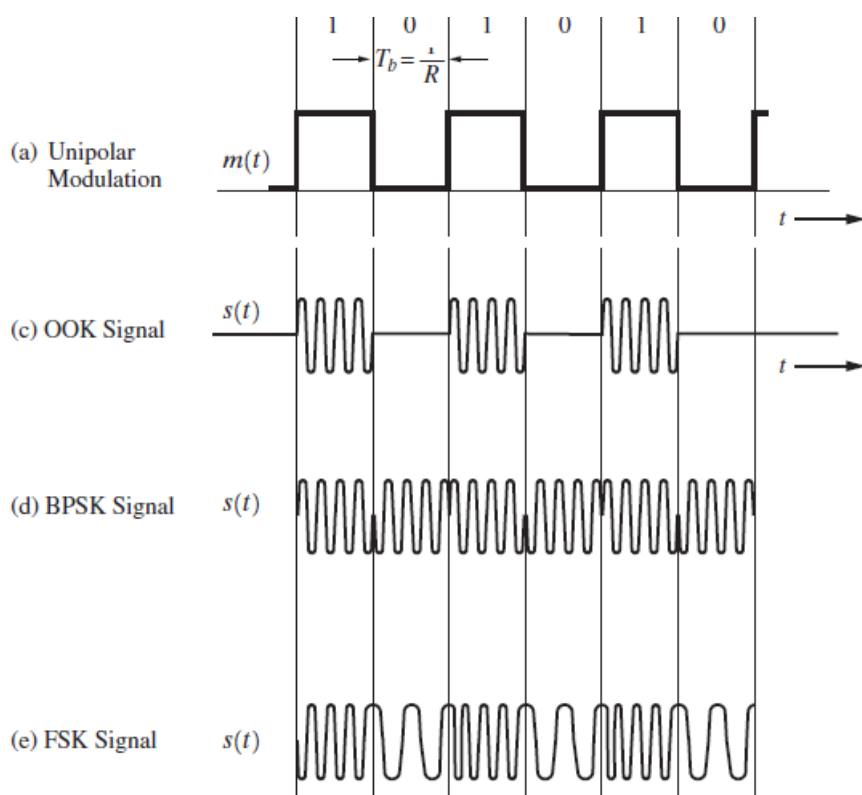
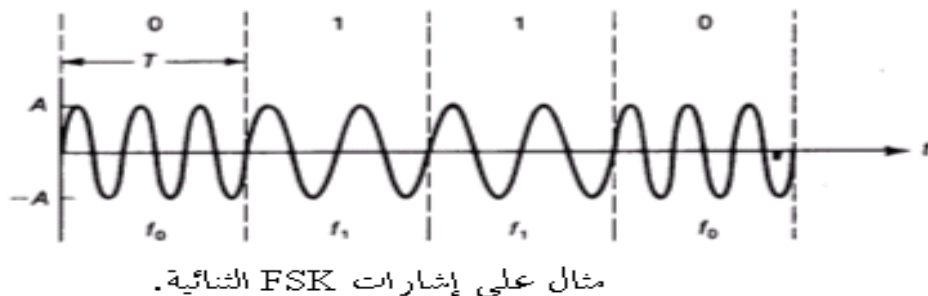
$$s_0(t) = A \cos(2\pi f_0 t) = A \cos 2\pi(f_c - \Delta f)t \quad \text{for } 0$$

$$s_1(t) = A \cos(2\pi f_1 t) = A \cos 2\pi(f_c + \Delta f)t \quad \text{for } 1$$

وكما في حالة التعديل التردد التماثلي، فإن عرض المجال اللازم لإرسال هذه الإشارة هو:

$$B_T = \begin{cases} 2\Delta f & \text{when } \Delta f \gg B \\ 2B & \text{when } \Delta f \ll B \end{cases}$$

يبين الشكل التالي مثلاً على إشارة ثنائية توافق سلسلة البتات 0110 ، معدلة FSK:



(شكل يمكن أن يكون بديلاً عن الأشكال الثلاثة السابقة).

### 3. التعديل المتعدد المستويات

ناقشنا حالة تمثيل معطيات الثنائية. ونظراً لمحدودية المجال الترددلي لقنوات الإرسال، يمكن زيادة معدل تدفق البتات بزيادة عدد مستويات الإرسال.

#### 1.3. تعديل ASK المتعدد المستويات

نفترض لدينا إشارة متعددة المطالات بـ  $M$  مستوى، يمكن أن يمثل كل منها  $\log_2 M$  بتاً. يمكن أن نكتب:

$$s_m(t) = A_m \cdot g(t), \quad 0 \leq t \leq T, \quad m = 0, 1, \dots, M-1$$
$$g(t) = \begin{cases} \sqrt{1/T} & 0 \leq t \leq T \\ 0 & otherwise \end{cases}$$

يمكن بحالة خاصة، أن تكون المستويات متباudeة تباعداً منتظماً بحيث

$$A_m = (2m - M + 1)d, \quad m = 0, 1, \dots, M-1$$

على سبيل المثال، يمكن أن نأخذ  $M = 4$ ، وتبعاً منتظماً بين المستويات؛ فتكون المستويات الأربع على مثلاً:

$$\{A_m\} = \{-3d, -d, d, 3d\}$$

كل مستوى يمثل بتين على التالى:

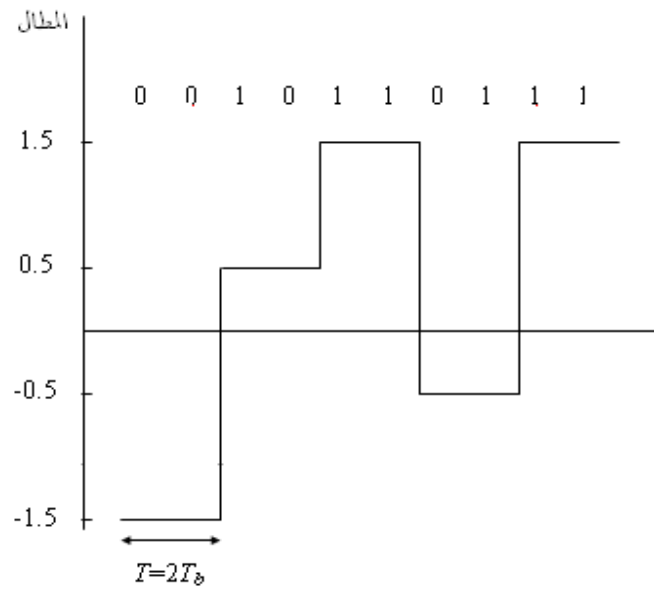
$$00 \rightarrow s_0(t)$$

$$01 \rightarrow s_1(t)$$

$$10 \rightarrow s_2(t)$$

$$11 \rightarrow s_3(t)$$

فإذا أردنا إرسال سلسلة البتات 0010110111 فهي تتوافق بإرسال الرموز  $s_0s_2s_3s_1s_3$  على التالى ويكون لدينا:

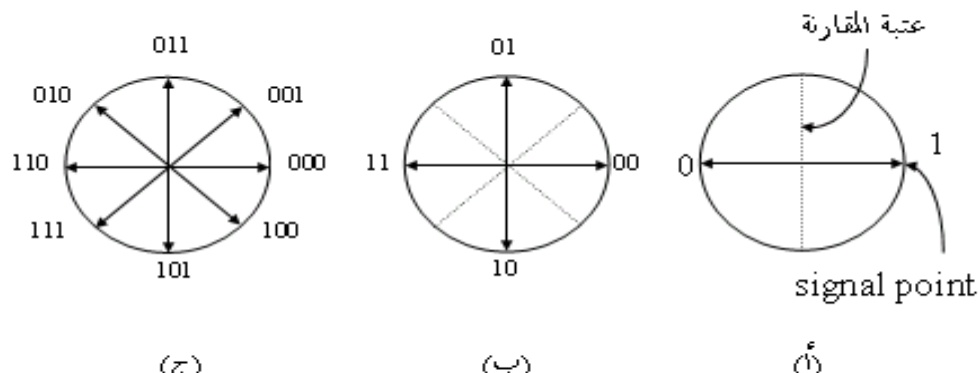


زمن الرمز يوافق ضعف زمن البت في هذه الحالة. ضرب هذه الإشارة بإشارة حامل جيبية ينتج إشارة ASK متعددة المستويات.

### 2.3. التعديل بـ زححة الطور المتعدد المستويات MPSK

نستعمل طوراً مختلفاً لكل مستوى (كل رمز)  $s_n(t) = A \cos(2\pi f_c t + \theta_n)$  ، نستعمل عملياً أطواراً متباudeة بانتظام بحيث:

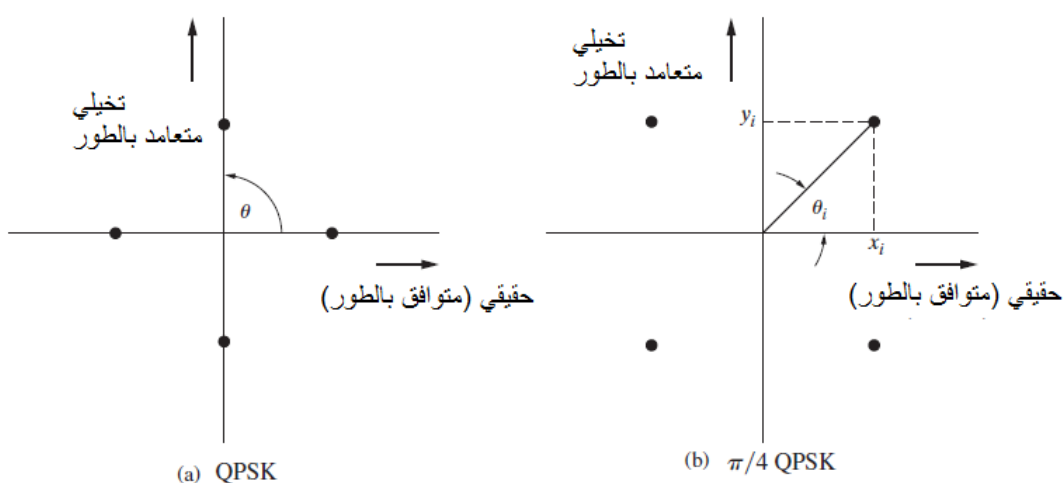
$$\theta_n = \frac{2(n-1)\pi}{M} \quad n = 1, 2, \dots, M$$



المخطط الطوري لإشارات BPSK و 4-PSK و 8-PSK

يبين الشكل السابق التعديل الثنائي بحرجة الطور بليه تعديل طوري بأربعة مستويات كل مستوى يمثل بتين، ثم تعديل طوري بثمانية مستويات وكل مستوى يمثل ثلاث بتات. الجدير بالذكر أن ترميز البتات ضمن الرموز يكون بحيث يختلف كل رمزين متتاليين ببت واحد، وبذلك ينعكس خطأ الرمز حين خطئ الكشف ونأخذ رمزاً مجاوراً بخطأ بت واحد فقط.

في حالة  $M = 4$  يمكن أن يكون طور الرموز  $0^\circ, 90^\circ, 180^\circ, 270^\circ$  كما يمكن إضافة  $45^\circ$  إلى كل من الأطوار الأربع لتصبح  $45^\circ, 135^\circ, 225^\circ, 315^\circ$  هذان النظامان متكافئان ونرمز لهما بـ "تعديل بحرجة الطور التربيعي (المتعامد) QPSK". انظر الشكل التالي



يمكن كتابة إشارات الرموز بطريقة أخرى كما يلي:

$$s_n(t) = A \cos(2\pi f_c t + \theta_n) \quad 0 < t < T$$

$$s_n(t) = A[\cos(2\pi f_c t) \cos(\theta_n) - \sin(2\pi f_c t) \sin(\theta_n)]$$

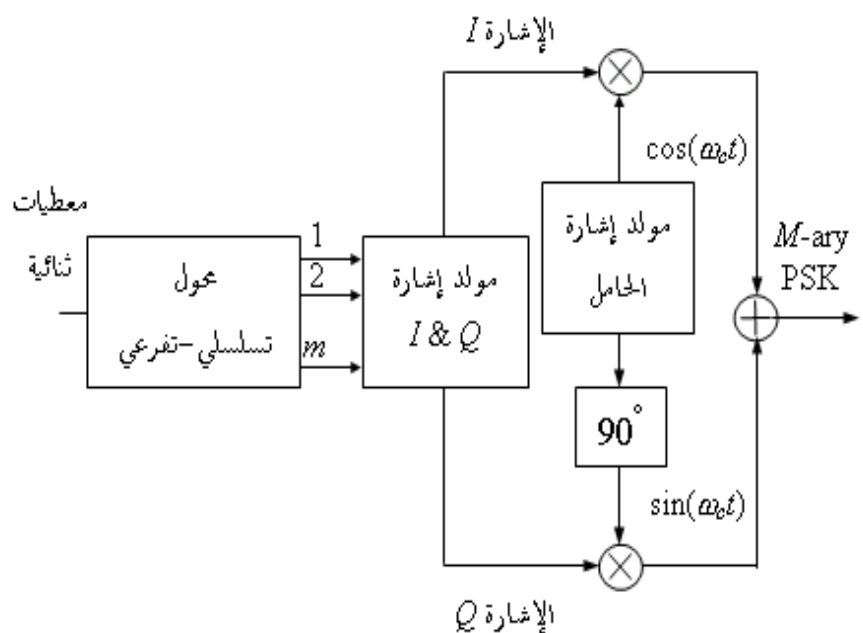
ويمكن توليد هذه الإشارات بطريقة متعامدة بحيث نولد الإشارة الحاملة  $\cos(2\pi f_c t)$  والإشارة المتعامدة معها  $\sin(2\pi f_c t)$  ويضرب كل منها بالمعامل المناسب:

$$s_n(t) = A[p_n \cos(2\pi f_c t) - q_n \sin(2\pi f_c t)] \quad 0 < t < T$$

$$p_n = \cos \theta_n$$

$$q_n = \sin \theta_n$$

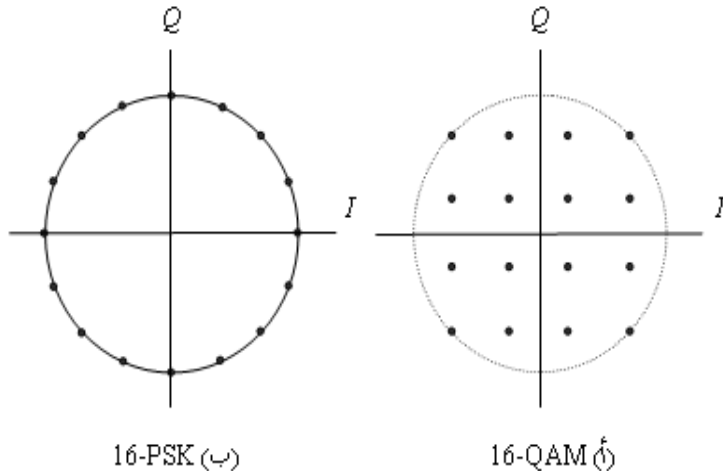
يبين الشكل التالي كيفية توليد هذه الإشارات:



المخطط الصندوقي للبنية العامة لـ  $M$ -ary PSK

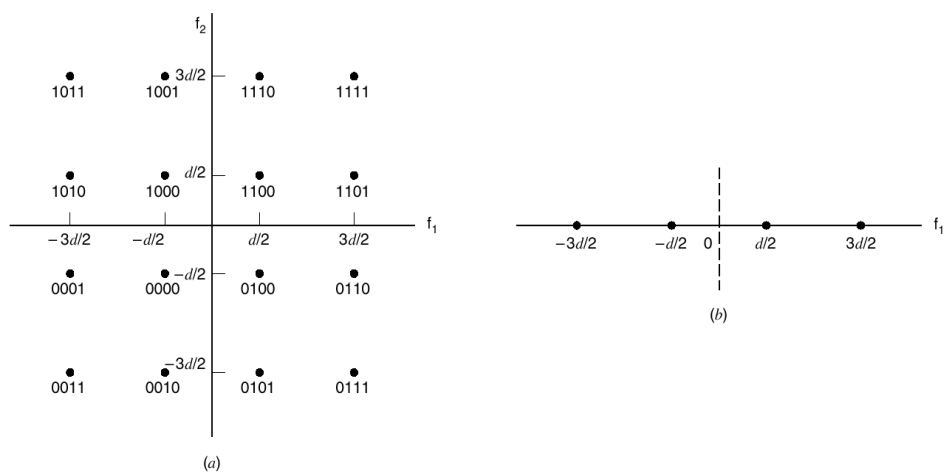
### 3.3. تعدل QAM المتعدد المستويات

نعم مبدأ التعديل التعامدي (التربيعي) ليحتوي على تعديل مطالي وطوري بآن واحد Quadrature Amplitude Modulation QAM حيث  $p_n^2 + q_n^2 = 1$ . حيث لا تتحقق الخاصية  $p_n \cdot q_n = 0$ .

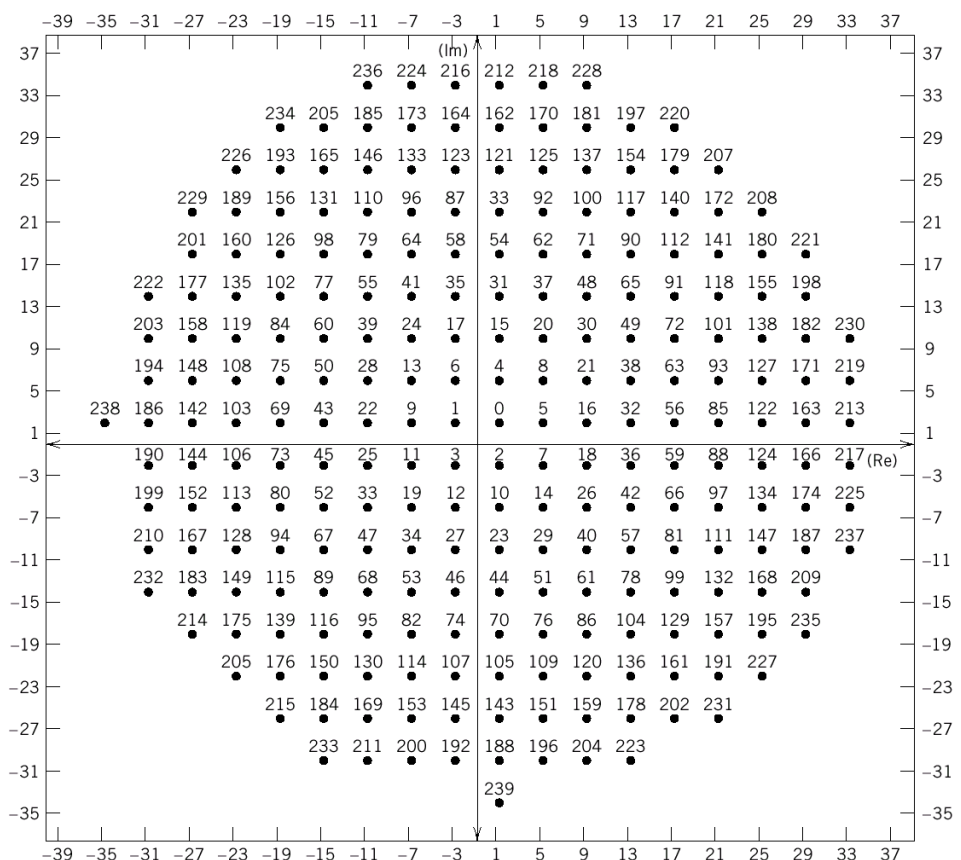


مقارنة خطط الإشارات القطبية بين نظام 16-QAM و 16-PSK.

يبين الشكل السابق ما يسمى بالمخطط النجمي constellation للترميزين 16-PSK و 16-QAM. وهذا نلاحظ أن لدينا ثلاثة قيم مختلفة للمطال، و 12 قيمة مختلفة للطور تمثل 16 رمزاً مختلفاً وبالتالي كل رمز يمثل 4 بات. مرة أخرى ترمز الباتات ضمن الرموز بالأأخذ بالاعتبار ضرورة أن يكون الاختلاف أصغرياً في باتات الرموز المجاورة:



وهذا التعديل هو الأكثر شيوعاً. على سبيل المثال، المودم الذي ينقل 56 كيلو بت في الثانية وفق التوصية V34 للاتحاد الدولي للاتصالات ITU، يرسل 240 إشارة مختلفة، يُستعمل بعضها للتزامن. يبين الشكل التالي المخطط النجمي للإشارات، وهنا نكتب القيمة العشرية للرمز التي تستخرج منها البتات حيث تمثل رموز البتات المفيدة سبع بتابت لكل رمز:



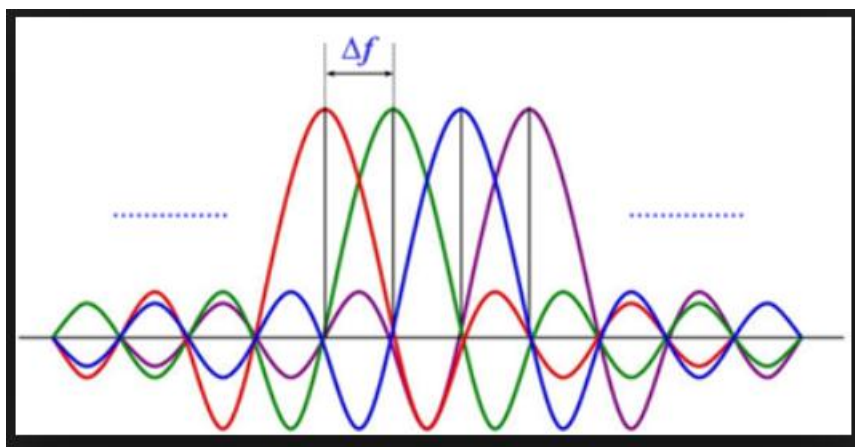
#### 4. التنضيد باقتسام الترددات المتعامدة OFDM

هو تقنية لإرسال المعطيات على التوازي باستعمال عدد كبير من الحوامل التردية، المتبااعدة بقدر كافٍ بحيث تكون متعامدة.

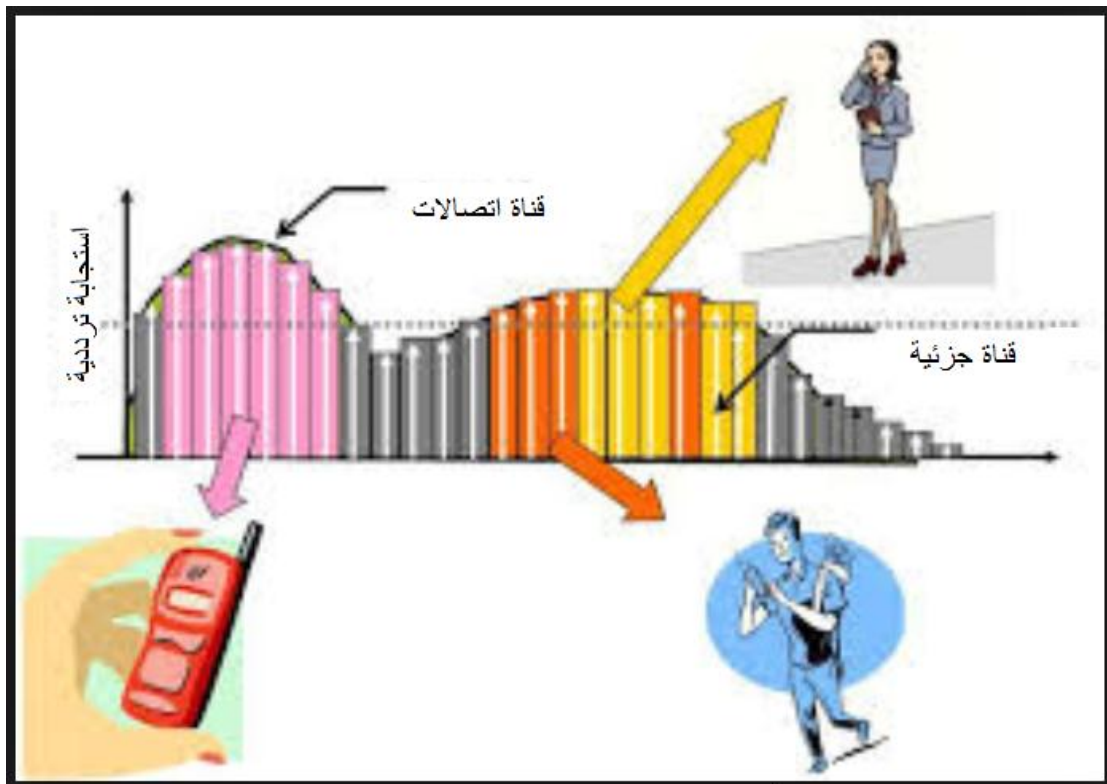
نقول عن تابعين  $\varphi_n(t)$ ,  $\varphi_m(t)$  أنهما متعامدان على المجال  $a < t < b$  إذا حققا الشرط:

$$\int_a^b \varphi_n(t) \varphi_m^*(t) dt = 0 \text{ where } n \neq m$$

مدة رمز المعطيات  $T$  والتبعاد بين أي ترددتين متتاليتين من ترددات الحوامل  $1/T$ ، وهذا يضمن التعامد لهذه الحوامل. وبسبب تعامد الحوامل فإن المعطيات على أي حامل لا تتدخل مع معطيات الحوامل الأخرى. انظر الشكل الذي يبين تعامد الحوامل:



يساعد OFDM في التغلب على مشاكل قناة الاتصال ذات الاستجابة التردية غير المنتظمة، إذ يحمل كل جزء من المعطيات على حامل ضيق يمكن اعتبار القناة منتظمة الاستجابة التردية عليها.



الشكل: قناة الاتصالات وقنوات الحوامل الجزئية المختلفة.

يعبر رياضياً عن الحامل الترددية الجزئي بإشارة عقدية من الشكل:

$$S_c(t) = A_c e^{j[\omega_c t + \varphi_c(t)]} \quad (1)$$

ونكون إشارة الحامل الحقيقي هي الجزء الحقيقي من الإشارة  $S_c(t)$ . يجري تعديل كل من مطال إشارة الحامل  $A_c(t)$  وطورها  $\varphi_c(t)$  تبعاً لقيمة الرمز المرسل (إشارة المعلومات المعدلة). ويكون هذا التغير ثابتاً على طول الفترة  $T_{sym}$  (طول رمز الا OFDM).

أما إشارة الا OFDM، والمكونة من مجموع  $N$  حاملاً ترددية جزئياً فيعبر عنها بإشارة عقدية مستمرة من الشكل:

$$S_S(t) = \frac{1}{\sqrt{N}} \sum_{k=0}^{N-1} A_k(t) e^{j[\omega_k t + \varphi_k(t)]} \quad (2)$$

حيث  $\omega_k = \omega_0 + k \Delta \omega$  ، فإذا افترضنا أن هذه الإشارة تمتد على زمن رمز واحد  $T_{sym}$  فيمكن أن نكتب:

$$\cdot \varphi_k(t) \Rightarrow \varphi_k \quad \text{و} \quad A_k(t) \Rightarrow A_k$$

بفرض  $T = T_{sym}/N$  (حيث  $N$  هو عدد العينات المأخوذة من الإشارة خلال فترة زمن الرمز)، فإنه يمكن تمثيل الإشارة الناتجة عن أخذ عينات من الإشارة  $S(t)$  بتردد تقاطع مساواً لـ  $1/T$  بالشكل التالي:

$$S_S(nT) = \frac{1}{\sqrt{N}} \sum_{k=0}^{N-1} A_k e^{j[(\omega_0 + k\Delta\omega)nT + \varphi_k(t)]} \quad (3)$$

بفرض  $\omega_0 = 0$  فإنه يمكن تبسيط المعادلة (3) بالشكل التالي:

$$S_S(nT) = \frac{1}{\sqrt{N}} \sum_{k=0}^{N-1} (A_k e^{j\varphi_k}) \cdot e^{j(k \cdot \Delta\omega)} \quad (4)$$

وباعتبار أن الشكل العام لتحويل فورييه السريع العكسي IFFT يعطى بالعلاقة التالية:

$$g(nT) = \frac{1}{\sqrt{N}} \sum_{n=0}^{N-1} X(k) e^{\frac{j2\pi nk}{N}} \quad (5)$$

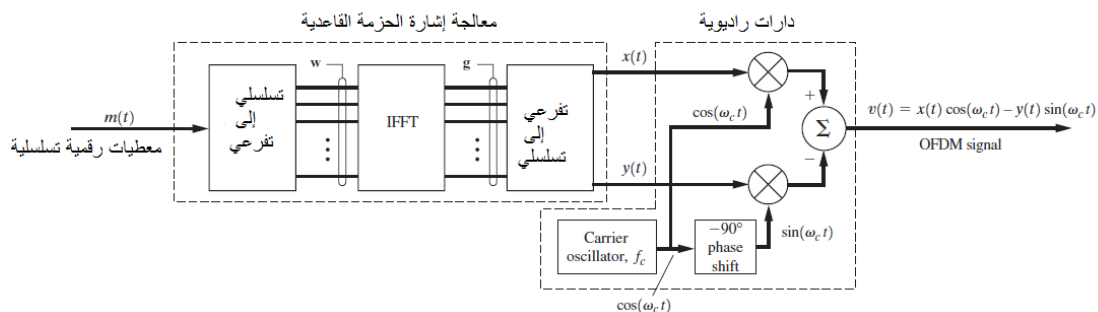
وبمقارنة العلاقة (4) مع العلاقة (5) نلاحظ أن التابع  $A_k e^{j\varphi_k}$  ما هو إلا تعريف، في المجال الترددية، لإشارة المعطيات  $\{X(k)\}_{k=0}^{N-1}$ . وأن  $S_S(nT)$  ما هو إلا التمثيل الزمني لإشارة المعطيات هذه.

تكون المعادلتان (4) و(5) متكافئتين إذا تحقق الشرط التالي:

$$\Delta f = \frac{\Delta\omega}{2\pi} = \frac{1}{NT}$$

وهو الشرط المطلوب لتحقيق التعامدية.

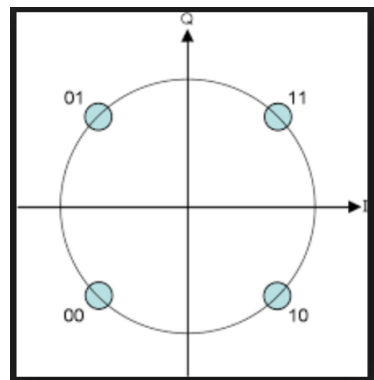
إذاً عند تحقيق التعامدية بين الحوامل الجزئية في إشارة الـ OFDM فإنه يمكن توليد إشارة الـ OFDM باستخدام إجرائيات تحويل فورييه السريع العكسي IFFT.



يستعمل OFDM في نظم البث الرقمي للإذاعة والتلفزيون في أوروبا، وفي بعض مودمات الخطوط الهاتفي (خط مشترك رقمي غير منتظر ADSL)، وفي شبكات الحواسيب اللاسلكية العريضة الحزمة .  
ويجدر الذكر أن الجيل الرابع للاتصالات النقالة (الجيل المستقبلي للاتصالات النقالة) يعتمد على تقنية OFDM.

## تمرين محلول

يمكن النظر إلى التعديل QPSK الذي يعطى مخططه النجمي بالشكل التالي:



كما يلي:

$$s_1 = "11" = \cos \pi / 4 + j \sin \pi / 4$$

$$s_1 = "01" = \cos 3\pi / 4 + j \sin 3\pi / 4 = -\cos \pi / 4 + j \sin \pi / 4$$

$$s_1 = "00" = \cos 5\pi / 4 + j \sin 5\pi / 4 = -\cos \pi / 4 - j \sin \pi / 4$$

$$s_1 = "10" = \cos 7\pi / 4 + j \sin 7\pi / 4 = \cos \pi / 4 - j \sin \pi / 4$$

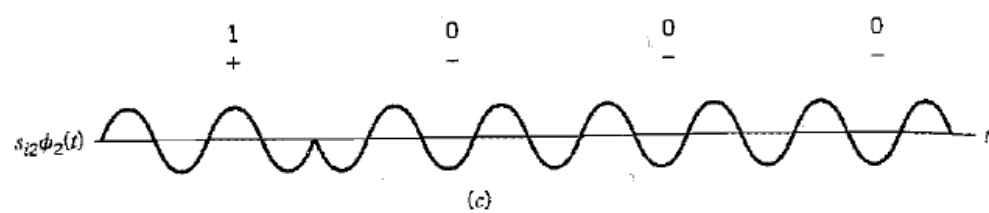
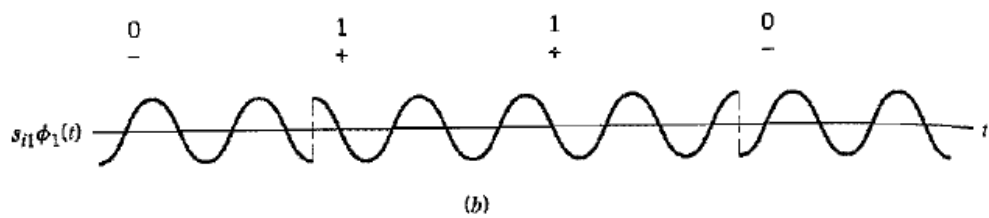
حين تكون البت الأدنى دالة 1 يكون لدينا  $\cos$  وحين تكون 0 يكون لدينا  $-\cos$   
و حين تكون البت الأعلى دالة 1 يكون لدينا  $\sin$  وحين تكون 0 يكون لدينا  $-\sin$ .  
لدينا تسلسل البتات 01101000 بدءاً من اليسار أعط تسلسل الإشارات الموافقة للبت الأدنى دالة  
والبت الأعلى دالة ثم استنتج تعديل QPSK للبتات.

الحل:

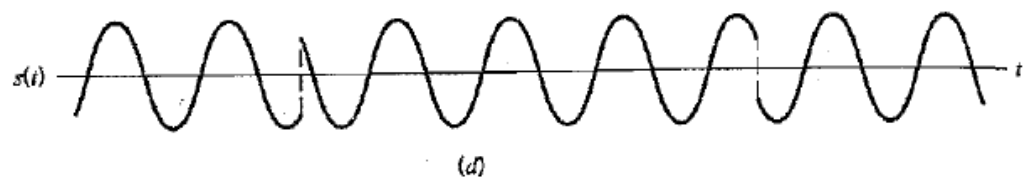
عند تقسيم سلسلة البتات إلى ثنائيات يكون لدينا 00 10 10 01 و تكون البتات الأعلى بدءاً اليسار  
هي البتات ذات الترتيب الزوجي وهي 0 0 1 0 والبتات الأدنى دالة هي البتات ذات الترتيب الفردي  
0 1 1 0 والإشارات الموافقة لها على الترتيب:

Input binary sequence	$0 \xrightarrow{\quad}$	$1 \xrightarrow{\quad}$	$1 \xrightarrow{\quad}$	$0 \xrightarrow{\quad}$	$1 \xrightarrow{\quad}$	$0 \xrightarrow{\quad}$	$0 \xrightarrow{\quad}$
	Dabit 01	Dabit 10	Dabit 10	Dabit 10	Dabit 00		

(a)



وبجمع هذه الإشارات إلى بعضها لكل رمز نحصل على إشارة QPSK المطلوبة:



الجدير بالذكر يمكن استنتاج الرسم الأخير مباشرة بضم الإشارات:

$$\cos(\omega t + \theta_i), \quad i = 1, 2, 3, 4$$

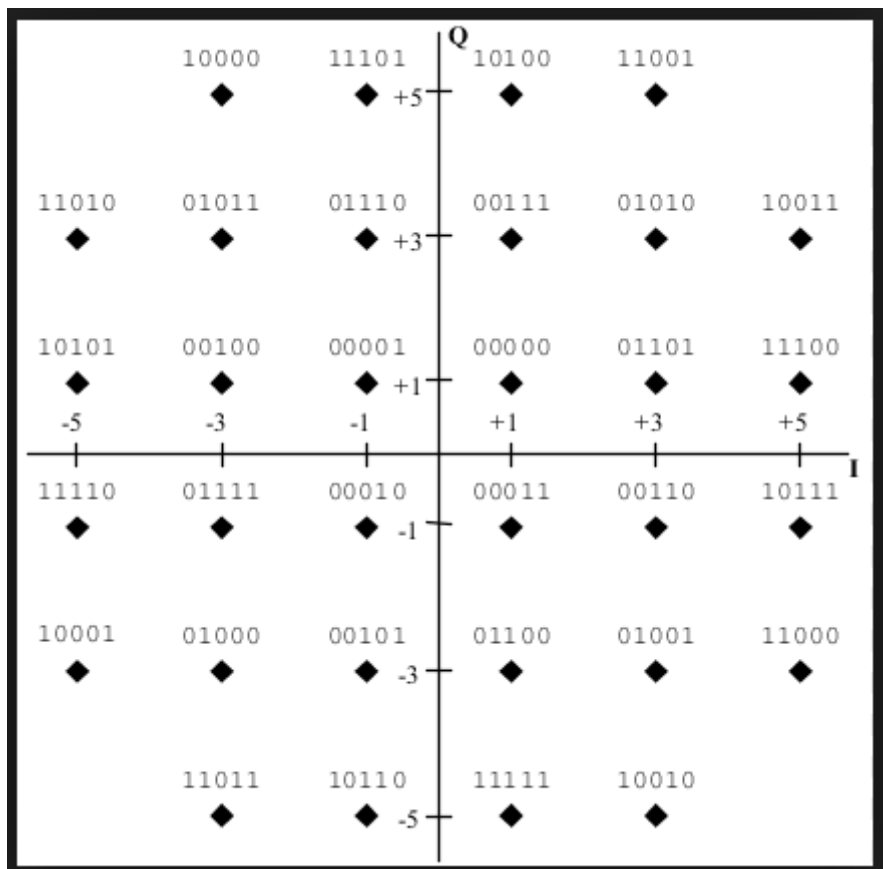
$$\theta_1 = 3\pi/4$$

$$\theta_2 = \theta_3 = 7\pi/4$$

$$\theta_4 = 5\pi/4$$

## تمارين للحل

نفترض أننا نرسل الإشارة الصوتية المرمزة بحيث يكون معدل النقل 4800bps باستخدام خط الهاتف.  
نعدل المعطيات الصوتية باستخدام QAM 32 بالمخطط النجمي التالي:



- 1.** ماعدد الرموز المرسلة بالثانية؟...استنتج عدد المطالات المختلفة والطوار المختلفة..  
والترددات المختلفة في هذه الحالة؟
- 2.** ما قيمة أصغر مطال؟..وما قيمة أطول مطال؟.
- 3.** استقبلنا إحدى الإشارات وكان مطالها أصغرياً ولكننا لم نتمكن من كشف الطور. ما البتات التي يمكن أن تكون قد أرسلت؟...وما نسبة البتات التي أنت متأكد من كشفها بشكل صحيح والبتات التي تشك في قيمها؟

مذكرة

1. يستعمل التعديل OFDM في الاتصالات النقالة
  2. التعديل بحزحة الطور الثنائي BPSK أكثر سهولة في الكشف من DPSK
  3. التعديل بإزاحة التردد المتعدد المستويات يتطلب أكبر عرض حزمة للإرسال
  4. في التعديل QAM يستعمل ترددًا حاملاً وحيداً
  5. التعديل QAM هو المستخدم في المودمات الهاتفية ذات السرعات العالية
  6. التعديل MPSK أفضل من التعديل QAM من حيث معدل الخطأ

1. ‘Digital and Analog Communication Systems’, 8<sup>th</sup> edition, by Leon W. COUSH II, Pearson Education International, 2013 ch4
  2. ‘Digital Communications: Fundamentals and Applications”, 2nd edition, by, Bernard SKLAR, Prentice Hall P T R, 2001 ch4

## حل المذاكرة

رقم السؤال	الإجابة
<b>1.</b> يستعمل التعديل OFDM في الاتصالات النقالة	صح
<b>2.</b> التعديل بحزقة الطور الثاني BPSK أكثر سهولة في الكشف من DPSK	خطأ  العكس لأن الثاني لا يتطلب كشف الطور وإنما يقارن فقط بين الرمز والرمز السابق.
<b>3.</b> في التعديل QAM نستعمل ترددًا حاملاً وحيداً	صح
<b>4.</b> التعديل بإزاحة التردد المتعدد المستويات يتطلب أكبر عرض حزمة للإرسال	صح
<b>5.</b> التعديل QAM هو المستخدم في المودمات الهاتفية ذات السرعات العالية	صح
<b>6.</b> التعديل MPSK أفضل من التعديل QAM من حيث معدل الخطأ	خطأ  العكس لأن التعديل QAM يستفيد من كامل سطح دائرة المخطط النجمي وأن MPSK فيستفيد من المحيط فقط

## أداء نظام الاتصالات بوجود الضجيج

بعد تعديل إشارات الاتصالات وإرسالها عبر قنوات الاتصالات، تتعرض هذه الإشارات إلى منغصات من ضجيج وضياعات وغيرها. نعرف إشارات الاستطاعة بأنها الإشارات التي تتضمن استطاعة محدودة، وبما أن الطاقة هي تكامل الاستطاعة فهذه الإشارات ذات طاقة لا نهائية. كما نعرف إشارات الطاقة بأنها الإشارات التي تتضمن طاقة محدودة. إشارات الاتصالات التماثلية هي إشارات استطاعة. أما في حالة إشارات الاتصالات الرقمية فإننا نستقبل رموزاً ذات طاقة وسطى محدودة نرمز لها  $E_b$  ، ونقيس أداء النظم بحسب النسبة  $E_b / N_0$  حيث  $E_b$  هي الطاقة الوسطى للبت ووحدتها Joule و  $N_0$  هي ضعف الكثافة الطيفية لاستطاعة الضجيج ووحدتها Watt/Hertz وبالتالي ناتج قسمتهما سيكون بلا أبعاد.

## 1. احتمال الخطأ في نظام اتصالات رقمي

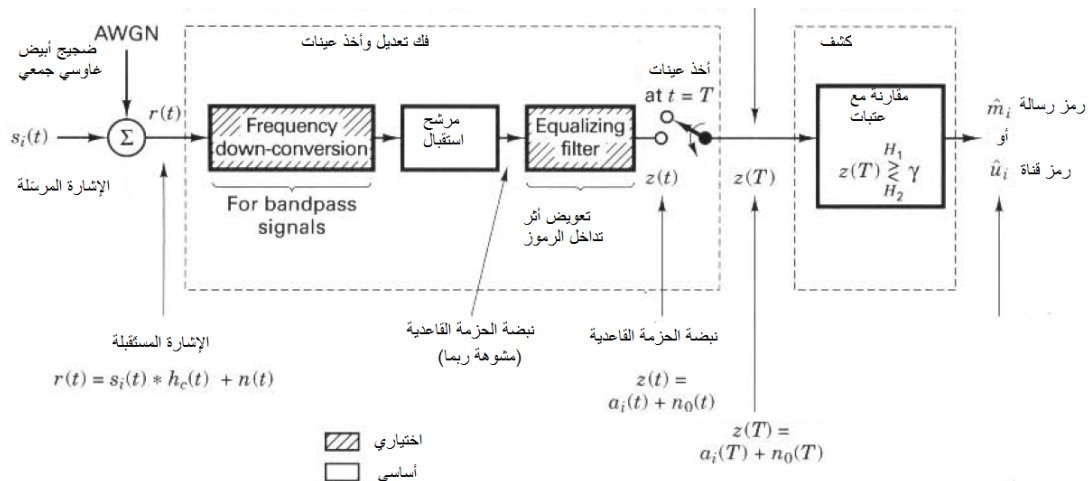
نعدل المعطيات الرقمية فنحصل على الإشارة  $(t) s$  يضاف لها الضجيج الذي يمكن اعتباره أبيض غاوسيًا جمعياً، بقيمة وسطى معدومة، فنستقبل  $(t) r$  التي هي ناتج ترشيح الإشارة  $(t) s$  بالمرشح المكافئ لأنثر القناة  $(t) h$  الاستجابة النسبية للقناة مضاد إليه الضجيج  $(t) n$ . (انظر الشكل التالي).

في الحالة الرقمية يمكن مثلاً اعتبار الإشارة المرسلة  $(t) s_1$  خلال زمن البت  $T$ ، إذا كان البت المرسل 1. و  $(t) s_2$  خلال زمن البت إذا كان البت المرسل 0.

$$s_i(t) = \begin{cases} s_1(t) & 0 \leq t \leq T \text{ for bit "1"} \\ s_2(t) & 0 \leq t \leq T \text{ for bit "0"} \end{cases}$$

إذا تركنا جانبًا كتلة خفض التردد frequency down converter (التي تريح تباعد- طيف الإشارة من المجال الراديوي إلى المجال القاعدي) وكتلة المسوبي equalizer (التي تزيل أثر تشويه القناة)، يبقى لدينا في المستقبل كتلة مرشح الاستقبال.

نمرر الإشارة المستقبلة على مرشح الاستقبال فيكون ناتج الترشيح هو مجموع ناتج ترشيح الإشارة المفيدة  $(t) s_i$ ، ونرمز له بـ  $a_i(t)$  إضافة إلى ناتج ترشيح الضجيج  $(t) n$ ، ونرمز له بـ  $n_0(t)$ . نأخذ عينة من هذه الإشارة عند كل رمز من الإشارة المفيدة (في نهاية زمن الرمز  $T$  مثلاً) ونقارن الناتج بعينة ما، فإن كان أكبر من العتبة نفترض الرمز المكتشف له قيمة معينة وإلا فله قيمة أخرى.



الشكل: الخطوات الرئيسية لفك تعديل إشارة رقمية وكشفها [2]

في الحقيقة، يشير فك التعديل إلى استعادة شكل الإشارة المرسلة، أما الكشف فيشير إلى معرفة معنى الإشارة المستقبلة. ومهمة مرشح الاستقبال استعادة الإشارة المرسلة عند لحظة اتخاذ القرار  $T$ ، بأعلى نسبة إشارة إلى الضجيج وأقل تداخل بين الرموز. المرشح الأمثل الذي يقوم بهذه المهمة يسمى المرشح

المتوافق matched filter. الإشارة المقيسة في اللحظة  $T$  هي  $z(T) = a_i(T) + n_0(T)$  ، نكتبها بشكل مختصر  $z = a_i + n_0$  وبما أن الضجيج أبيض غاوسي جمعي بمتوسط معروف، فإن  $z$  متاح عشوائي بمتوسط  $a_1$  أو  $a_2$ .

يبرهن أن المرشح المتواافق مع إشارة ما  $g(t)$  هو المرشح الذي استجابته النبضية  $h_{opt}(t)$  ترتبط بـ  $g(t)$  بالعلاقة:

$$h_{opt}(t) = k \cdot g(T - t)$$

حيث  $k$  ثابت و  $T$  زمن البت الذي يجري بنهايته القياس (أي يجري أخذ العينة من خرج مرشح الاستقبال لاتخاذ القرار بشأنها).

بما أن  $n_0$  المذكورة أعلاه هي ضجيج أبيض غاوسي بمتوسط معروف فإننا يمكن أن نكتب تابع الكثافة الاحتمالية له بالعلاقة:

$$p(n_0) = \frac{1}{\sigma_0 \sqrt{2\pi}} \exp \left[ -\frac{1}{2} \left( \frac{n_0}{\sigma_0} \right)^2 \right]$$

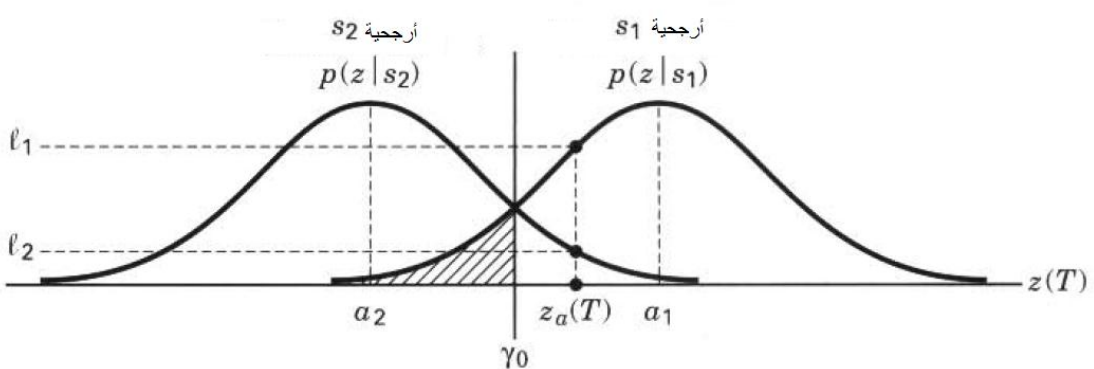
حيث  $\sigma_0^2$  هو تباين الضجيج.

وبما أن  $z = a_i + n_0$  فإنه يمكننا كتابة توابع الكثافة الاحتمالية للاحتمالات الشرطية  $p(z|s_1), p(z|s_2)$  كما يلي:

$$p(z|s_1) = \frac{1}{\sigma_0 \sqrt{2\pi}} \exp \left[ -\frac{1}{2} \left( \frac{z - a_1}{\sigma_0} \right)^2 \right]$$

$$p(z|s_2) = \frac{1}{\sigma_0 \sqrt{2\pi}} \exp \left[ -\frac{1}{2} \left( \frac{z - a_2}{\sigma_0} \right)^2 \right]$$

الشكل التالي يبين هذه التوابع:



فإذا اعتمدنا عتبة ما  $\gamma_0$  نقارن بها القيمة المقيسة  $z$  ، فإن تجاوزتها اعتبرنا القيمة  $a_1$  وإلا كانت  $a_2$ . وبذلك يعطى احتمال الخطأ المشروط بإرسال  $s_1$  ولتكن  $p_{e1}$  واحتمال الخطأ المشروط بإرسال  $s_2$  ول يكن  $p_{e0}$  بالعلاقتين:

$$P_{e1} = P(z < \gamma_0 | s_1 \text{ sent}) = \int_{-\infty}^{\gamma_0} p(z | s_1).dz$$

$$P_{e0} = P(z > \gamma_0 | s_2 \text{ sent}) = \int_{\gamma_0}^{\infty} p(z | s_2).dz$$

فإذا كان  $p_1$  احتمال إرسال  $s_1$  وكان  $p_0$  احتمال إرسال  $s_2$  فإن احتمال الخطأ الكلي هو  $p_e$  ويعطى بالعلاقة:

$$p_e = p_0 p_{e0} + p_1 p_{e1}$$

في الحالة الخاصة التي يكون فيها  $\gamma_0 = (a_1 + a_2)/2$  و  $p_0 = p_1 = 1/2$

$$p_e = p_{e0} = p_{e1} = \int_{\gamma_0}^{\infty} p(z | s_2).dz = \int_{(a_1+a_2)/2}^{\infty} \frac{1}{\sigma_0 \sqrt{2\pi}} \exp\left[-\frac{1}{2}\left(\frac{z-a_2}{\sigma_0}\right)^2\right].dz$$

وبإجراء تغيير المتحول  $u = (z - a_2)/2\sigma_0$  يكون:

$$p_e = \int_{(a_1-a_2)/2\sigma_0}^{\infty} \frac{1}{\sqrt{2\pi}} \exp\left[-\frac{1}{2}u^2\right].du = Q\left(\frac{a_1 - a_2}{2\sigma_0}\right)$$

حيث  $Q(x) \approx \frac{1}{\sqrt{2\pi}} \int_x^{\infty} \exp\left[-\frac{1}{2}x^2\right].dx$  وثمة جداول تعطي قيمةً لهذا التابع.

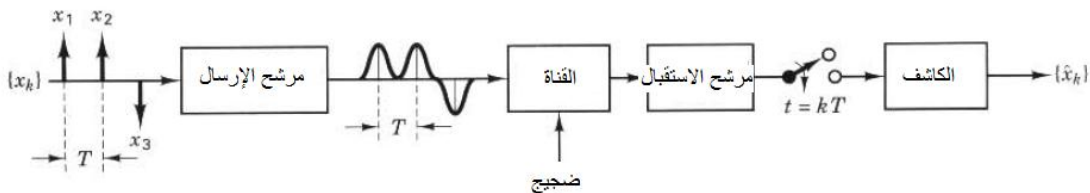
Complementary Error Function Table													
x	erfc(x)	x	erfc(x)	x	erfc(x)	x	erfc(x)	x	erfc(x)	x	erfc(x)	x	erfc(x)
0	1.000000	0.5	0.479500	1	0.157299	1.5	0.033895	2	0.004678	2.5	0.000407	3	0.00002209
0.01	0.988717	0.51	0.470756	1.01	0.153190	1.51	0.032723	2.01	0.004475	2.51	0.000386	3.01	0.00002074
0.02	0.977435	0.52	0.462101	1.02	0.149162	1.52	0.031587	2.02	0.004281	2.52	0.000365	3.02	0.00001947
0.03	0.966159	0.53	0.453536	1.03	0.145216	1.53	0.030484	2.03	0.004094	2.53	0.000346	3.03	0.00001827
0.04	0.954889	0.54	0.445061	1.04	0.141350	1.54	0.029414	2.04	0.003914	2.54	0.000328	3.04	0.00001714
0.05	0.943628	0.55	0.436677	1.05	0.137564	1.55	0.028377	2.05	0.003742	2.55	0.000311	3.05	0.00001608
0.06	0.932378	0.56	0.428384	1.06	0.133856	1.56	0.027372	2.06	0.003577	2.56	0.000294	3.06	0.00001508
0.07	0.921142	0.57	0.420184	1.07	0.130227	1.57	0.026397	2.07	0.003418	2.57	0.000278	3.07	0.00001414
0.08	0.909922	0.58	0.412077	1.08	0.126674	1.58	0.025453	2.08	0.003266	2.58	0.000264	3.08	0.00001326
0.09	0.898719	0.59	0.404064	1.09	0.123197	1.59	0.024538	2.09	0.003120	2.59	0.000249	3.09	0.00001243
0.1	0.887537	0.6	0.396144	1.1	0.119795	1.6	0.023652	2.1	0.002979	2.6	0.000236	3.1	0.00001165
0.11	0.876377	0.61	0.388319	1.11	0.116467	1.61	0.022793	2.11	0.002845	2.61	0.000223	3.11	0.00001092
0.12	0.865242	0.62	0.380589	1.12	0.113212	1.62	0.021962	2.12	0.002716	2.62	0.000211	3.12	0.00001023
0.13	0.854133	0.63	0.372954	1.13	0.110029	1.63	0.021157	2.13	0.002593	2.63	0.000200	3.13	0.00000958
0.14	0.843053	0.64	0.365414	1.14	0.106918	1.64	0.020378	2.14	0.002475	2.64	0.000189	3.14	0.00000897
0.15	0.832004	0.65	0.357971	1.15	0.103876	1.65	0.019624	2.15	0.002361	2.65	0.000178	3.15	0.00000840
0.16	0.820988	0.66	0.350623	1.16	0.100904	1.66	0.018995	2.16	0.002253	2.66	0.000169	3.16	0.00000786
0.17	0.810008	0.67	0.343372	1.17	0.098000	1.67	0.018190	2.17	0.002149	2.67	0.000159	3.17	0.00000736
0.18	0.799064	0.68	0.336218	1.18	0.095163	1.68	0.017507	2.18	0.002049	2.68	0.000151	3.18	0.00000689
0.19	0.788160	0.69	0.329160	1.19	0.092392	1.69	0.016847	2.19	0.001954	2.69	0.000142	3.19	0.00000644
0.2	0.777297	0.7	0.322199	1.2	0.089686	1.7	0.016210	2.2	0.001863	2.7	0.000134	3.2	0.00000603
0.21	0.766478	0.71	0.315335	1.21	0.087045	1.71	0.015593	2.21	0.001776	2.71	0.000127	3.21	0.00000564
0.22	0.755704	0.72	0.308567	1.22	0.084466	1.72	0.014997	2.22	0.001692	2.72	0.000120	3.22	0.00000527
0.23	0.744977	0.73	0.301896	1.23	0.081950	1.73	0.014422	2.23	0.001612	2.73	0.000113	3.23	0.00000493
0.24	0.734300	0.74	0.295322	1.24	0.079495	1.74	0.013865	2.24	0.001536	2.74	0.000107	3.24	0.00000460
0.25	0.723674	0.75	0.288845	1.25	0.077100	1.75	0.013328	2.25	0.001463	2.75	0.000101	3.25	0.00000430
0.26	0.713100	0.76	0.282463	1.26	0.074764	1.76	0.012810	2.26	0.001393	2.76	0.000095	3.26	0.00000402
0.27	0.702582	0.77	0.276179	1.27	0.072486	1.77	0.012309	2.27	0.001326	2.77	0.000090	3.27	0.00000376
0.28	0.692120	0.78	0.269990	1.28	0.070266	1.78	0.011826	2.28	0.001262	2.78	0.000084	3.28	0.00000351
0.29	0.681717	0.79	0.263897	1.29	0.068101	1.79	0.011359	2.29	0.001201	2.79	0.000080	3.29	0.00000328
0.3	0.671373	0.8	0.257899	1.3	0.065992	1.8	0.010909	2.3	0.001143	2.8	0.000075	3.3	0.00000306
0.31	0.661092	0.81	0.251997	1.31	0.063937	1.81	0.010475	2.31	0.001088	2.81	0.000071	3.31	0.00000285
0.32	0.650874	0.82	0.246189	1.32	0.061935	1.82	0.010057	2.32	0.001034	2.82	0.000067	3.32	0.00000266
0.33	0.640721	0.83	0.240476	1.33	0.059985	1.83	0.009653	2.33	0.000984	2.83	0.000063	3.33	0.00000249
0.34	0.630635	0.84	0.234857	1.34	0.058086	1.84	0.009264	2.34	0.000935	2.84	0.000059	3.34	0.00000232
0.35	0.620618	0.85	0.229332	1.35	0.056238	1.85	0.008889	2.35	0.000889	2.85	0.000056	3.35	0.00000216
0.36	0.610670	0.86	0.223900	1.36	0.054439	1.86	0.008528	2.36	0.000845	2.86	0.000052	3.36	0.00000202
0.37	0.600794	0.87	0.218560	1.37	0.052688	1.87	0.008179	2.37	0.000803	2.87	0.000049	3.37	0.00000188
0.38	0.590991	0.88	0.213313	1.38	0.050984	1.88	0.007844	2.38	0.000763	2.88	0.000046	3.38	0.00000175
0.39	0.581261	0.89	0.208157	1.39	0.049327	1.89	0.007521	2.39	0.000725	2.89	0.000044	3.39	0.00000163
0.4	0.571608	0.9	0.203092	1.4	0.047715	1.9	0.007210	2.4	0.000689	2.9	0.000041	3.4	0.00000152
0.41	0.562031	0.91	0.198117	1.41	0.046148	1.91	0.006910	2.41	0.000654	2.91	0.000039	3.41	0.00000142
0.42	0.552532	0.92	0.193232	1.42	0.044624	1.92	0.006622	2.42	0.000621	2.92	0.000036	3.42	0.00000132
0.43	0.543113	0.93	0.188437	1.43	0.043143	1.93	0.006344	2.43	0.000589	2.93	0.000034	3.43	0.00000123
0.44	0.533775	0.94	0.183729	1.44	0.041703	1.94	0.006077	2.44	0.000559	2.94	0.000032	3.44	0.00000115
0.45	0.524518	0.95	0.179109	1.45	0.040305	1.95	0.005821	2.45	0.000531	2.95	0.000030	3.45	0.00000107
0.46	0.515345	0.96	0.174576	1.46	0.038946	1.96	0.005574	2.46	0.000503	2.96	0.000028	3.46	0.00000099
0.47	0.506255	0.97	0.170130	1.47	0.037627	1.97	0.005336	2.47	0.000477	2.97	0.000027	3.47	0.00000092
0.48	0.497250	0.98	0.165769	1.48	0.036346	1.98	0.005108	2.48	0.000453	2.98	0.000025	3.48	0.00000086
0.49	0.488332	0.99	0.161492	1.49	0.035102	1.99	0.004889	2.49	0.000429	2.99	0.000024	3.49	0.00000080

الجدول من الموقع

<http://www.slideshare.net/mohanadadnan/complementary-errorfunctiontable>

## 2. نمط العين وتدخل الرموز

إذا أردنا توصيف المرشحات filters التي تدخل في أي نظام اتصالات رقمية، فثمة أنواع متعددة من المرشحات (وعناصر دارات فعالة مثل الوشائع والمكثفات) توجد في هذا النظام: في المرسل وفي القناة وفي المستقبل، بيبنها الشكل التالي:

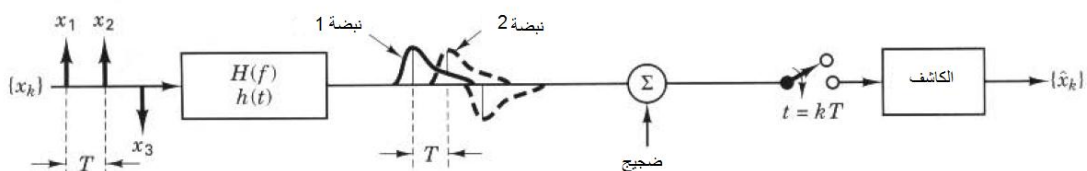


الشكل: نمذجة نظام اتصالات رقمية في الحزمة القاعدية

في المرسل، تكون رموز المعلومات على شكل نبضات أو مستويات فلطية، يجري تعديل هذه الإشارات لتناسب قناة الاتصال باستعمال مرشح الإرسال  $H_t$ . في حالة الاتصالات في الحزمة القاعدية، يكون لكل القناة عناصر فعالة موزعة تؤدي إلى تشويه هذه النبضات. وفي اتصالات تمثيل الحزمة، مثل القنوات اللاسلكية يمكن لبعض الظواهر الفيزيائية مثل التخميد وغيرها آثار تشويهية على الإشارة، يمكن نمذجة هذه الآثار بمرشح يمثل أثر القناة  $H_c$ . على مرشح الاستقبال  $H_r$  أن يعرض أثر التشوهات الناتجة عن مرشح القناة (المسوبي) ومرشح الإرسال (ترشيح متافق)، غالباً ما يكون مرشح الاستقبال مرشح استقبال وتسوية receiving/equalizing filter على جمجمة أثر كل هذه المرشحات نحصل على المرشح المكافئ ذي الاستجابة التردية:

$$H(f) = H_t(f)H_c(f)H_r(f)$$

وبذلك يكون النموذج المكافئ للنظام هو المبين بالشكل التالي:



فإذا كان نظام الاتصالات الرقمي يرسل البتات بتعديل الحزمة القاعدية L-NRZ حيث يرسل نبضة موجبة للبت 1 ونبضة سالبة للبت 0. في المستقبل، تجري مقارنة النبضة المستقبلة لكل بت؛ فإذا تجاوزت عتبة معينة قرر الكافش أن البت المستقبلة 1 وإلا فهي 0. وبسبب أثر الترشيح المكافئ للنظام، تترافق النبضات بعضها فوق بعض، كما في الشكل السابق فنقول أنه حصل تداخل في الرموز intersymbol interference ISI.

غالب الأحيان تكون استجابة القناة مفروضة ونبحث عن أفضل مرشح إرسال  $H_r$  ومرشح استقبال  $H_s$  لجعل تداخل الرموز أصغر ما يمكن على خرج مرشح الاستقبال.

تحرّى نيكوست شكل الموجة المستقبلة بحيث لا يحدث تداخل رموز عند الكاشف. وبين أن عرض الحزمة الأصغر اللازم لإرسال  $R_s$  رمزاً في الثانية من دون تداخل رموز هو  $2/R_s$  هرتزاً، ويحدث هذا حين تكون الاستجابة التردية  $H(f)$  مستطيلة كما في الشكل التالي:



في هذه الحالة يكون تحويل فورييه المعاكس لها هو إشارة  $\sin c(t/T)$ . نلاحظ أنه النبضتين متتاليتين  $(h(t-T))$  و  $(h(t))$ ، ومع أن كلا النبضتين تمتدان على مجال زمني كبير وتتدخلان، ولكن لحظة الكشف ( $T$  ومضاعفاتها الصحيحة) نبضة واحدة تكون غير معدومة. وكل النبضات الأخرى  $h(t-kT)$ ،  $k = \pm 1, \pm 2, \dots$  تكون معدومة.

### 3. فعالية الطيف

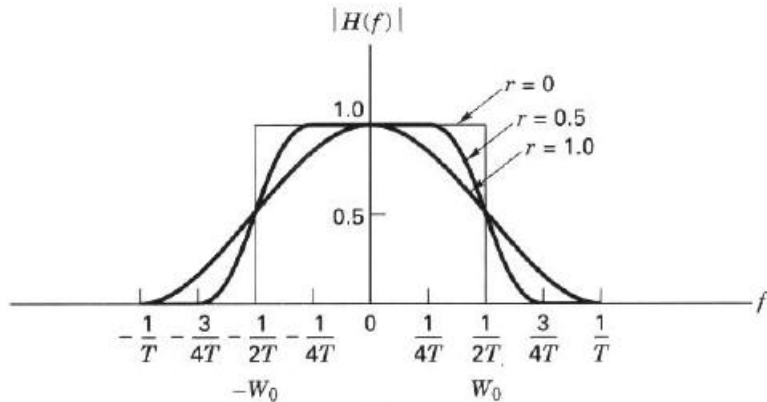
من الفقرة السابقة نجد أنه في حال توقيت كشف جيد عند اللحظات  $kT$  حيث  $k$  عدد صحيح؛ لا يحدث أي تداخل في الرموز. وهذا يعني أن علينا كشف  $1/T$  نبضة في الثانية، فإذا كانت هذه النبضات مرسلة بتعديل حزمة قاعدية فإننا نحتاج إلى عرض حزمة طيفية يساوي  $1/2T$  هرتز لنقلها. بكلمات أخرى، إذا كان عرض حزمة النظام  $W = 1/2T$  فإن  $R_s = W/2$  حيث  $R_s$  معدل إرسال الرموز (عدد الرموز المرسلة في الثانية) من دون تداخل في الرموز، وهذا يسمى قيد عرض حزمة نيكوست (Nyquist bandwidth constraint). إذن، في حالة الترشيح بشروط نيكوست، فإن الفعالية العظمى التي يمكن أن نحصل عليها هي رمزان في الثانية لكل هرتز  $2\text{symbols/s/Hz}$ .

ولكن المرشح المذكور أعلاه (باستجابة تردديّة مستطيلة ونبضة ذات زمن لا منتهي) لا يمكن تحقيقه عملياً، ونحاول فقط الحصول على تقرير له. تشير المفردات "مرشح نيكوست" و"نبضة نيكوست" إلى صفات من المرشحات والنبضات -على التالي- التي تضمن عدم وجود تداخل في الرموز عند لحظات الكشف. وبذلك، فإن مرشح نيكوست هو المرشح الذي تكون استجابته التردديّة ناتج جداء التلافل لمستطيل مع أي تابع للتردد زوجي متاظر، ونبضة نيكوست هي التابع  $\sin c(t/T)$  مضروباً بتتابع آخر. إذن ثمة عدد لا ينتهي من مرشحات نيكوست والنبضات الموافقة لها. من أشهرها التجيب المعرف *raised cosine* وجذر التجيب المعرف *root-raised cosine*.

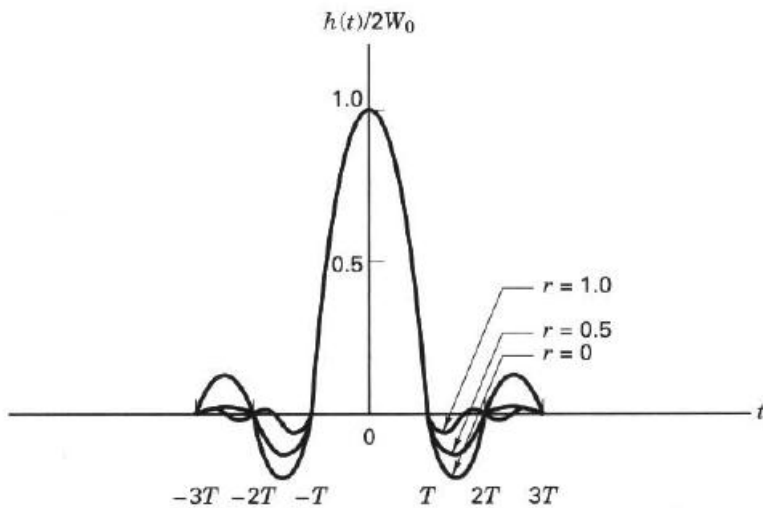
يعطى تابع النقل  $H(f)$  لمرشح التجيب المعرف بالعلاقات:

$$H(f) = \begin{cases} 1 & \text{for } |f| < 2W_0 - W \\ \cos^2\left(\frac{\pi |f| + W - 2W_0}{4(W - W_0)}\right) & \text{for } 2W_0 - W \leq |f| < W \\ 0 & \text{for } |f| \geq W \end{cases}$$

في هذه العلاقات، تشير  $W$  إلى عرض حزمة الإرسال المطلق و  $W_0 = 1/2T$  إلى عرض حزمة نيكوست الأصغر لطيف مستطيل، وهنا هو التردد في استجابة المرشح حيث يهبط المطال الأعظم إلى النصف  $-6dB$ . نسمى  $W - W_0$  "الزيادة في عرض الحزمة excess bandwidth". ونسمى النسبة  $r = (W - W_0)/W_0$  عامل الانحدار roll-off factor، وهو يحقق  $0 \leq r \leq 1$  ويساوي الزيادة النسبية في عرض الحزمة. يبين الشكل التالي طيف المرشح في حالة قيم مختلفة لـ  $r$ .



كما يبين الشكل التالي النبضة الزمنية الموافقة لهذه الأطیاف:



حيث تعطى النبضة الزمنية بالعلاقة:

$$h(t) = 2W_0 (\sin c 2W_0 t) \frac{\cos[2\pi(W - W_0)t]}{1 - [4(W - W_0)t]^2}$$

ومع ذلك فهذه المرشحات غير قابلة للتحقيق لأن استجابتها النبضية غير منتهية من جهة وأنها غير سببية (الاستجابة النبضية للمرشح السببي معدومة حين  $0 < n$ ).

ومع ذلك، فإننا لا نهتم باستعادة الإشارات التماثلية في الاتصالات الرقمية، وإنما نهتم فقط بالكشف في غياب تداخل الرموز. باستعمال مرشحات التجيب المعرفة المذكورة آنفاً، وتعديل الحزمة القاعدية، يرتبط عرض الحزمة اللازمة بمعدل إرسال الرموز وبمعدل الانحدار بالعلاقة  $r = 0.5(1+r).R_s$ . وبما محصورة بين الصفر والواحد فإن عرض الحزمة يتراوح بين  $R_s/2$  و  $R_s$ . أما في حال تعديل حزمة

التمرير، وفي حال استعمال تعديل DSB ثنائي الحزمة ASK, PSK، فإن العلاقة بين عرض الحزمة ومعدل الرموز تصبح

$$W = (1+r).R_s$$

فعالية الطيف، أو فعالية عرض الحزمة هو  $R/W$  حيث  $R$  معدل إرسال البتات، و  $W$  عرض حزمة الإرسال ووحدة فعالية الطيف إذن هي بت/ثا/هرتز bits/s/Hz. علاقة معدل الرموز بمعدل البت يحددها نوع التعديل كما رأينا سابقاً.

## 4. المرشح المتواافق

عند إرسال معلومات رقمية بتعديل حزمة قاعدية، فإننا نرسل إشارة معينة  $s_1(t)$  خلال زمن البت  $T$  إذا كانت البت 1 وإشارة أخرى  $s_2(t)$  خلال زمن البت  $T$  إذا كانت البت 0.

$$s_i(t) = \begin{cases} s_1(t) & 0 \leq t \leq T \text{ for bit "1"} \\ s_2(t) & 0 \leq t \leq T \text{ for bit "0"} \end{cases}$$

أما إذا كانت المعلومات معدلة بتعديل تمير الحزمة فترسل إشارات  $s_i(t)$  خلال زمن الرمز الذي سنرمز له أيضاً بـ  $T$ ، ويمكن أن يكون لدينا أكثر من رموز. هذه الإشارة ترسل خلال القناة وبظهور أثر القناة مع مرشح الإرسال على أنه ترشيح لهذه الإشارة بالمرشح  $h_c(t)$ ، ويمكن أن يضاف إليها ضجيج جمعي غاوسي محاط بمتوسط معروف  $n(t)$ . فتكون الإشارة على دخل مرشح الاستقبال هي:

$$r(t) = s_i(t) * h_c(t) + n(t), i = 1, 2, \dots, M$$

الهدف من مرشح الاستقبال هو استعادة نبضات الحزمة القاعدية مع نسبة إشارة إلى الضجيج SNR أفضل ما يمكن. ومن دون تداخل رموز ما أمكن. يسمى هذا المرشح مرشحاً متواافقاً matched filter.

في نهاية زمن الرمز  $T$  نأخذ العينة  $(T)z$  من خرج مرشح الاستقبال.

$$z(T) = a_i(T) + n_0(T), i = 1, 2, \dots, M$$

حيث  $a_i(T), i = 1, 2, \dots, M$  هي مركبة الرمز المرغوب و  $n_0(T)$  هي مركبة الضجيج. متاح عشوائي غاوسي بمتوسط معروف وبذلك يكون  $(T)z$  متاحاً عشوائياً بمتوسط  $a_i(T)$ . في حال مثبت الرموز البتين 1 و 0، فإنه بحسب قيمة  $(T)z$  ومقارنتها بعتبة معينة نكشف إن كانت البت المرسلة 1 أم 0.

لنفترض أن  $\sigma_0^2$  تباين إشارة الضجيج  $n_0$  على خرج مرشح الاستقبال، ف تكون نسبة استطاعة الإشارة إلى استطاعة الضجيج في اللحظة  $T$  على خرج مرشح الاستقبال هي:

$$\left( \frac{S}{N} \right)_T = \frac{a_i^2}{\sigma_0^2}$$

نود إيجادتابع تحويل مرشح الاستقبال  $H(f)$ ، بحيث تكون  $\left( \frac{S}{N} \right)_T$  عظمى.

$$a_i(t) = \int_{-\infty}^{\infty} H(f) \cdot S_i(f) e^{j2\pi ft} df$$

حيث  $S_i(f)$  تحويل فورييه لإشارة دخل مرشح الاستقبال  $(t)s_i$ .

وإذا كانت الكثافة الطيفية لاستطاعة الضجيج على دخل مرشح الاستقبال  $(t)n$  هي  $N_0/2$ ، أمكننا أن نكتب:

$$\sigma_0^2 = \frac{N_0}{2} \int_{-\infty}^{\infty} |H(f)|^2 df$$

وبذلك يكون:

$$\left( \frac{S}{N} \right)_T = \frac{a_i^2}{\sigma_0^2} = \frac{\left| \int_{-\infty}^{\infty} H(f) \cdot S_i(f) e^{j2\pi f t} df \right|^2}{\frac{N_0}{2} \int_{-\infty}^{\infty} |H(f)|^2 df}$$

وياستعمال مترابحة شوارتز Schwartz inequality التي تنص على أن:

$$\left| \int_{-\infty}^{\infty} f_1(x) f_2(x) dx \right|^2 \leq \int_{-\infty}^{\infty} |f_1(x)|^2 dx \int_{-\infty}^{\infty} |f_2(x)|^2 dx$$

وأن المساواة تتحقق حين يكون  $f_1(x) = k \cdot f_2^*(x)$

وإذا اعتبرنا  $S_i(f) e^{j2\pi f t}$  هي  $f_1(x)$  و  $H(f)$  هي  $f_2(x)$  نستنتج أن:

$$\left| \int_{-\infty}^{\infty} H(f) \cdot S_i(f) e^{j2\pi f t} df \right|^2 \leq \int_{-\infty}^{\infty} |H(f)|^2 df \cdot \int_{-\infty}^{\infty} |S_i(f) e^{j2\pi f t}|^2 df$$

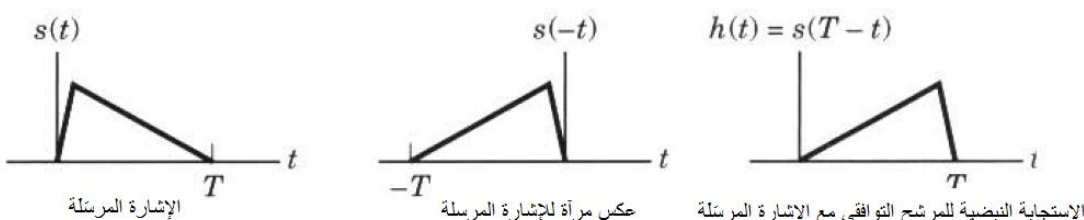
ومن هذا نستنتج أن:

$$\left( \frac{S}{N} \right)_T \leq \frac{\int_{-\infty}^{\infty} |S_i(f)|^2 df}{\frac{N_0}{2}}$$

والقيمة العظمى له هي:

$$H(f) = k \cdot S_i^*(f) e^{-j2\pi f T} \quad \text{وهذا يتحقق حين: } \max\left(\frac{S}{N}\right)_T = \frac{2E}{N_0}, \quad E = \int_{-\infty}^{\infty} |S_i(f)|^2 df$$

وبأخذ تحويل فورييه المعاكس للطرفين نجد أن الاستجابة النبضية لمرشح الاستقبال المنشود هي:  $h(t) = k s_i(T-t)$ ,  $0 \leq t \leq T$  وصفر خارج ذلك المجال. للحصول على الاستجابة النبضية لمرشح التوافق نأخذ إشارة النبضة المرسلة، ونعكسها بالنسبة للزمن فنحصل على  $s(-t)$  ثم نأخذه بمقدار  $T$  ، فنحصل على مرشح سبيبي (استجابته النبضية معدومة لقيم السالبة للزمن  $t$ ).



ترشيح الإشارة على دخل مرشح الاستقبال التوافقي  $r(t)$  بهذه المرشح يعطي إشارة الخرج:

$$z(t) = r(t) * h(t) = \int_0^t r(\tau)h(t-\tau)d\tau$$

أو:

$$z(t) = r(t) * h(t) = \int_0^t r(\tau)h(t-\tau)d\tau = \int_0^t r(\tau)s_i[T-(t-\tau)]d\tau = \int_0^t r(\tau)s_i(T-t+\tau)d\tau$$

في لحظة الكشف  $T$  يكون:

$$z(T) = \int_0^T r(\tau)s_i(\tau)d\tau$$

نماذل هذا الجداء للإشارة  $r(t)$  على دخل مرشح الاستقبال والنسبة المرسلة  $(s_i(t))$  خلال زمن الرمز  $n$  هو ترابط هاتين الإشارتين. يبين الشكل التالي خرج المرشح التوافقي وخرج الترابط لمثال. في اللحظة  $T$  خرج الترابط يساوي خرج المرشح التوافقي.

إذا استقبلنا إشارة  $r(t)$  وأجرينا الترابط لها مع جميع إشارات الرموز  $s_i(t)$ ,  $i = 1, 2, \dots, M$  ، فالرمز الذي يعطى أعلى ترابط يكون هو الرمز المرسل.

## 5. الكشف المتماسك

في الفقرة السابقة تحدثنا عن كشف الإشارات المعدلة في الحزمة القاعدية. فيما يخص الإشارات المعدلة بتعديل عرض الحزمة، يمكننا القول إن نموذج إجرائية الكشف في هذه الحالة مطابق لنموذج إجرائية الكشف في تعديل الحزمة القاعدية؛ ذلك أنه في النظم الخطية فإن نقل الإشارة إلى الحزمة القاعدية ثم كشفها مكافئ لكتفها ثم نقلها إلى الحزمة القاعدية.

لنفترض أنه لدينا  $M$  إشارة مختلفة توافق  $M$  رمزاً، وأن ما يشوه الإشارات هو فقط إضافة ضجيج أبيض جمعي بمتوسط معادل  $(t) n$  فتكون الإشارة التي تستقبلها معطاة بالعلاقة:

$$r(t) = s_i(t) + n(t), \quad 0 \leq t \leq T \\ i = 1, 2, \dots, M$$

ت تكون عملية الكشف من خطوتين: في الخطوة الأولى، نحو الإشارة المستقبلة إلى متحول عشوائي  $z(T)$  ، (أو إلى مجموعة من المتحولات العشوائية  $(i=1, \dots, M) z_i(T)$  على خرج مرشحات الاستقبال المتفقة حيث جرىأخذ عينات الخرج عند اللحظة  $T$  ، ( $T$  هي مدة الرمز). وفي الخطوة الثانية، يجريأخذ القرار بشأن الرمز الذي جرى كشفه، إما بمقارنة الخرج بعينة معينة، أو بأخذ القيمة العظمى بين القيم  $z_i(T)$  .

رأينا سابقاً أن المرشح المتفافق مع إشارة دخل معينة (الإشارة المرسلة لرمز معين مثل إشارات FSK, MPSK, QAM,...) يعطي نسبة إشارة إلى الضجيج عظمى في اللحظة  $t=T$  حيث  $T$  هي مدة الرمز.

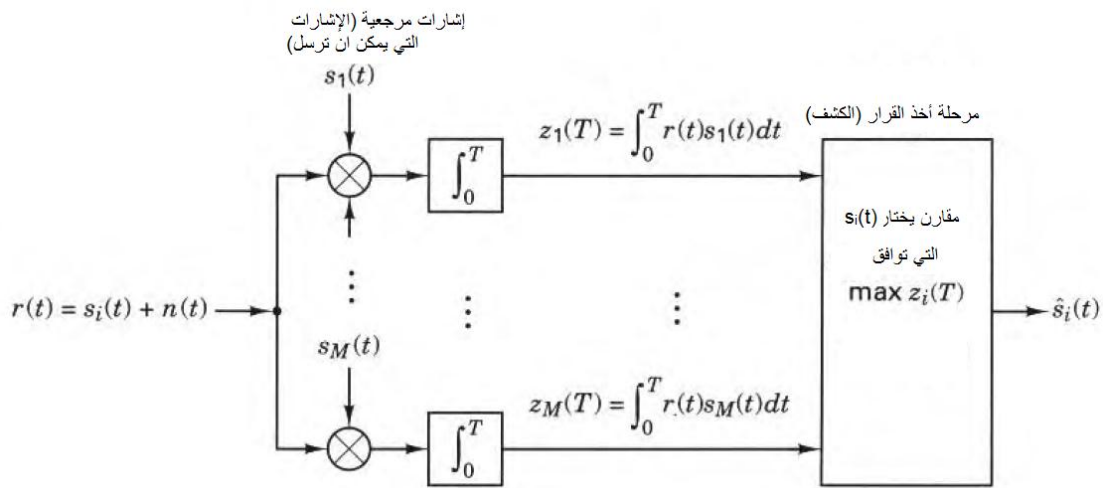
لذلك يمكن في نظم الاتصالات الرقمية، التي تستعمل تعديل عرض الحزمة، والتي يمثل الرمز فيها مجموعة من البتات، أن نضع في المستقبل مجموعة مرشحات متفقة مع مجموعة إشارات الرموز المرسلة  $\{s_i(t), i=1, 2, \dots, M\}$  ، ولتكن الاستجابة النبضية لهذه المرشحات هي على التالي:  $\{h_i(t), i=1, 2, \dots, M\}$  ، ونأخذ عينات من خرج هذه المرشحات في اللحظة  $t=T$  ، أي أن:  $y_i(T) = (r(t) * h_i(t))|_{t=T}, i=1, 2, \dots, M$  متفاقة مع الرمز المرسل، وبذلك نكشف الرمز المرسل.

هذا النوع من الكشف يسمى الكشف المتماسك.

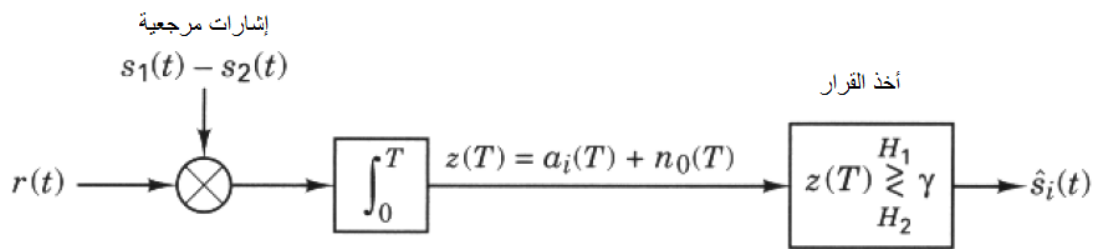
يكافئ تنفيذ هذا الترشيح معأخذ العينات في اللحظة  $t=T$  ، كما رأينا سابقاً، حساب ناتج الترابط بين

إشارة الدخل وكل من الإشارات المرسلة، أي حساب  $\int_0^T r(t) \cdot s_i(t) dt$  ، وبذلك يمكن تنفيذ

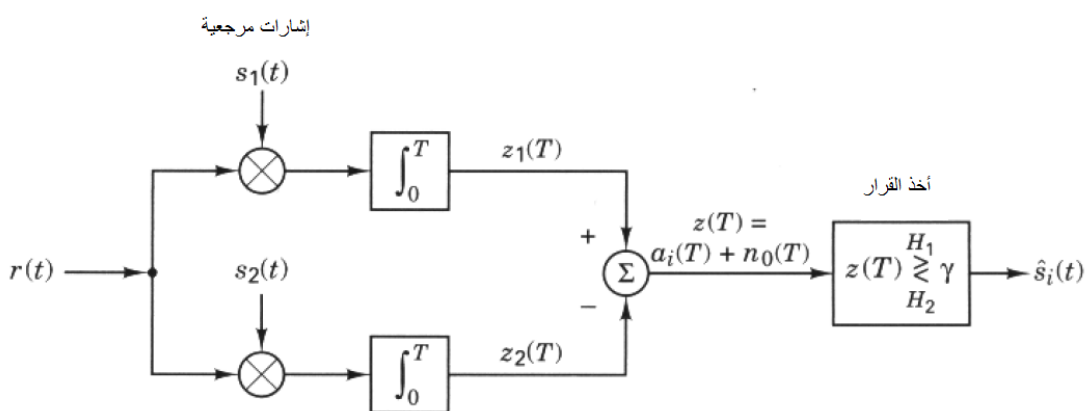
الكشف المتماسك باستعمال حساب الترابط كما في الشكل التالي:



في حال كان لدينا رمزان فقط، رمز لكل بت، فإن مرحلة أخذ القرار تختصر إلى المقارنة مع عتبة. ويمكن أن ننفذ الكشف المتماسك باستعمال ترابط واحد أو اثنين، كما في الشكلين التاليين:



(الشكل) كشف ثبائي باستعمال ترابط وحيد



(الشكل) كشف ثبائي باستعمال ترابطين.

لحساب عتبة الكشف، رأينا في الفقرة 5-1 أنه في حال كانت عتبة الكشف  $\gamma_0$  كان احتمال كشف الصفر  $P_{e0}$  واحتمال كشف الواحد  $P_{e1}$  كما يلي:

$$P_{e1} = P(z < \gamma_0 | s_1 \text{ sent}) = \int_{-\infty}^{\gamma_0} p(z | s_1).dz$$

$$P_{e0} = P(z > \gamma_0 | s_2 \text{ sent}) = \int_{\gamma_0}^{\infty} p(z | s_2).dz$$

ويكون احتمال الخطأ:  $p_e = p_0 P_{e0} + p_1 P_{e1}$  حيث  $p_0$  احتمال إرسال الصفر و  $p_1$  احتمال إرسال الواحد.

ونلاحظ أن هذا الاحتمال مرتبط بالعتبة. ولحساب أفضل عتبة تجعل  $p_e$  أصغرًا، نستقر  $p_e$  بالنسبة للعتبة  $\gamma_0$ ، ونجعل المشتق يساوي الصفر، فنجد أن عتبة الكشف تعطى بالعلاقة:

$$\gamma_0 = A \log \left( \frac{p_0}{p_1} \right) \quad \text{حيث } A = \frac{a_1 + a_2}{2} = 0 \quad \text{في حال } p_0 = p_1 = 1/2 \quad \text{وإلا فهـي}$$

باستطاعة الضجيج ومطال النسبة المرسلة.

## 6. الكشف غير المتماسك

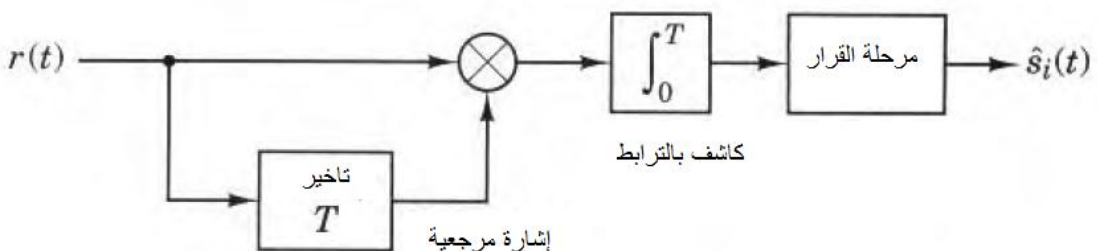
يعتمد الكشف غير المتماسك على استعمال معالجة الإشارة لكشف الإشارات، وهذا الكشف يختلف باختلاف التعديل المستعمل. سنستعرض فيما يلي بعض أنواع التعديل والكشف غير المتماسك الموافق لها.

### 1.6. التعديل الثنائي بزحزحة الطور التفاضلي BDPSK

لدينا إشارة أولية بطور معين، لترميز البت 1 نعيد إرسال إشارة الرمز السابق، وكل قدم لبت 0 يؤدي إلى تغيير الطور. يمكن كشف هذا النوع من التعديل كشفاً متماسكاً بأخذ المرشح المتواافق مع الرمز السابق فإن كان متواافقاً مع إشارة الرمز الحالي جرى كشف البت 1 وإلا فالبت المكشف هو 0. في الحقيقة يمكن خزن إشارة الرمز السابق ومقارنته بإشارة الرمز الحالي معه؛ لنرى إن كان نفسه أم لا. يسمى هذا النوع ما الكشف بغير المتماسك، لأننا لا نحتاج لمعرفة الطور الحالي ويكتفى أن نعرف إن كان هناك اختلاف في الطور أم لا. انظر الشكل التالي للتعديل ثم فك التعديل والكشف

$k$	رقم العينة	0	1	2	3	4	5	6	7	8	9	10
$m(k)$	بت المعلومات	1	1	0	1	0	1	1	1	0	0	1
$c(k)$	ترميز البتات تفاضلياً البت الأولى كيفية	1	1	1	0	0	1	1	1	0	1	1
الصفحة الموافقة		$\pi$	$\pi$	$\pi$	0	0	$\pi$	$\pi$	$\pi$	0	$\pi$	$\pi$

.BDPSK (الشكل) التعديل

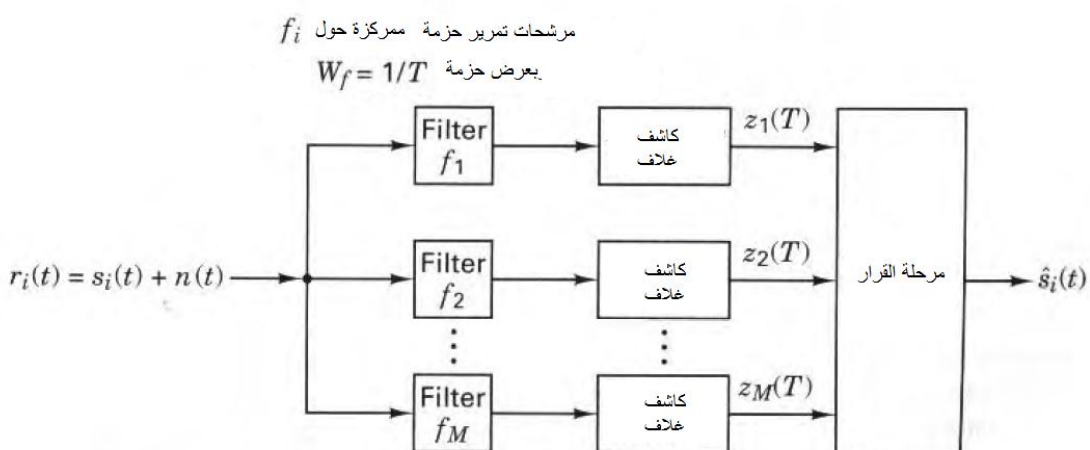


الرسالة الناتجة عن الكشف  $\hat{m}(k)$  1 1 0 1 0 1 1 0 0 1

(الشكل) فك التعديل السابق

## 2.6. التعديل بزحمة التردد FSK

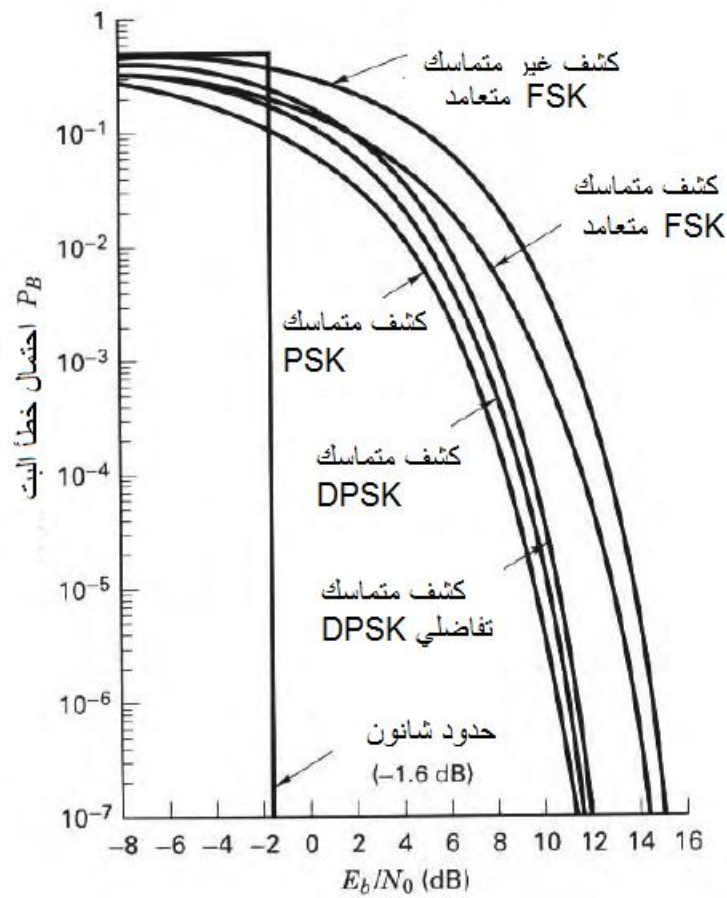
نذكر أنه في هذا التعديل يجري إرسال تردد مختلف لكل رمز، فإن كانت الرموز 0 أو 1 كان لدينا ترددان. في الكشف غير المتماسك يكفي مثلاً أن ندخل الإشارة المستقبلة إلى مجموعة مرشحات تمرير حزمة، كل مرشح يمرر أحد الترددات الموقعة للرموز، والمرشح الذي يعطى أعلى طاقة في خرجه يوافق الرمز المرسل. انظر الشكل التالي:



(الشكل) كشف غير متماسك لإشارات MFSK

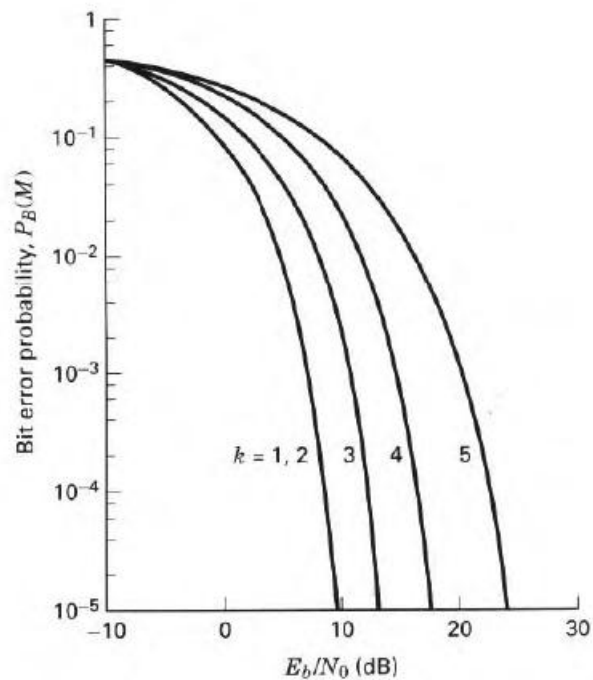
يجب أن يكون عرض حزمة كل مرشح تمرير حزمة مساوياً  $1/T$  كما يجب أن يكون التباعد بين أي ترددين لا يقل عن  $1/T$  حيث  $T$  مدة الرمز.

في الحقيقة، في حالة FSK و DPSK يمكن أن نفضل استعمال الكشف غير المتماسك على الكشف المتماسك، لأن تعقيد بنية الكاشف أقل والأداء ليس أقل بكثير من أداء الكشف المتماسك. تبين المنحنيات التالية أداء كواشف التعديل في حالات التعديل المختلفة:



(الشكل) مقارنة أداء كواشف التعديل في حالات التعديل المختلفة.

وفي حال استعمال الكشف المتماسك فإن استعمال التعديل المتعدد المستويات يمكن أن يؤدي إلى خطأ بت أقل، كما يوضحه الشكل التالي لكشف MPSK من أجل قيم مختلفة للمستويات  $k$ :



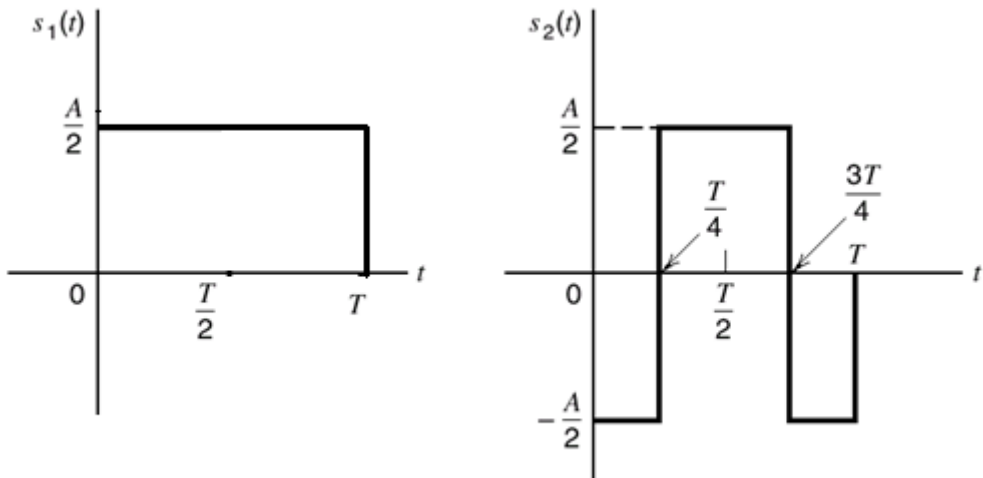
(الشكل) مقارنة أداء كواشف التعديل في حالات مستويات التعديل  $k$  المختلفة.

الجدول التالي يساعد على فهم هذه الأشكال لأنه يعطي احتمال الخطأ لمعظم حالات التعديل الرقمية المختلفة.

احتمال الخطأ في الكشف غير المتماسك	احتمال الخطأ في الكشف المتماسك	نوع التعديل الرقمي
	$P_e = \frac{1}{2} erfc [\sqrt{E_b / N_0}]$	NRZ بمطال $\pm A$ وطاقة البت $E_b = A^2 T_b$
	$P_M = \frac{(M-1)}{M} erfc \left( \sqrt{\frac{3 \cdot (\log_2 M) E_{avb}}{(M^2 - 1) N_0}} \right)$	MASK متوسطي طاقة البت $E_{avb}$
$P_e \approx \frac{1}{2} e^{-\frac{E_s}{4N_0}}$	$P_e = erfc \sqrt{\frac{E_s}{2N_0}}$	ASK نصف طاقة البت $E_s = E_b / 2$
$P_e \approx \frac{1}{2} e^{-\frac{E_s}{2N_0}}$	$P_e = erfc \sqrt{\frac{E_s}{N_0}} = erfc \sqrt{\frac{E_b}{N_0}}$	FSK تساوي طاقة البت $E_s = E_b$
$P_e = \sum_{k=1}^M \frac{(-1)^{k+1}}{k+1} \binom{M-1}{k} e^{-\frac{kE_s}{(k+1)N_0}}$	$P_e = 1 - \frac{1}{\sqrt{2\pi}} \int_{-\infty}^{\infty} e^{-u^2/2} \left[ 1 - erfc \left( u + \frac{2E_s}{N_0} \right) \right]^{M-1} du$	FSK متعدد المستويات بـ متوسطي $E_s = E_b \log_2 M$
	$P_e = erfc \sqrt{\frac{2E_s}{N_0}} = erfc \sqrt{\frac{2E_b}{N_0}}$	PSK بمتوسط طاقة $E_s = E_b$ بت
	$P_e = 2 \left( 1 - \frac{1}{L} \right) erfc \left[ \left( \sqrt{\log_2 L} \right) \left( \sqrt{\frac{6}{L^2 - 1}} \right) \left( \sqrt{\frac{E_b}{N_0}} \right) \right]$	L أو QAM مستوى

## تمارين محلولة

1. لدينا قناة ترسل الرموز  $x_1=1$ ,  $x_2=0$  باستخدام الإشارتين  $S_1$  و  $S_2$  المبينين بالرسم التالي (  $T$  مدة البت ) :



ارسم المرشح التكيفي الموافق لكل من الإشارتين السابقتين ولتكن الاستجابة النبضية لهما  $h_1$  و  $h_2$  على التالي.

ندخل كل من الإشارتين  $S_1$  و  $S_2$  على المرشح  $h_1$ . اكتب علاقة الخرج لكل من الدخلين وارسمهما  
(اكتب برنامجاً للرسم باستعمال ماتلاب)  
كيف يمكن استخدام خرج هذا المرشح لاستعادة البتات المرسلة بهذه الطريقة؟ اشرح ذلك.

**الحل:**

نلاحظ أن: الخرج للدخل الأول هو  $(h_1 * s_1)(t)$  وللدخل الثاني هو  $(h_1 * s_2)(t)$   
برنامج حساب الخرج:

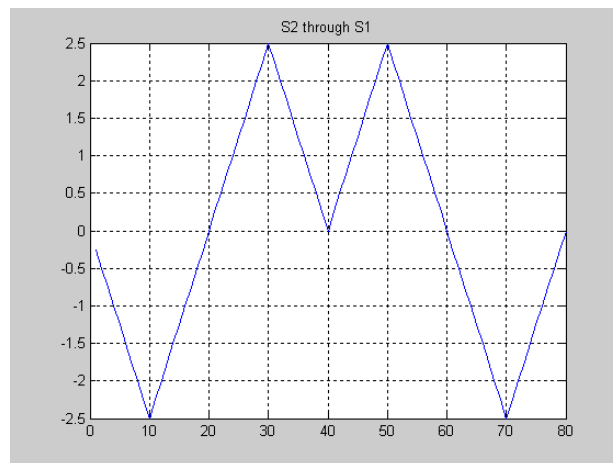
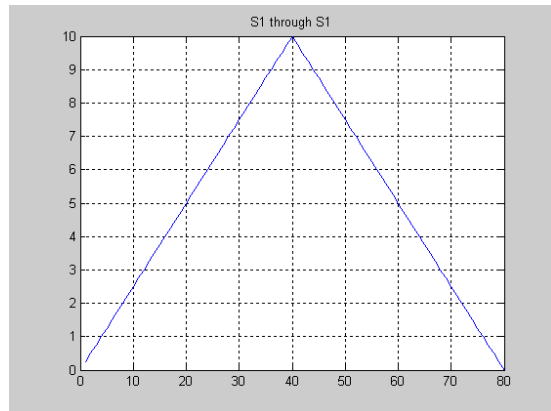
```
close all;
s = 0.5*ones(1,10);
y = [-s s s -s zeros(1,40)]; s2(t) followed by zeros
plot(y);
z =[0.5*ones(1,40) zeros(1,40)]; s1(t) followed by zeros
z1=filter(z,1,z); h1(t)*s1(t)=s1(t)*s1(t)
plot(z1); grid on;
```

```

title('S1 through S1');
figure;
z3=filter(y,1,z); h_l(t)*s_2(t)=s_1(t)*s_2(t)

plot(z3); grid on;
title('S2 through S1');

```



في اللحظة  $T$  الموافقة لـ 40 على المحور الفقي نرى أن الخرج أعظمي عند إرسال  $s_1$  وأصغرى في الحالة الأخرى، مما يمكننا من الكشف بمقارنة الخرج عند اللحظة  $T$  بالعبارة 5 للمثال السابق.

2. نظام اتصالات يرسل معطيات بالترميز NRZ باحتمال خطأ  $p_e = 10^{-6}$  كم يصبح احتمال الخطأ حين يتضاعف معدل البت؟

الحل:

لدينا  $E_b = A^2 T_b$  و  $P_e = \frac{1}{2} \operatorname{erfc} [\sqrt{E_b / N_0}]$ . حين يتضاعف معدل البت ينقال زمن البت  $T_b$  إلى النصف. فإذا كان  $P_e = \frac{1}{2} \operatorname{erfc} [u] = 10^{-6} \Rightarrow u = 3.3$ .  $u = \sqrt{E_b / N_0}$  في الحال الجديدة تتقصص  $u$  بمقدار  $\sqrt{2}$  فيكون  $P_e = \frac{1}{2} \operatorname{erfc} [u / \sqrt{2}] = \frac{1}{2} \operatorname{erfc} (2.33) = 10^{-3}$  (من الجدول).

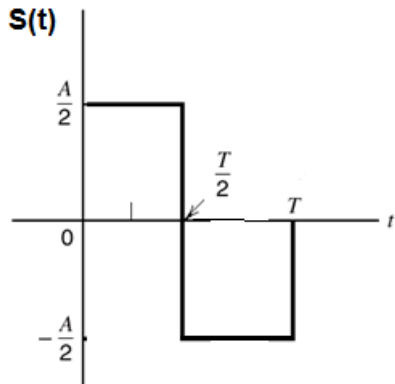
3. يرسل حاسوب معطيات بمعدل  $56 \text{ Kb/s}$  باستعمال تعديل PAM وبنبضات تجريب مرتفع. احسب عرض الحزمة اللازم للإرسال إذا كان معامل الانحدار  $r = 0.25, 0.5, 0.75, 1$ .

الحل:

$$W = 0.5(1+r).R_s = (1+r) * 28 \text{ kHz}$$

## تمارين للحل

- 1.** نود إرسال معطيات كمية جهاز تنظير هضمي علوي عالية الدقة ترسل 60 صورة في الثانية وتنتألف كل صورة من  $1080 \times 1920$  بكسلًا، هل يمكن عرض هذه الصورة على شاشة تلفاز 2 ميغا بكسل؟ وإذا كانت الشاشة تعرض 25 صورة في الثانية فهل سيرى الطبيب ما يمكن أن يراه بالعين المجردة؟ (قارن زمن العرض بزمن التصوير). ما عدد البكسلات المرسلة في الثانية؟ وإذا كانت الصور ملونة بحيث يمثل كل لون أساسى على بait فما عدد البتات المرسلة في الثانية؟ إذا أردنا إرسال الصور على خط رقمي بالتعديل القاعدي فما عرض الحزمة اللازم للنقل؟ اذكر قناة اتصال تعديل حزمة يمكنها نقل هذه المعطيات مع تبرير خيالك.
- 2.** نود الآن نقل الصورة السابقة باستخدام تقنيات ضغط بحيث يصبح معدل النقل  $44.736 \text{ Mb/s}$ . هل نحتاج إلى ضغط المعطيات (ما هي نسبة الضغط الضرورية) أم نستطيع تضمين عدة قنوات (ما عدد القنوات)؟ وما هو التعديل القاعدي الذي نستخدمه لهذه الخطوط؟ وإذا كانا نبدأ المعطيات بترويسة بaitين  $8181 \times 0$  فيبين شكل الإشارة المرسلة لهذه الترويسة على الخط للترايميز: .NRZ, RZ, Diphase, CMI, B3ZS
- 3.** لدينا إشارة رقمية معطاة بالشكل التالي:



والمطلوب رسم الاستجابة النبضية للمرشح المتکيف مع هذه النبضة، ثم ارسم إشارة خرج ترشیح هذه النبضة بهذا المرشح. ما هي قيمة الخرج عند اللحظة  $T$ ؟  
إذا أدخلنا نبضة مستطيلة عرضها  $T$  و مطالها  $A/2$  لهذا المرشح فما هي إشارة الخرج وما هي قيمتها عند اللحظة  $T$ ؟ ماذا تلاحظ؟ كيف يمكن استخدام هذا المرشح لكشف باتات تمثل فيها البت "واحد" بهذه النبضة والبت "صفر" بالنسبة المستطيلة؟

## مذاكرة

أجب باختصار واملاً الفراغات بما يناسب:

في اتصالات الحزمة القاعدية نكافي قناة الاتصال بمرشح وحيد يتضمن أثر مرشحات ثلاثة ..... يمكن أن يحصل تداخل في الرموز بسبب ..... وليس بسبب الضجيج. ولجعل أثر التداخل أصغرياً يمكن استعمال نبضات.....

في اتصالات تمرين الحزمة، نعرف مرشحاً متوافقاً مع نبضات الإرسال. فإذا كانت نسبة الإرسال

$$h(t) = g(T-t) \quad \dots \dots \dots$$

الكشف المتماسك هو الكشف الذي يستعمل .....

الكشف غير المتماسك يستعمل .....

أداء الكشف المتماسك ..... من أداء الكشف غير المتماسك. نفضل الكشف ..... لأنه أقل تعقيداً، دون خسارة كبيرة في الداء.

عند استعمال تعديل متعدد المستويات يصبح احتمال خطأ الرمز ..... ولكن انعكاسه على احتمال خطأ البت أقل حين اختيار الرموز بعناية، بحيث تختلف الرموز المتجاوحة بأقل عدد من البتات.

1. 'Digital and Analog Communication Systems', 8<sup>th</sup> edition, by Leon W. COUSH II, Pearson Education International, 2013 ch3-4
2. 'Digital Communications: Fundamentals and Applications", 2nd edition, by, Bernard SKLAR, Prentice Hall P T R, 2001 ch3-4

## حل المذكرة

في اتصالات الحزمة القاعدية نكافي قناة الاتصال بمرشح وحيد يتضمن أثر مرشحات ثلاثة هي **مرشح الإرسال و مرشح القناة و مرشح الاستقبال**. يمكن أن يحصل تداخل في الرموز بسبب **المرشح المكافئ** وليس بسبب الضجيج. ولجعل أثر التداخل أصغرياً يمكن استعمال نبضات **تجيب مرفوع**.

في اتصالات تمثيل الحزمة، نعرف مرشحاً متواافقاً مع نبضات الإرسال. فإذا كانت نسبة الإرسال

$$g^{(t)} \text{ خلال زمن الرمز } T \text{ كان المرشح المتتوافق يعطى بالعلاقة: } h(t) = g(T-t)$$

الكشف المتماسك هو الكشف الذي يستعمل **الترشيح بمرشحات متواقة مع نبضات الإرسال**

الكشف غير المتماسك هو الكشف الذي يستعمل **معالجة إشارة مناسبة**.

أداء الكشف المتماسك **أعلى** من أداء الكشف غير المتماسك. نفضل الكشف **غير المتماسك** لأنه أقل تعقيداً، دون خسارة كبيرة في الداء.

عند استعمال تعديل متعدد المستويات يصبح احتمال خطأ الرمز **أعلى**، ولكن انعكاسه على احتمال خطأ البت أقل حين اختيار الرموز بعناية، بحيث تختلف الرموز المجاورة بأقل عدد من البتات.

# ترميز القناة وتصحيح الأخطاء

يشير ترميز القناة إلى صنف من تحويلات الإشارة، يهدف إلى تحسين أداء نظم الاتصالات وجعل الإشارات المرسلة أكثر مناعة في وجه الآثار السيئة لقنوات الاتصالات مثل إضافة الضجيج، والتدخل، والتخييم. إن تطور تقانات الدارات المتكاملة وسرعة معالجات الإشارة الرقمية قد مكّن من تحقيق أداء أفضل من حيث معدل الخطأ وصل أحياناً إلى 10dB مقارنة بالطرق التي تعتمد على تحسين الأداء برفع الاستطاعة المرسلة واستعمال هوائيات أضخم.

يبين الشكل أنواع تحويل الإشارات الخاصة بترميز القناة من بين تحويلات أخرى في نظم الاتصالات:



نلاحظ أن جزءاً من ترميز القناة يعتمد على شكل الموجة وجزءاً آخر يعتمد على متتاليات رقمية.

فيما يتعلق بـ **ترميز شكل الموجة**، نذكر بعض المفاهيم الهامة:

- الإشارات المتعاكستان هما إشاراتان إحداهما عكس الأخرى مثل

$$s_1(t) = -s_2(t) = \sin(\omega_0 t), \quad 0 \leq t \leq T$$

- الإشارات المتعامدة هي إشارات تحقق:

$$z_{ij} = \frac{1}{E} \int_0^T s_i(t) \cdot s_j(t) dt = \begin{cases} 1 & \text{if } i = j \\ 0 & \text{else} \end{cases}$$

حيث  $E$  طاقة الإشارة وتساوي  $\int_0^T s_i^2(t) dt = E, \quad \forall i$  للإشارات المعنية التي يفترض أن تكون متساوية

الطاقة. نسمى  $z_{ij}$  عامل الترابط المتعارض cross-correlation coefficient.

- إجرائيات ترميز شكل الموجة **waveform coding** تحول مجموعة أشكال موجة إلى مجموعة أخرى محسنة. يمكن استعمال هذه المجموعة المحسنة لاستعادة الإشارة. وأفضل هذه الأرمزة هي المتعامدة. نسعى لأن تكون هذه الأرمزة مختلفة أكثر مما يمكن. الإشارات المتعاكسة عامل ترابطها المتعامد  $-1$  - أما المتعامدة فعامل ترابطها المتعارض معدوم.

في حال استعملنا إشارات رقمية (إشارات تمثل مجموعة برات بالترميز NRZ مثلاً)، يمكن أن تتحقق المتاليات ذات الطول الثابت المتعامدة العلاقة التالية:

$$z_{ij} = \frac{\text{عدد البارات المتفاقة لمتاليتين} - \text{عدد البارات المختلفة للمتاليتين}}{\text{عدد البارات في كل من المتاليتين}} = \begin{cases} 1 & \text{for } i = j \\ 0 & \text{otherwise} \end{cases}$$

مثال على الأرمزة المتعامدة:

يمكن أن نرمز البارتين 0 و 1 باستعمال كلمات ترميز بيتين، بحيث تكونان متعامدين كما يلي:

$$\begin{array}{c} \text{data\_set} \quad \text{orthogonal codeword\_set} \\ \hline \begin{bmatrix} 0 \\ 1 \end{bmatrix} \quad \Rightarrow H_1 = \begin{bmatrix} 0 & 0 \\ 0 & 1 \end{bmatrix} \end{array}$$

حيث يرمز البت 0 بالثنائية 00 والبت 1 بالثنائية 01.  
لترميز بيتين نوسع المصفوفة أفقياً وشاقولياً لنحصل على ما يلي:

$$\begin{array}{c} \text{data\_set} \quad \text{orthogonal codeword\_set} \\ \hline \begin{bmatrix} 0 & 0 \\ 0 & 1 \\ 1 & 0 \\ 1 & 1 \end{bmatrix} \Rightarrow H_2 = \begin{bmatrix} 0 & 0 & 0 & 0 \\ 0 & 1 & 0 & 1 \\ 0 & 0 & 1 & 1 \\ 0 & 1 & 1 & 0 \end{bmatrix} = \begin{bmatrix} H_1 & H_1 \\ H_1 & H_1 \end{bmatrix} \end{array}$$

وعموماً يمكننا بناء مجموعة كلمات ترميز  $H_k$  بعده  $2^k \times 2^k$  تسمى مصفوفة هادامارد hadamard matrix من المصفوفة  $H_{k-1}$  كما يلي:

$$H_k = \begin{bmatrix} H_{k-1} & H_{k-1} \\ H_{k-1} & H_{k-1} \end{bmatrix}$$

الآن للتحكم بالخطأ يمكن أن نضيف حشوًّا إلى الرسائل المرسلة بحيث نكشف الخطأ وعندها يمكن أن نطلب إعادة الإرسال أو أن يكون الترميز مصححاً للخطأ. نبين فيما يلي بعضًا من هذه الترميز.

## 1. الترميز الخطى الكتلى LBC

نفترض أن الرسائل الممكنة هي رسائل من  $k$  بتاً (لدينا  $2^k$  رسالة مختلفة)، سنرسل لكل رسالة كلمة ترميز من  $n$  بتاً  $n > k$ ، ونرمز للترميز بالثنائية  $(n,k)$ . البتات الإضافية هي تركيب خطية لبتات الرسالة (المجموع هو xor والضرب هو and للبتات). بحيث لكل رسالة كلمة ترميز واحدة تحسب بطريقة واحدة. نسمى النسبة  $k/n$  معدل الترميز .coding rate

الجمع	الضرب
$0 \oplus 0 = 0$	$0.0 = 0$
$0 \oplus 1 = 1$	$0.1 = 0$
$1 \oplus 0 = 1$	$1.0 = 0$
$1 \oplus 1 = 0$	$1.1 = 1$

**مثال:** الترميز  $(6,3)$ : لدينا  $2^3$  رسالة مختلفة، كلمات الرماز تتكون من 6 بتاب . نلاحظ أن كلمات الرماز تشكل فضاء شعاعياً جزئياً من فضاء الأشعة ذات البعد 6: (يتضمن هذا الفضاء الجزئي الشعاع الحيادي الصفرى، ومجموع أي كلمتين xor) هو كلمة من الفضاء).

### إسناد كلمات الترميز إلى الرسائل

شعاع الرسالة	كلمة الترميز
000	000000
100	110100
010	011010
110	101110
001	101001
101	011101
011	110011
111	000111

في الحقيقة، حين يكون عدد الرسائل صغيراً، كما في الحالة السابقة، يمكن استعمال جدول بحيث يعطي كلمة الترميز لكل رسالة. ولكن، في الحالات الأخرى، يستحيل استخدام هذه التقنية لذلك نلجأ إلى مصفوفات يمكن أن تولد الرماز. نختار  $k$  شعاعاً من الفضاء  $2^n$  مستقلة خطياً يمكن أن تولد الفضاء

الجزئي لكلمات الرمaz الذي عدد عناصره  $2^k$  وبحيث إذا كانت لدينا الرسالة ذات البتات  $m = m_0m_1...m_k$  والأشعة التي سنسميتها قاعدة الفضاء  $V_0V_1...V_k$  أمكننا حساب كلمة الترميز الخاصة بهذه الرسالة على شكل مركبات شعاع  $U$  يعطى بالعلاقة:

$$U = \sum_{i=1}^k m_i V_i$$

بشكل مصفوفاتي، إذا كانت المصفوفة  $G$  المؤلفة من  $k$  سطراً (عدد الأشعة  $V$ )، و  $n$  عموداً (عدد مركبات كل شعاع) هي:

$$G = \begin{bmatrix} V_1 \\ V_2 \\ \vdots \\ V_k \end{bmatrix} = \begin{bmatrix} v_{11} & v_{12} & \dots & v_{1n} \\ v_{21} & v_{22} & \dots & v_{2n} \\ \vdots & \vdots & \ddots & \vdots \\ v_{k1} & v_{k2} & \dots & v_{kn} \end{bmatrix}$$

وأمكننا كتابة  $U = m.G$  حيث  $m$  و  $U$  مصفوفات سطيرية. الضرب ضرب مصفوفاتي بحيث إذا كانت لدينا المصفوفتان: المصفوفة  $A$  بـ  $l$  سطراً و  $n$  عموداً والمصفوفة  $B$  بـ  $n$  سطراً و  $m$  عموداً، أمكننا حساب مصفوفة الجداء  $C = AB$  بحيث كل عنصر منها يحسب من العلاقة:

$$c_{ij} = \sum_{k=1}^n a_{ik} b_{kj}$$

الجمع هو xor والضرب هو and  
في المثال السابق، مصفوفة التوليد هي

$$G = \begin{bmatrix} V_1 \\ V_2 \\ V_3 \end{bmatrix} = \begin{bmatrix} 1 & 1 & 0 & 1 & 0 & 0 \\ 0 & 1 & 1 & 0 & 1 & 0 \\ 1 & 0 & 1 & 0 & 0 & 1 \end{bmatrix}$$

ولحساب كلمة الترميز للرسالة 110 نجد أن:

$$\begin{aligned} U_4 &= [1\ 1\ 0] \cdot \begin{bmatrix} V_1 \\ V_2 \\ V_3 \end{bmatrix} = 1.V_1 + 1.V_2 + 0.V_3 \\ &= 1\ 0\ 1\ 0\ 0 + 0\ 1\ 1\ 0\ 1 + 0\ 0\ 0\ 0\ 0\ 0 \\ &= 1\ 0\ 1\ 1\ 1\ 0 \end{aligned}$$

حيث كلمة الرمaz الموافقة هي 101110.  
في الترميز الخطى الكتلى النظامي systematic linear bloc codes، تكون كلمة الرمaz من  $n-k$  بتاً لفحص الندية، يتلوها  $k$  بتاً هي برات الرسالة. فيمكننا كتابة المصفوفة  $G$  بالشكل:

$$G = [P \mid I_k]$$

$$= \begin{bmatrix} p_{11} & p_{12} & .. & p_{1,(n-k)} & 1 & 0 & .. & 0 \\ p_{21} & p_{22} & .. & p_{2,(n-k)} & 0 & 1 & .. & 0 \\ . & . & . & . & & & & . \\ p_{k1} & p_{k2} & .. & p_{k,(n-k)} & 0 & .. & 0 & 1 \end{bmatrix}$$

نسمى  $P$  جزء فحص الندية parity check portion. وعندما يمكن كتابة كلمة الترميز على شكل ببات ندية تتلوها ببات الرسالة

$$U = \underbrace{p_1, p_2, \dots, p_{n-k}}_{\text{باتات الندية}}, \quad \underbrace{m_1, m_2, \dots, m_k}_{\text{باتات الرسالة}}$$

وهنا يلزمونا فقط حساب ببات الندية.

في مثالنا السابق، يلزمونا فقط حساب ببات كلمات الترميز الثلاث الأولى، ونلحق بها ببات الرسالة، كما يبينه الشكل التالي:

$$U = [m_1 \ m_2 \ m_3] \cdot \left[ \begin{array}{ccc|ccc} 1 & 1 & 0 & 1 & 0 & 0 \\ 0 & 1 & 1 & 0 & 1 & 0 \\ 1 & 0 & 1 & 0 & 0 & 1 \\ \hline P & & & I_3 & & \end{array} \right]$$

$$= [\underbrace{m_1 + m_3}_{u_1}, \underbrace{m_1 + m_2}_{u_2}, \underbrace{m_2 + m_3}_{u_3}, \underbrace{m_1}_{u_4}, \underbrace{m_2}_{u_5}, \underbrace{m_3}_{u_6}]$$

نعرف مصفوفة فحص الندية على أنها المصفوفة:  $[H^T]$

$$H^T = \begin{bmatrix} I_{n-k} \\ \hline P \end{bmatrix}$$

فيكون منقولها:

ونتحقق بسهولة أن  $GH^T = 0$  وبذلك يكون

وبذلك، فإذا استقبلنا الباتات  $r = r_0 r_1 \dots r_k$  أمكننا أن نكتب:  $r = U + e$ ، حيث  $e$  ببات خطأ. فإذا كان الاتصال مثالياً من دون أخطاء، كانت  $e = 0$  و  $r = U$ . ولمعرفة وجود أخطاء من عدمها،

نحسب اختبار العرض syndrome test  $S = rH^T$  :syndrome test . ونرى أن:

$$\begin{aligned} S &= rH^T \\ &= (U + e)H^T \\ &= rH^T + eH^T = eH^T \end{aligned}$$

لكي يكون الفحص فعالاً يجب ألا يكون أي عمود من  $H$  يساوي شعاعاً صفرياً، وأن تكون جميع الأعمدة متمايزة مثنية.

لنفترض مثلاً أننا أرسلنا كلمة الترميز  $m = 101110$  واستقبلنا  $r = 001110$

$$S = rH^T = [001110] \begin{bmatrix} 1 & 0 & 0 \\ 0 & 1 & 0 \\ 0 & 0 & 1 \\ 1 & 1 & 0 \\ 0 & 1 & 1 \\ 1 & 0 & 1 \end{bmatrix} = [10 \ 0]$$

حسب:

ويمـا أنه غير معـدوم هـذا يعني وجود خطـأ. حـسب  $eH^T$  فـجد:

$$S = eH^T = [1 \ 0 \ 0 \ 0 \ 0 \ 0] H^T$$

وبـذلك يـساعد فـحـص العـرـض عـلـى كـشـف الـخـطـأ.

يمـكن باـستـعمال مـفـهـوم المسـافـة الصـغـرى بـيـن كـلمـتـي تـرمـيزـوـهـو أـقـل عـدـد مـن التـغـيـرات فـي الـبـاتـات بـيـن الـكـلمـتـين Hamming distanceـوـتقـنيـات أـخـرى مـن تـصـحـيـح الـخـطـأ.

فيـالـحـقـيقـة إـذـا عـرـفـنا  $d_{\min}$  عـلـى أـنـها المسـافـة الصـغـرى للـرـمـاز (الـمسـافـة بـيـن كـلمـتـي رـمـاز  $U, V$ ) هو عـدـد الـبـاتـات المـخـلـفة بـيـن الـكـلمـتـين وـيـساـوي عـدـد الـوـحدـان فـي الـكـلمـة  $U \oplus V$ . يـبرـهـن أـن التـرمـيزـالـخـطـي الـكـلـتـي يـسـتـطـع كـشـف الـأـخـطـاء الـتـي لـا يـتـجـاـزـ عـدـدهـا  $d_{\min} - 1$ ، وـيـسـتـطـع تـصـحـيـح الـأـخـطـاء الـتـي

$$\text{لا يـتجاوز طـولـها} \cdot t = \left\lfloor \frac{d_{\min} - 1}{2} \right\rfloor$$

متـالـ:

لنـفـرـض أـنـا نـوـد تـصـمـيم رـمـاز  $(n, k)$ . لـلـمـقـاـيـضـة الجـيـدة بـيـن كـشـف الـخـطـأ وـتـصـحـيـحـه يـجب أـنـ تكون  $t$  عـلـى الـأـقـل وـهـذا يـقـنـصـي أـنـ تكون  $d_{\min} = 2t + 1 = 5$ .

ويـجـب أـنـ يـكـون عـدـد بـاتـات الرـمـاز  $2^k = n$  عـلـى الـأـقـل. وبـذلك يـكـون عـدـد كـلمـات الرـمـاز  $4^k = 2^k$ . إذـن الرـمـاز  $(n, 2)$ .

لـدـيـنا شـرـط آخر يـجـب أـنـ يـتـحـقـق وـهـو:  $d_{\min} \leq \frac{n \times 2^{k-1}}{2^k - 1}$ ، يـسـمـى هـذـا الحـد plotkin bound. هـذـا يـعـطـي  $n = 8$ . وبـذلك يـكـون الرـمـاز  $(8, 2)$ .

لـمـعـرـفـة كـلمـات التـرمـيز نـفـرـض أـنـ آخر بـتـين هـما بـاتـات الـمـعـطـيـات. يـجـب أـنـ تـضـم كـلمـات الرـمـاز الـكـلمـة 00000000. نـخـتـار الـبـتـين الـأـخـفـض دـلـالـة هـي بـاتـات الـمـعـطـيـات. أـحـد الـأـمـثلـة:

<i>Message</i>	<i>Codewords</i>
00	00000000
01	11110001
10	00111110
11	11001111

وتكون المصفوفة المولدة:

$$G = \begin{bmatrix} 00111110 \\ 11110001 \end{bmatrix}$$

**الأرمزة الدوارة** هي حالة خاصة من الأرمزة الخطية تحقق الخاصية التالية: إذا كانت  $U = (u_0, u_1, \dots, u_{n-1})$  كلمة رماز فإن أي انزياح دوراني يعطي كلمة تميز أخرى. يمكن النظر إلى كلمة الرماز كمعاملات كثير حدود  $U(X)$  كما يلي:  $U(X) = u_0 + u_1X + u_2X^2 + \dots + u_{n-1}X^{n-1}$ .

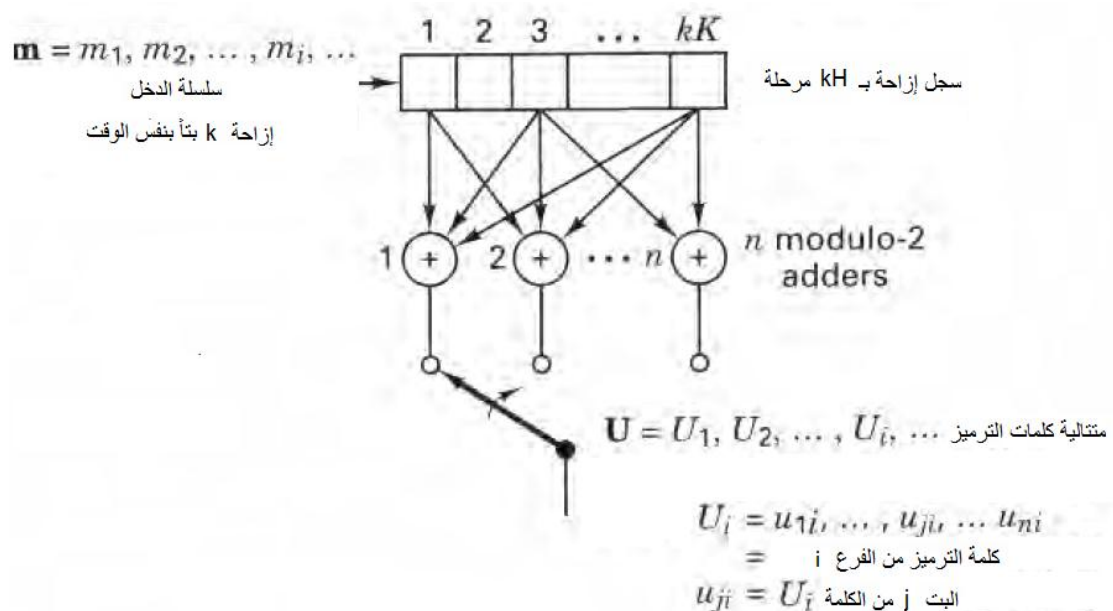
عندما تكون كلمات الرماز هي باقي قسمة  $U(X)$  على  $X^n + 1$  حين  $i = 0, 1, \dots, n-1$ .

يمكنا توليد كلمات الرماز بدءاً من كثير حدود مولد:  $U(X) = m(X).g(X)$ ، حيث  $g(X) = g_0 + g_1X + g_2X^2 + \dots + g_pX^p$ ,  $g_0 = g_p = 1$  من الدرجة  $n-1$  و  $m(X) = m_0 + m_1X + m_2X^2 + \dots + m_{n-p-1}X^{n-p-1}$ . ويكون لدينا  $2^{n-p}$  كثير حدود مختلف  $(n, k)$  للرماز.

يجب أن يكون كثير الحدود  $g(X)$  أحد معاملات  $X^n + 1$ . على سبيل المثال:  $X^7 + 1 = (1 + X + X^3)(1 + X + X^2 + X^4) = g_1(X).g_2(X)$  فيمكن استعمال  $g_1(X)$  لتوليد رماز دوار  $(n, k) = (7, 4)$ ، أو استعمال  $g_2(X)$  لتوليد رماز دوار  $(n, k) = (7, 3)$ . باختصار إذا كان كثير حدود من المرتبة  $n-k$  يقسم  $X^n + 1$ ، فهو يحدد رمازاً دوريًا وحيداً  $(n, k)$ . كشف الخطأ يكون بكشف إن كان  $g(X)$  يقسم كثير الحدود الموافق لكلمة مستقبلة.

## 2. الترميز التلفيفي

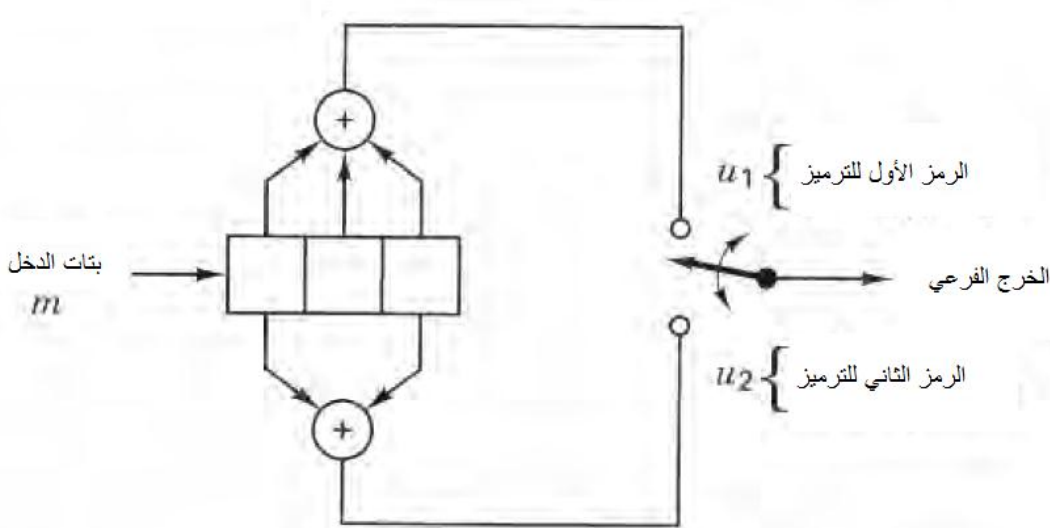
يتحدد الرماد التلفيفي بثلاثة أعداد صحيحة  $K$ ,  $n$ ,  $k$  and  $n/k$ . نسبة الترميز  $n/k$  الدلالة نفسها في أنها تقيس مقدار الحشو المضاف على الرسالة ذات  $k$  بتاً أما البتات  $n$  فهي ليست تابعاً لبتات الرسالة فقط، كما في حالة الترميز الخطى الكتلى، وإنما أيضاً  $1 - K$  رسالة سابقة بأخذ  $k$  بتاً من كل منها. نسمى  $K$  طول القيد constraint length. وبهذا نرى أن الترميز التلفيفي يتطلب ذاكرة. يبين الشكل التالي مرمزاً تلفيفياً بطول قيد  $K$  ومعدل  $n/k$ :



في كل وحدة زمنية، تجري إزاحة  $k$  بتاً إلى اليمين وإعادة حساب  $n$  بتاً هي خرج الجامع xor (modulo 2 adders) تكون كلمة الرماد المرسلة في هذه اللحظة، وهكذا... يمكن تمثيل عملية الترميز بإحدى الطرائق التالية:

## 1.2. التمثيل بوصلات connection representation

لأخذ المثال التالي لترميز تلفيفي  $(2,1)$  في حالة  $K=3$ .

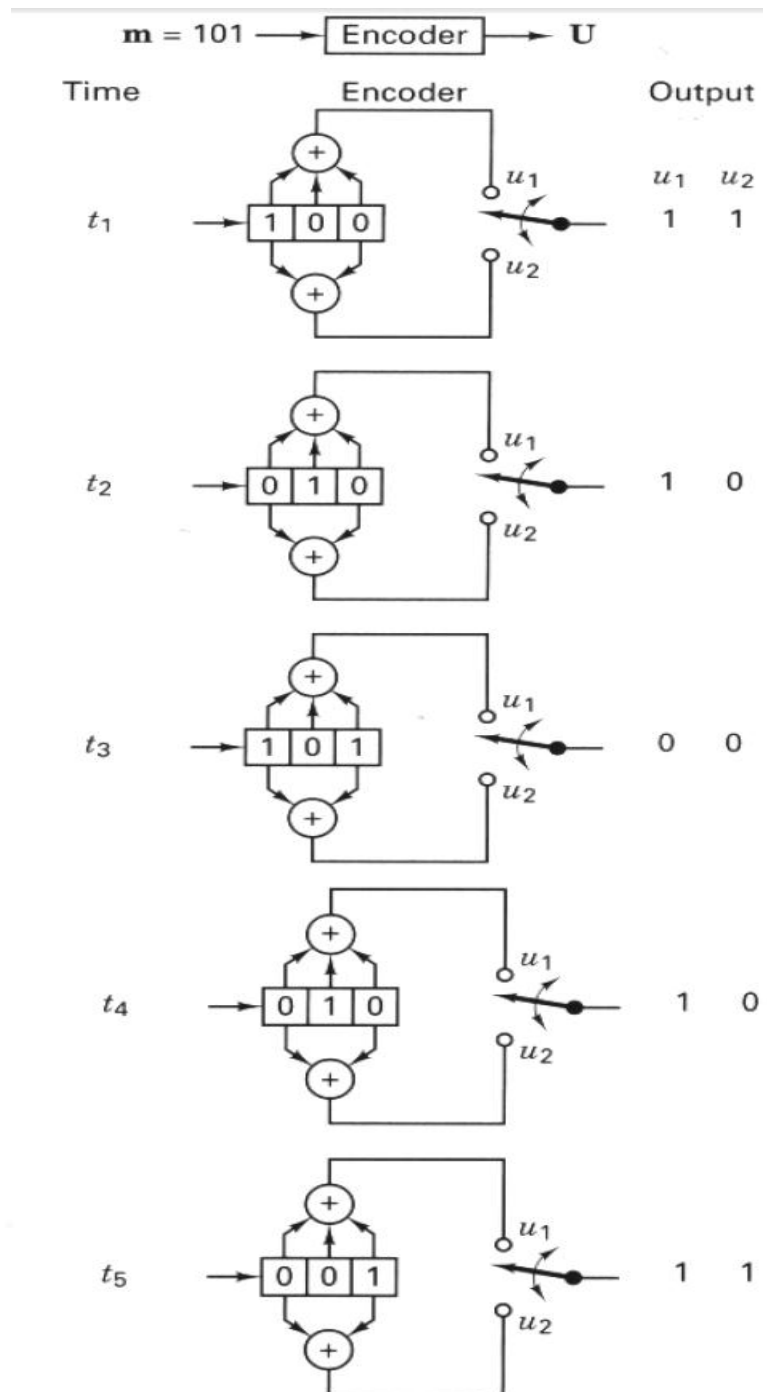


رمز الترميز الأول ينتج من جمع البتات الثلاثة من سجل الإزاحة الذي يستقبل باتات الرسالة، ونمثله بالشاعع  $g_1 = 111$  ، أما رمز الترميز الثاني فينتج من جمع البتين الأول والثالث، ونمثله بالشاعع  $g_2 = 101$

لنفترض أن الرسالة  $m = 101$  ، في اللحظات الثلاث الأولى، نضطر لإضافة  $2 = K - 1 = 3 - 1$  صفرًا لتأكد أن البت الأخير مر على جميع مواقع سجل الإزاحة.

إذا كانت الرسالة تتكون من بت 1 وحيد، نضيف لها  $2 = K - 1$  صفرًا، ونحسب الخرج، نسمى هذا الخرج الاستجابة النبضية. ولحساب الخرج الموافق للرسالة  $m = 101$  فإننا نراكب الاستجابة النبضية إلى الاستجابة النبضية المؤخرة (الموافقة للبت الثالث) فنحصل على الاستجابة المطلوبة كما يبينه الشكل التالي:

تدخل أول بت من اليسار فنملأ السجل بصفرين قبلها، وكلما دخلت بت نجري الإزاحة إلى اليمين، وهكذا...وفي كل مرة نحسب بت الترميز.



يبين الشكل التالي حساب الاستجابة النبضية: النبضة مؤلفة من بت واحد تتحرك في سجل الإزاحة من اليسار إلى اليمين، ونحسب الخرج (الكلمات الفرعية المؤلفة من بتين) لكل حالة.

كلمات فراغية	$u_1$	$u_2$
محتوى السجل		
1 0 0	1	1
0 1 0	1	0
0 0 1	1	1
متتالية الدخل نبضة	1	0
متتالية الخرج: استجابة نبضية	1 1	1 0
	1 1	

وتراكب الاستجابات يعطي الاستجابة الكلية كما هو مبين:

Input m	Output			
1	1	1	0	1
0		0	0	0
1			1	1
الجمع بالمقاس ٢	1	1	1	1

يمكن أيضاً إجراء حساب الخروج من رسالة الدخل باستعمال كثيرات الحدود للرسالة وللساعتين  $g_1, g_2$ . المخطط التالي يبين بوضوح هذه الحسابات:

$$g_1(X) = 1 + X + X^2$$

$$g_2(X) = 1 + X^2$$

$$m=101 \Rightarrow m(X)=1+X^2$$

$$m(X).g_1(X) = (1 + X^2).(1 + X + X^2) = 1 + X + X^3 + X^4$$

$$m(X).g_2(X) = (1 + X^2).(1 + X^2) = 1 + X^4$$

$$m(X).g_1(X) = (1 + X^2).(1 + X + X^2) = 1 + X + 0.X^2 + X^3 + X^4$$

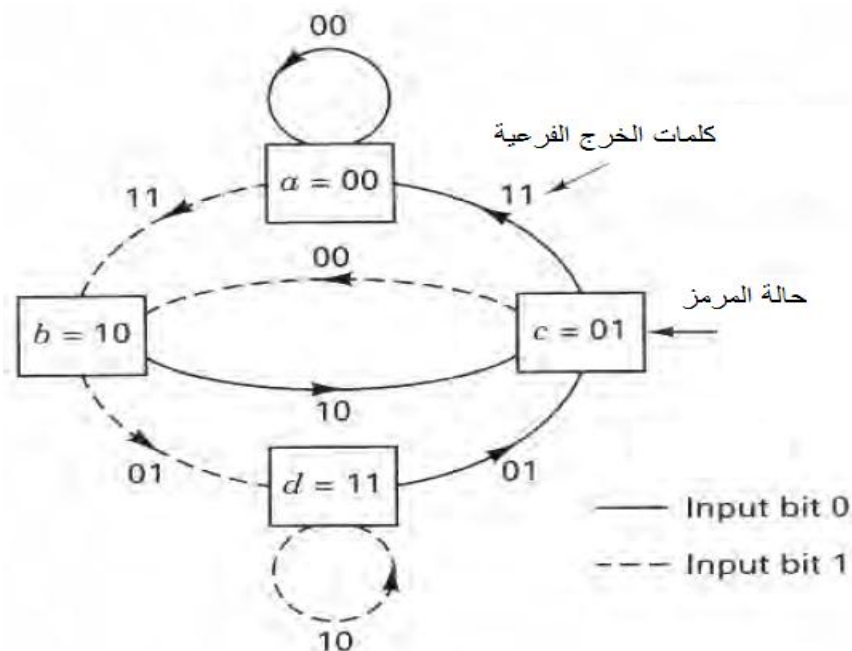
$$m(X).g_2(X) = (1 + X^2).(1 + X^2) = 1 + 0.X + 0.X^2 + 0.X^3 + X^4$$

$$U(X) \equiv (1,1) + (1,0)X + (0,0)X^2 + (1,0)X^3 + (1,1)X^4$$

$$U \equiv 11 \phantom{0}10 \phantom{0}00 \phantom{0}10 \phantom{0}11$$

## 2.2. مخططات الحالة state diagram

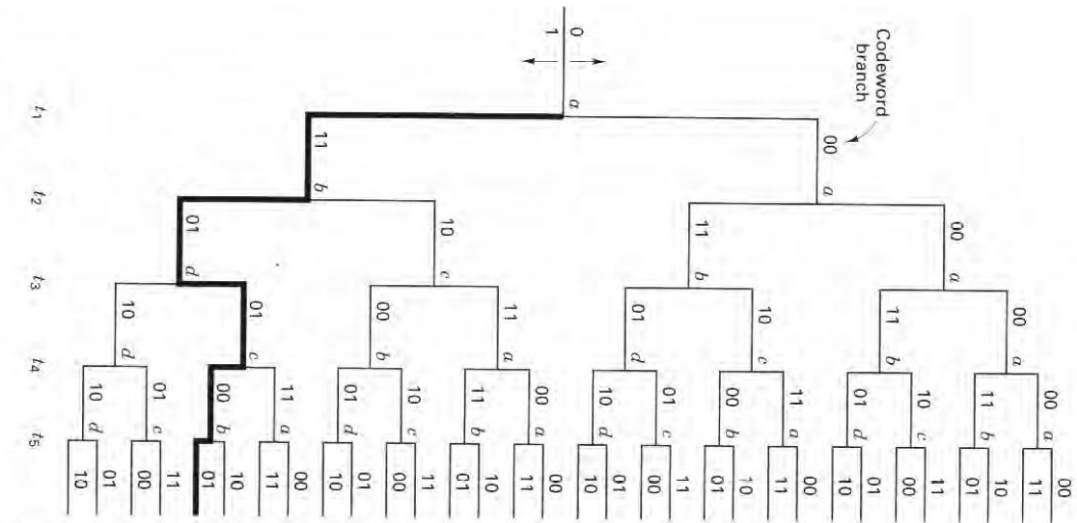
فإذا كان لدينا في السجل البتان 00 تكون في الحالة  $a$ . تأتي بت الدخل فإن كانت 0 فإن الكلمتين الفرعويتين كل منهما 0 ونبقي في الحالة  $a$ . أما إذا كانت بت الدخل 1 كانت الكلمتان الفرعويتان كل منها 1 في اللحظة التالية يكون البتات 10 في أقصى يمين سجل الإزاحة ونكون قد انتقلنا إلى الحالة  $b$ ، وهكذا...



### 3.2. مخططات شجرية tree diagram

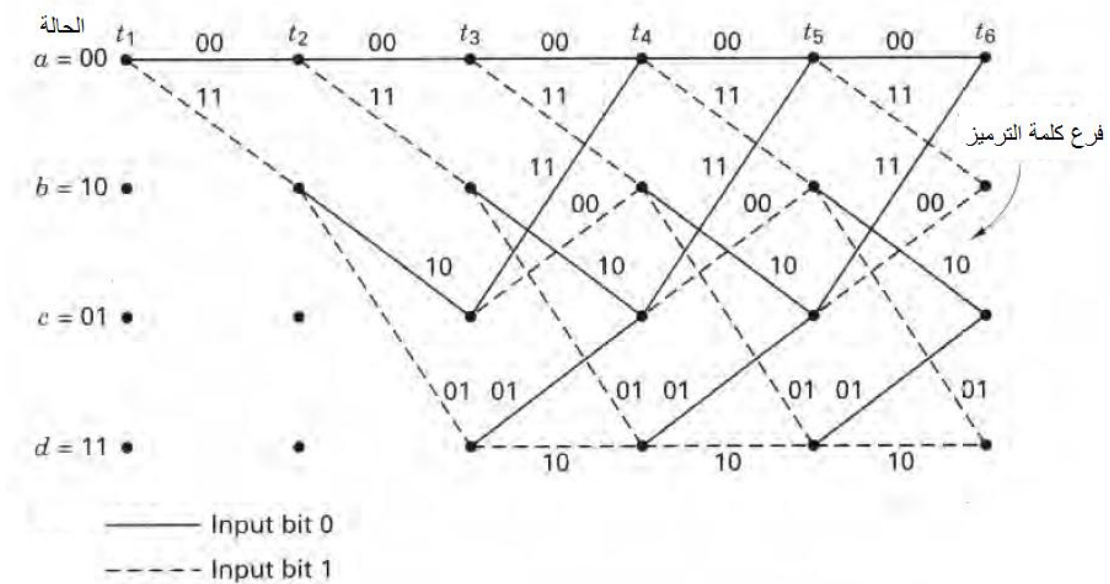
تشبه مخططات الحالة، ولكن يضاف لها البعد الزمني، عند دخول البت 0 إلى سجل الإزاحة نأخذ أحد فروع الشجرة وعند دخول البت 1 نأخذ الفرع بالاتجاه الآخر. وما يظهر على الفرع هو كلمات الخرج الفرعوية. الحروف  $a, b, c, d$ ، تشير إلى نفس الحالات لمخططات الحالة.

مثلاً نطلق من الحالة  $a$ ، قدم بت 0 يأخذنا إلى الفرع اليميني ونبقي في الحالة  $a$  وتكون كلمات الترميز 00 وقدوم بت 1 يأخذنا إلى الفرع اليساري إلى الحالة  $b$  وتكون كلمات الترميز 11 . في حالتنا ببدأ بالحالة  $a$  وبنات الرسالة 101. يأتي أولاً البت 1 ينقلنا إلى الحالة  $b$ ، ثم البت 0 ينقلنا إلى الحالة  $d$  وهكذا..



## 4.2. مخططات شبكيّة trellis diagram

إذا نظرنا إلى المخطط الشجري نجد تكراراً بعدد طول القيد  $K$ ، لذلك يمكن استعمال المخطط الشبكي لتمثيل الترميز، باختصار بعض فروع الشجرة المكررة، كما يلي:



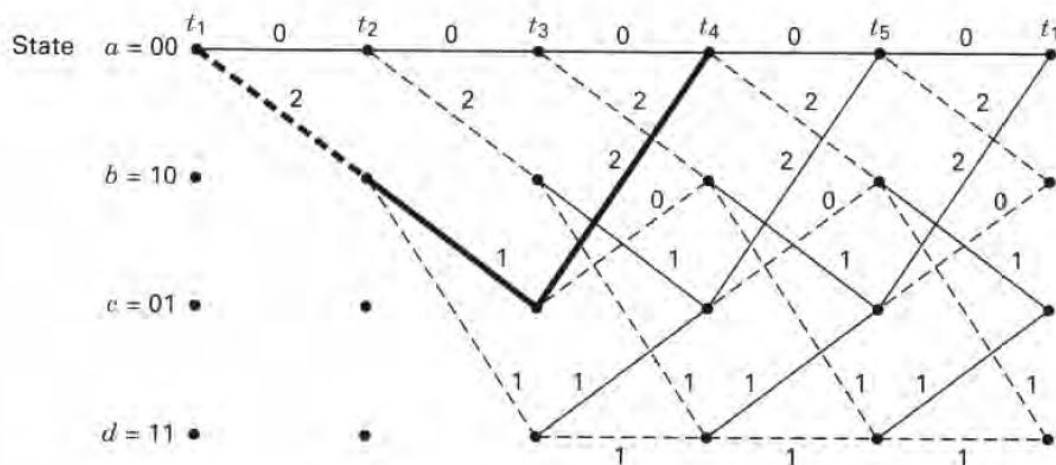
### مخطط ترميز شبكي للرماز السابق (معدل ترميز $2/3$ ) .

لكشف الترميز التلفيفي، تستعمل مفاهيم رياضية مثل الأرجحية العظمى، فإذا اعتربنا لجميع الرسائل الاحتمالية نفسه، وبما أن الرسائل  $m$  يمكن أن تعطي أي خرج  $U$ ، فإننا عند استقبال  $Z$  معينة موافقة لرسالة ما، فإن الرسالة المرسلة (فك الترميز) هي التي تعطي أعلى احتمال لإنتاج  $Z$ .

$$P\left(Z \mid U^{(m')}\right) = \max_{\text{over all } U^{(m)}} P\left(Z \mid U^{(m)}\right)$$

يمكن أيضاً استعمال خوارزمية فيتريبي Viterbi لكشف الترميز التلفيفي. وهي خوارزمية تعتمد مبدأ الأرجحية العظمى ولكن بتبسيط الحسابات بالاستفادة من بنية الترميز التشابكية نفسها. وباعتماد المسار الأكثر أرجحية من بين المسارات. يمكن الرجوع إلى المرجع لقصيل أكثر.

لدراسة كشف الخطأ وتصححه، يمكن النظر إلى الترميز التلفيفي على أنه مجموعة ترميز خطية، ولإيجاد المسافة الصغرى بين كلمات الترميز، نفترض دخلاً جميع بتاته صفرية (لأن رسائل الدخل متكافئة نجري الحساب على رسالة دخل صفرية)، المسارات المهمة هي التي تبدأ بـ 00 وتنتهي به، دون أن يتكرر وروده ضمنها، ولها طول معين. حين يحدث خطأ سنجد مسارات أقصر من المتوقع بحيث يستبعد المسار الأصلي. المسافة الصغرى في مجموعة المسارات التي تبتعد ثم تعود للتلقي المسار الأصلي تسمى المسافة الحرة  $d_f$ . وهي توافق المسافة الصغرى في الترميز الكتلي. في مثالنا السابق هذه المسافة هي 5 (انظر الخط السميك في المخطط التشابكي التالي. مسافات هامنخ محسوبة بالرجوع إلى المخطط التشابكي السابق).



حيث تظهر الأرقام مسافة هامنخ بين معطيات الحالات المتتالية. السطر الأفقي العلوي ينطلق من الحالة "00" =  $a$  ويبقى الخرج 00 في هذه الحالة فمسافة هامنخ 0. السطر المائل من أقصى اليسار يصبح الخرج 11 ومسافة هامنخ عن 00 هي 2 وهذا..

ويبكون بإمكان الترميز تصحيح أخطاء عددها لا يتجاوز

$$\cdot \quad t = \left\lfloor \frac{d_f - 1}{2} \right\rfloor$$

في الحقيقة، يجري التركيز على الترميز التلفيفي في جميع التطبيقات تقريباً لأنها أفضل أداء من الترميز الكثلي، وينفذ بتعقيد أقل، ويطلب نسبياً أقل من نسبة الإشارة إلى الضجيج. وهو يستعمل في الاتصالات الفضائية وغيرها.

### 3. ترميز Reed-Solomon R-S

ترميز  $R-S$  هي ترميز دوارة غير ثنائية، تستعمل رموزاً من متتاليات ثنائية من  $m$  بتاً، حيث  $m$  عدد صحيح موجب أكبر تماماً من 2. نعرف الترميز  $(n,k) R-S$  حيث يكون عدد رموز المعطيات  $k$  رمزاً وعدد الرموز الكلية  $n$  رمزاً. ويكون لدينا:

$$0 < k < n < 2^m + 2$$

$$(n,k) = (2^m - 1, 2^m - 1 - 2t)$$

$$n - k = 2t$$

$t$  هو عدد أخطاء الرموز التي يمكن أن يصححها الترميز.

نعرف ترميز  $R-S$  الموسع حين يكون  $n = 2^m$  or  $n = 2^m + 1$ .

المسافة الصغرى بين كلمات الترميز هي  $d_{\min} = n - k + 1$  ويستطيع الترميز تصحيح أخطاء عددها

$$t = \left\lfloor \frac{d_{\min} - 1}{2} \right\rfloor = \left\lfloor \frac{n - k}{2} \right\rfloor$$

في الحقيقة، تتميز الأرمزة الثنائية عن الأرمزة غير الثنائية بالأداء. لأخذ المثال التالي:

الرماز الثنائي  $(n,k) = (7,3)$  يتضمن  $8 = 2^3$  كلمة ترميز من أصل  $128 = 2^7$  كلمة ذات 7 بتات.

الرماز غير الثنائي  $(n,k) = (7,3)$  الذي يتضمن رمزاً على  $m = 3$  بتات كل منها يتضمن

$2^{nm} = 2^9 = 512$  كلمة رماز من أصل  $2,097,152 = 2^{21}$  كلمة. وتقل النسبة بين كلمات

الرماز والكلمات الكلية بازيداد عدد بتات الرموز  $m$ . وبذلك تزداد  $d_{\min}$ .

يتميز الرماز  $R-S$  بأداء عال تجاه الضجيج الدفعي burst noise. لأخذ على سبيل المثال الرماز

$R-S(n,k) = (255,247)$  حيث يتكون كل رمز من  $m = 8$  بتاً. لأن  $n - k = 8 = 2t$ ، يستطيع هذا

الرماز تصحيح أخطاء مكونة من 4 رموز أو 28 بتاً. فإذا ضرب ضجيج دفعي معطيات مدتها 25 بتاً،

فهذا الضجيج يؤثر على 4 رموز وبالتالي يمكن تصحيحة. وفهم ترميز وفك ترميز هذا الرماز علينا أن

نراجع بعض المفاهيم المتعلقة بالحقول المنتهية.

**الحقول المنتهية Finite Fields:** وتسمى أيضاً حقول غالوا Galois Fields. لكل عدد أولي  $p$  يوجد حقل غالوا  $GF(p)$ ، يضم  $p$  عنصراً، ويمكن توسيعه ليضم  $p^m$  عنصراً ونشير إليه بالتدوين  $GF(p^m)$  وتكون عناصر  $GF(p)$  مجموعة جزئية منه. تستعمل التوسيعة  $GF(2^m)$  في بناء ترميز ريد-سولومون، ويتضمن هذا الحقل بالإضافة إلى العنصرين 0, 1، عنصراً  $\alpha$  والقوى المتناثلة له؛ ولكي يكون الحقل مغلقاً بالنسبة للضرب يجب أن يتحقق:  $\alpha^{(2^m-1)+1} = 0$  أو بشكل مكافئ  $\alpha^0 = 1 = \alpha^{(2^m-1)}$ . وبذلك تكون عناصر الحقل:  $\{0, \alpha^0, \alpha^1, \alpha^2, \dots, \alpha^{(2^m-2)}\}$ . أما بالنسبة لعملية الجمع، فيجري تمثيل كل عنصر (غير الصفر) من الحقل بكثير حدود:

$$a_i(X) = \alpha^i = \sum_{j=0}^{m-1} a_{i,j} X^j$$

وتمثل عملية الجمع كما يلي:

$$\alpha^i + \alpha^j = \sum_{k=0}^{m-1} (a_{i,k} + a_{j,k}) X^k$$

نقول عن كثير حدو (f(X)) من الدرجة m غير قابل للاختزال irreducible إنه أولي primitive . إذا كان أصغر عدد صحيح n بحيث f(X) يقسم  $X^n + 1$  هو  $n = 2^m - 1$ . على سبيل المثال إذا أخذنا كثير الحدو  $f(X) = 1 + X + X^4$  يمكننا بسهولة أن نتأكد أن f(X) يقسم  $1 + X^n$ ,  $1 \leq n < 15$  ،  $1 + X^n = 1 + X^{(2^m-1)} = 1 + X^{15}$  وبذلك يكون كثير الحدو f(X) أولياً.

الجدول التالي يبين بعض كثيرات الحدو الأولية:

$m$	$f(X)$
3	$1 + X + X^3$
4	$1 + X + X^4$
5	$1 + X^2 + X^5$
6	$1 + X + X^6$
7	$1 + X^3 + X^7$

لأخذ كثير الحدو الأولي من الدرجة الثالثة  $f(X) = 1 + X + X^3$  في الحقل  $GF(2)$  فإن  $f(0) = f(1) = 1$  أما في الحقل  $GF(2^3)$  فسيكون لكثير الحدو ثلاثة جذور . لفترض أن  $\alpha$  هو أحد الجذور أي أن  $\alpha^3 = 1 + \alpha$  . عملية الجمع هي xor . لنحسب القوى المتتالية لـ  $\alpha$ :

$$\begin{aligned}\alpha^3 &= 1 + \alpha \\ \alpha^4 &= \alpha + \alpha^2 \\ \alpha^5 &= \alpha^2 + \alpha^3 = \alpha^2 + 1 + \alpha \\ \alpha^6 &= \alpha^3 + \alpha + \alpha^2 = 1 + \alpha^2 \\ \alpha^7 &= \alpha + \alpha^3 = 1 = \alpha^0\end{aligned}$$

وبذلك تكون عناصر الحقل  $GF(2^3) = GF(8)$  هي  $\{0, \alpha^0, \alpha, \alpha^2, \alpha^3, \alpha^4, \alpha^5, \alpha^6\}$

	0	0	0	0
$\alpha^0$	1	0	0	
$\alpha^1$	0	1	0	
$\alpha^2$	0	0	1	
$\alpha^3$	1	1	0	
$\alpha^4$	0	1	1	
$\alpha^5$	1	1	1	
$\alpha^6$	1	0	1	
$\alpha^7$	1	0	0	$=\alpha^0$

يبين الجدولان التاليان عمليات الجمع Addition والضرب Multiplication لهذا الحقل:

	الجمع في الحقل $f(X) = 1 + X + X^3$ حيث $GF(2^3) = GF(8)$						
$\oplus$	$\underline{\alpha^0}$	$\underline{\alpha^1}$	$\underline{\alpha^2}$	$\underline{\alpha^3}$	$\underline{\alpha^4}$	$\underline{\alpha^5}$	$\underline{\alpha^6}$
$\alpha^0$	0	$\alpha^3$	$\alpha^6$	$\alpha^1$	$\alpha^5$	$\alpha^4$	$\alpha^2$
$\alpha^1$	$\alpha^3$	0	$\alpha^4$	$\alpha^0$	$\alpha^2$	$\alpha^6$	$\alpha^5$
$\alpha^2$	$\alpha^6$	$\alpha^4$	0	$\alpha^5$	$\alpha^1$	$\alpha^3$	$\alpha^0$
$\alpha^3$	$\alpha^1$	$\alpha^0$	$\alpha^5$	0	$\alpha^6$	$\alpha^2$	$\alpha^4$
$\alpha^4$	$\alpha^5$	$\alpha^2$	$\alpha^1$	$\alpha^6$	0	$\alpha^0$	$\alpha^3$
$\alpha^5$	$\alpha^4$	$\alpha^6$	$\alpha^3$	$\alpha^2$	$\alpha^0$	0	$\alpha^1$
$\alpha^6$	$\alpha^2$	$\alpha^5$	$\alpha^0$	$\alpha^4$	$\alpha^3$	$\alpha^1$	0

	الضرب في الحقل $f(X) = 1 + X + X^3$ حيث $GF(2^3) = GF(8)$						
*	$\underline{\alpha^0}$	$\underline{\alpha^1}$	$\underline{\alpha^2}$	$\underline{\alpha^3}$	$\underline{\alpha^4}$	$\underline{\alpha^5}$	$\underline{\alpha^6}$
$\alpha^0$	$\alpha^0$	$\alpha^1$	$\alpha^2$	$\alpha^3$	$\alpha^4$	$\alpha^5$	$\alpha^6$
$\alpha^1$	$\alpha^1$	$\alpha^2$	$\alpha^3$	$\alpha^4$	$\alpha^5$	$\alpha^6$	$\alpha^0$
$\alpha^2$	$\alpha^2$	$\alpha^3$	$\alpha^4$	$\alpha^5$	$\alpha^6$	$\alpha^0$	$\alpha^1$
$\alpha^3$	$\alpha^3$	$\alpha^4$	$\alpha^5$	$\alpha^6$	$\alpha^0$	$\alpha^1$	$\alpha^2$
$\alpha^4$	$\alpha^4$	$\alpha^5$	$\alpha^6$	$\alpha^0$	$\alpha^1$	$\alpha^2$	$\alpha^3$
$\alpha^5$	$\alpha^5$	$\alpha^6$	$\alpha^0$	$\alpha^1$	$\alpha^2$	$\alpha^3$	$\alpha^4$
$\alpha^6$	$\alpha^6$	$\alpha^0$	$\alpha^1$	$\alpha^2$	$\alpha^3$	$\alpha^4$	$\alpha^5$

بالعودة إلى الترميز  $S-R$ . ذكر أنه معرف بثلاثة موسطات  $n, k, t$  و  $m > 2$  بحيث:  $n-k=2t$  و  $(n,k)=(2^m-1, 2^m-1-2t)$ . ويكون عدد رموز الندية parity. و  $t$  عدد الرموز التي يمكن تصحيحها. كثير الحدود المولد للرمaz من الشكل:

$$g(X) = g_0 + g_1 X + g_2 X^2 + \dots + g_{2t-1} X^{2t-1} + X^{2t}$$

وبالتالي يكون له  $2t$  جذراً نشير إليهم  $\alpha, \alpha^2, \dots, \alpha^{2t}$ .

**مثال:**

نأخذ الرماز (7,3) الذي يصحح رمزيين 4 جذور. وبالعودة إلى القوى المختلفة لـ

: $\alpha$

$$\alpha^3 = 1 + \alpha$$

$$\alpha^4 = \alpha + \alpha^2$$

$$\alpha^5 = \alpha^2 + \alpha^3 = \alpha^2 + 1 + \alpha$$

$$\alpha^6 = \alpha^3 + \alpha + \alpha^2 = 1 + \alpha^2$$

$$\alpha^7 = \alpha + \alpha^3 = 1 = \alpha^0$$

نجد أن:

$$\begin{aligned} g(X) &= (X - \alpha)(X - \alpha^2)(X - \alpha^3)(X - \alpha^4) \\ &= (X^2 - (\alpha + \alpha^2)X + \alpha^3)(X^2 - (\alpha^3 + \alpha^4)X + \alpha^7) \\ &= (X^2 - \alpha^4 X + \alpha^3)(X^2 - \alpha^6 X + \alpha^0) \\ &= X^4 - (\alpha^4 + \alpha^6)X^3 + (\alpha^3 + \alpha^{10} + \alpha^0)X^2 - (\alpha^4 + \alpha^9)X + \alpha^3 \\ &= X^4 - \alpha^3 X^3 + \alpha^0 X^2 - \alpha^1 X + \alpha^3 \end{aligned}$$

وبيما ان الجمع بالمقاس 2 فإن 1 - و 1 متطابقان، يكون لدينا:

$$g(X) = \alpha^3 + \alpha^1 X + \alpha^0 X^2 + \alpha^3 X^3 + \alpha^0 X^4$$

ولترميز رسالة  $(X^m)$ ، نزحها بمقدار  $n-k$  إلى اليسار، ونضيف إليها رموز الندية  $p(X)$  إلى

$$p(X) = [X^{n-k} \cdot m(X)] \bmod g(X)$$

اليمين فيكون لدينا:  $p(X) = U(X) \bmod g(X)$  كما يلي:

$$U(X) = p(X) + X^{n-k} \cdot m(X)$$

لنفترض أننا نود ترميز الرسالة:

$$m(X) = \underbrace{010}_{\alpha^1} \quad \underbrace{110}_{\alpha^3} \quad \underbrace{111}_{\alpha^5}$$

تكتب على شكل كثير حدود:  $\alpha^1 + \alpha^3 X + \alpha^5 X^2$

$$X^{n-k} = X^4$$

$$\alpha^1 X^4 + \alpha^3 X^5 + \alpha^5 X^6$$

ثُم نحسب باقي القيمة على  $(X)$  فجده  $g(X)$

حيث تجرى عملية الجمع والضرب بحسب الجداول المبينة سابقاً لهذا الحقل وهي أصعب من عمليات

$$p(X) = \alpha^0 + \alpha^2 X + \alpha^4 X^2 + \alpha^6 X^3 : p(X)$$

وتكون كلمة الترميز:

$$U(X) = \alpha^0 + \alpha^2 X + \alpha^4 X^2 + \alpha^6 X^3 + \alpha^1 X^4 + \alpha^3 X^5 + \alpha^5 X^6$$

$$= (100) + (001)X + (011)X^2 + (101)X^3 + (010)X^4 + (110)X^5 + (111)X^6$$

يمكن دراسة فك الترميز وكشف الخطأ وتصحيحه وحساب الأعراض. ولكنها خارج نطاق هذا المقرر.

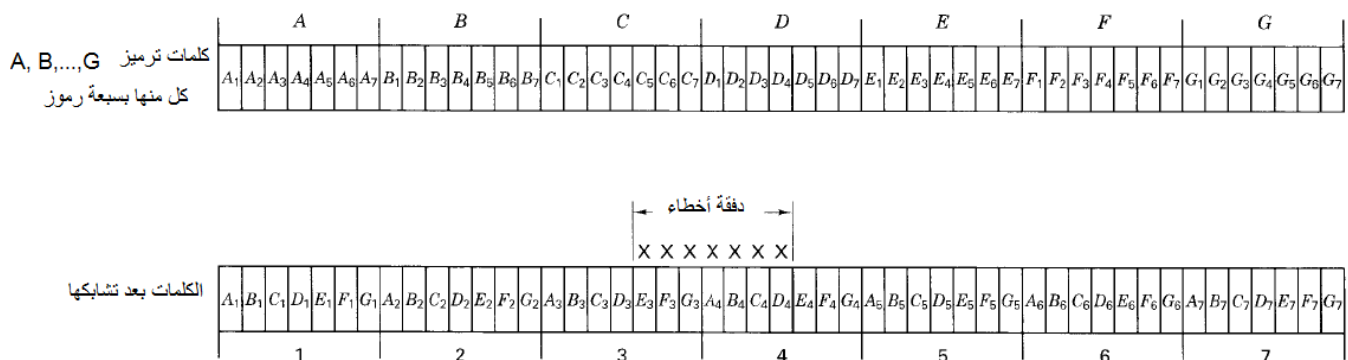
يمكن الاطلاع عليها من المرجع المرفق.

## 4. الترميز الشابكي Interleaving

في الترميز السابقة، افترضنا أن القناة من دون ذاكرة، وأن الأخطاء تحدث على نحو عشوائي. بعض القنوات تعاني من تعدد مسارات الإشارات ضمنها multipath fading، حيث تصل الإشارة إلى المستقبل من عدة مسارات بأطوال مختلفة. مثل هذه القنوات تقول إنها قناة بذاكرة. تعاني قنوات الاتصالات النقالة كما يعاني الانتشار في طبقات الآينوسفير والتروبوسفير من هذه الظاهرة. وقد تصل الإشارات والنسخ المؤخرة عنها بصفحات متعاكسة فتعدم النتيجة عند المستقبل. وتعاني قنوات أخرى من ضجيج رشقي أو نبضي مثل قنوات الهاتف، كل هذا ينتج ترابطًا إحصائيًّا بين الرموز المرسلة المتتالية. لا تصلح الترميز التي رأيناها سابقاً مع هذا النوع من القنوات (قنوات بذاكرة). لذلك، جرى تصميم أرمزة خاصة بهذه القنوات. ولكن المشكلة تكمن في صعوبة الحصول على نماذج دقيقة لإحصائيات القناة المتغيرة مع الزمن. إن استعمال التشابك هو إحدى التقنيات التي تتطلب فقط معرفة امتداد ذاكرة القناة.

تجري بعثرة معطيات الرموز في المرمز وإعادة ترتيبها في المستقبل. ما يعني أن دفقات الأخطاء ستتوزع في الزمن ما يجعل القناة وكأنها من دون ذاكرة.

يبين الشكل التالي سبعة كلمات ترميز  $A, B, \dots, G$  كل منها بسبعة رموز. مثلاً كلمة الترميز  $A$  تتكون من الرموز  $A_1A_2A_3A_4A_5A_6A_7$ . السطر العلوي يبيّن إرسال الكلمات من دون تشابك. ولنفترض أن الترميز قادر على تصحيح رمز واحد. فإذا أتت دفقة خطأ يمكن أن تقضي على الكلمتين الثالثة والرابعة  $-D -C$ . أما بوجود التشابك (السطر السفلي)، فستتمكن من تصحيح كل الرموز الخطأ، لأن رمزاً واحداً من كل كلمة ترميز أصابه الخطأ.



#### 1.4. المشابك الكتلي

المشابك يأخذ الرموز من المرمز على شكل كتل، يطبق عليها تبديلاً ويرسلها. مفكك الترميز في المستقبل يجري التبديل المعاكس. عادة في المشابك نماؤ مصفوفات ( $M \times N$ ) من كتل الرموز. نملؤها عموداً عموداً ونرسلها سطراً سطراً. مفكك الترميز يملأ مصفوفته سطراً سطراً ويفك الترميز عموداً عموداً. كما في الشكل التالي:

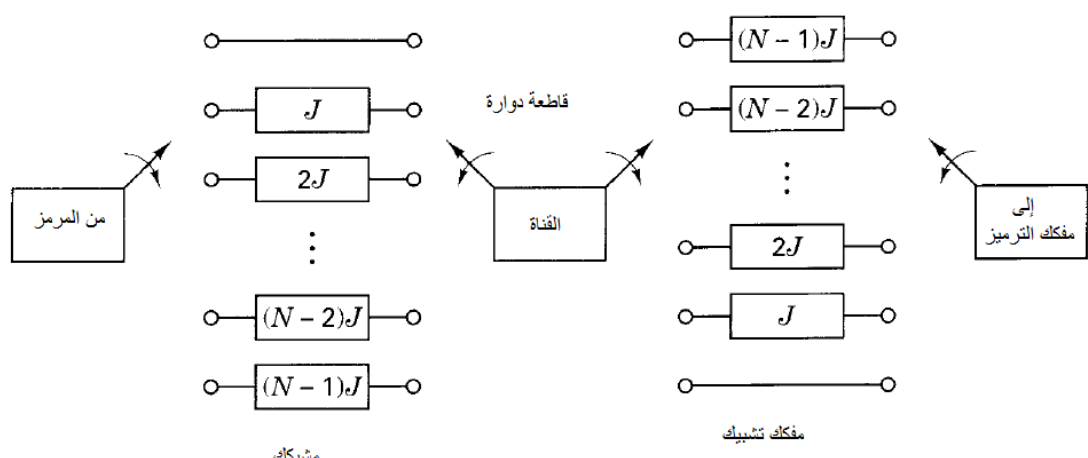
$N = 6$					
$M = 4$	1	5	9	13	17
	2	6	10	14	18
	3	7	11	15	19
	4	8	12	16	20
					24

متناهية خرج المشابك :  $1, 5, 9, 13, 17, 21, 2, 6, \dots$

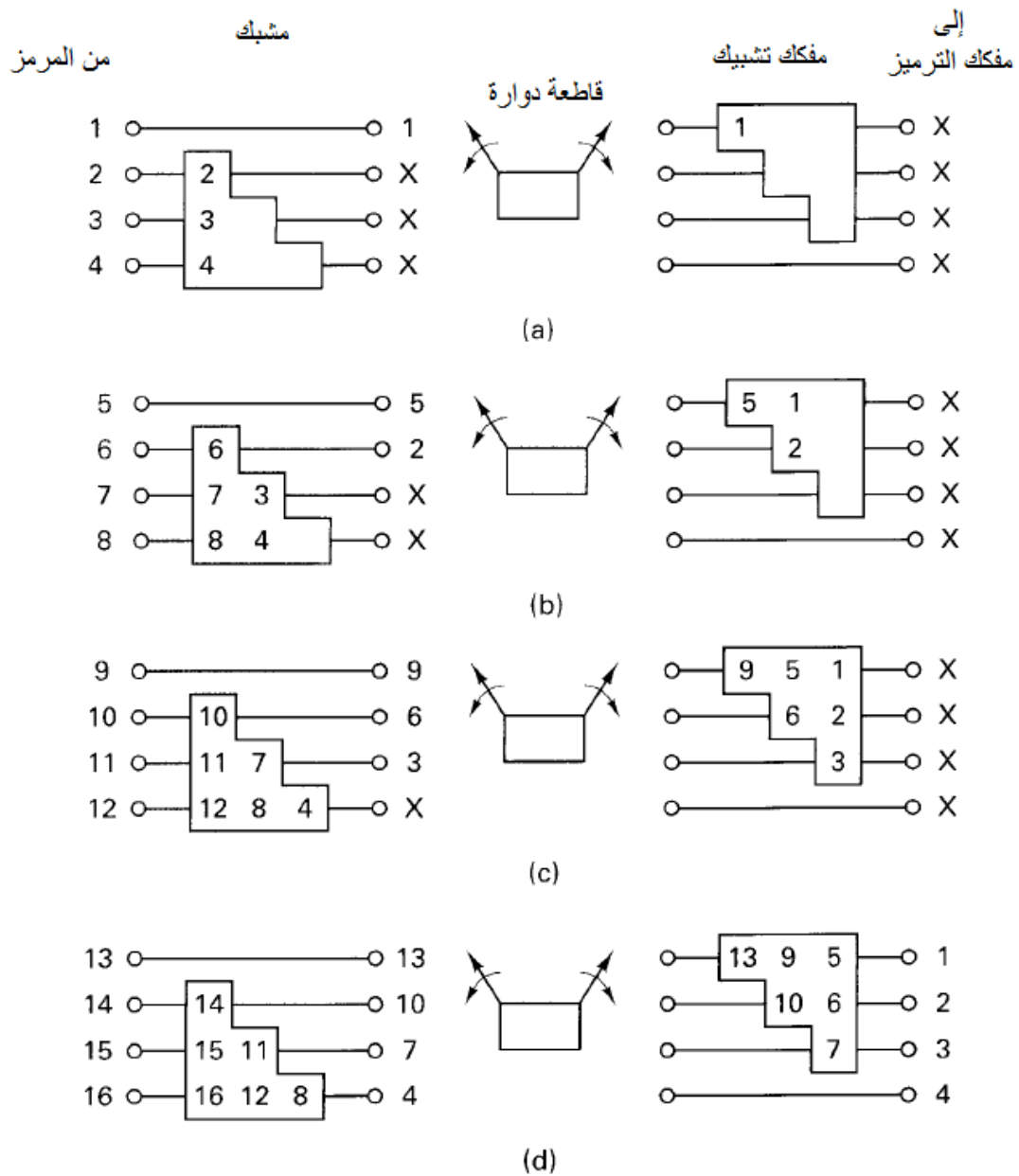
#### 2.4. المشابك التلفيفي

هنا يجري ملء  $N$  سجل إزاحة بالرموز، ولتكن السجل 0 حتى السجل  $N-1$ . كل سجل يتضمن ز رمزاً إضافياً عن سابقه. وثمة قاطعة تحول من خرج سجل إلى آخر. السجل الصفرى تخرج رموزه إلى القناة، ثم السجل الأول تزاح رموزه ز رمزاً إلى اليمين ثم تخرج، والسجل الثاني بإزاحة  $2J$  رمزاً وهكذا. ثم نعاد الكرة.

في المستقبل تجري العمليات المعاكسة بالترتيب المعاكس، كما هو مبين في الشكل التالي:

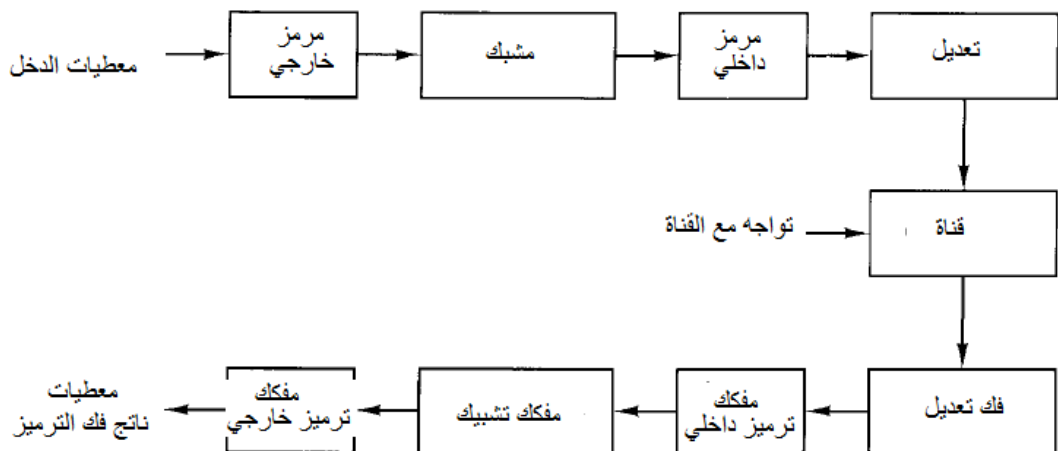


. ببين المثال التالي أربع سجلات  $j = 1$



### 3.4. ضم الأرمزة

تستعمل بعض التطبيقات مستويين من الرماز، لتحسين أداء الرماز: رماز داخلي له تواجه مع المعدل، هدفه تصحيح معظم أخطاء القناة، ورماز خارجي بمعدل رماز أعلى (وحشو أقل)، يخفض من احتمال الخطأ. يبين الشكل التالي توضع هذه الأرمزة:



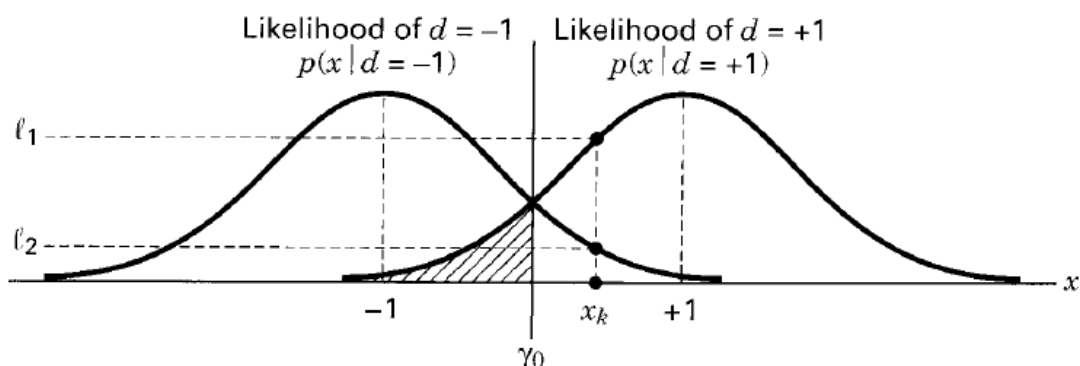
يبين الشكل السابق مثلاً هو الأشهر على استعمال ضم الأرمزة، يستعمل الرماز التلفيفي للترميز الداخلي و  $R - S$  للترميز الخارجي وبينهما مشبك interleaver. يحقق هذا النظام معدلات خطأ من رتبة  $10^{-5}$  لنسبة استطاعة البت إلى الضجيج  $E_b / N_0$  من رتبة  $2dB$ .

## 5. ترميز توربيني turbo codes

الترميز التوربيني هو تحسين لضم الأرمزة، يضاف إليه خوارزمية تكرارية لفك الترميز. لذلك أفرد له فقرة خاصة. يمكن الحصول على معدلات خطأ  $10^{-5}$  مع نسبة استطاعة البت إلى الضجيج  $E_b / N_0$  من رتبة  $0.7dB$ . يضاف إلى ذلك قرارات لينة بشأن فك الترميز. أي عوضاً عن أن يكون ناتج فك ترميز البت هو 0 أو 1 نقول أن احتمال أن يكون ناتج فك التعديل هو 0 هو  $p_0$  ، واحتمال أن يكون ناتج فك التعديل 1 هو  $p_1$  . ونعرف بناء عليه الأرجحية العظمى اللاحقة Maximum a-posteriori لحالات أن يكون مطال الإشارة +1 أو -1 - ليمثل أحد البتات والبت الآخر على الت التالي بالعلاقة:

$$p(d = +1 | x) \stackrel{>_{H_1}}{<} p(d = -1 | x)$$

حيث  $x$  قيمة المطال المقاسة، و  $d$  هي إشارة المعطيات التي يمكن أن تتطابق القيمة +1 أو -1 . فرضية  $H_1$  و  $d = +1$  فرضية  $H_2$  و  $d = -1$  . فإذا عرفنا عتبة معينة  $\gamma_0$  تعرف لدينا مجال أرجحية كما في الشكل التالي:



وياستعمال بايس للاحتمالات الشرطية يمكننا أن نكتب:

$$p(x | d = +1).p(d = +1) \stackrel{>_{H_1}}{<} p(x | d = -1).p(d = -1)$$

وهذه العلاقة تكافئ:

$$\frac{p(x | d = +1)}{p(x | d = -1)} \stackrel{>_{H_1}}{<} \frac{p(d = -1)}{p(d = +1)} \text{ or } \frac{p(x | d = +1)p(d = +1)}{p(x | d = -1)p(d = -1)} \stackrel{>_{H_1}}{<} 1$$

$$\frac{p(x | d = +1)}{p(x | d = -1)} \stackrel{H_1}{\gtrless} \frac{P(d = -1)}{P(d = +1)} \text{ or } \frac{p(x | d = +1)P(d = +1)}{p(x | d = -1)P(d = -1)} \stackrel{H_1}{\gtrless} 1$$

نسبة الأرجحية اللغزية تأخذ لغزت العلاقة السابقة لتضعها على شكل مجموع حددين:

$$\begin{aligned} L(d | x) &= \log \left[ \frac{p(d = +1 | x)}{p(d = -1 | x)} \right] = \log \left[ \frac{p(x | d = +1)p(d = +1)}{p(x | d = -1)p(d = -1)} \right] \\ &= \log \left[ \frac{p(x | d = +1)}{p(x | d = -1)} \right] + \log \left[ \frac{p(d = +1)}{p(d = -1)} \right] \\ &= \log(x | d) + L(d) \end{aligned}$$

غالباً ما يُشار إلى العلاقة الأخيرة بالتدوين:

$$L'(\hat{d}) = L_c(x) + L(d)$$

حيث الحد الأول ناتج عن قياسات تجري على خرج القناة، والحد الثاني له علاقة باحتمالات الرموز.

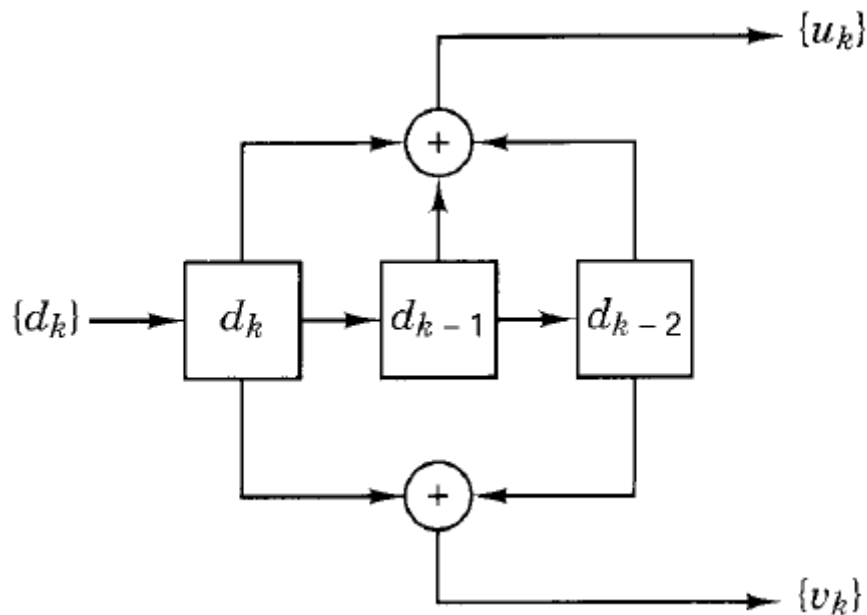
**مثال:**

لفترض لدينا رمazين تلفيفيين بمعدل  $1/2$  ، مع طول قيد  $K$  وذاكرة  $-1$ . في اللحظة  $k$  تأتي بت المعطيات  $d_k$  ، ويكون الخرج هو البتان  $(u_k, v_k)$  بحيث:

$$\begin{aligned} u_k &= \sum_{i=0}^{K-1} g_{1i} d_{k-i} \mod 2, \quad g_{1i} = 0,1 \\ v_k &= \sum_{i=0}^{K-1} g_{2i} d_{k-i} \mod 2, \quad g_{2i} = 0,1 \end{aligned}$$

يمكن النظر إلى  $v_k, u_k$  على أن كل منهما خرج مرشح باستجابة نبضية منتهية FIR ، ونسمى هذه الأرمزة: أرمزة تلفيفية غير منتظمة NSC convolutional codes .nonsystematic

على سبيل المثال: إذا كان طول القيد  $K=3$  ، وكان  $\{G_1 = \{111\}, G_2 = \{101\}\}$  . يبين الشكل التالي عملية الترميز في هذه الحالة:

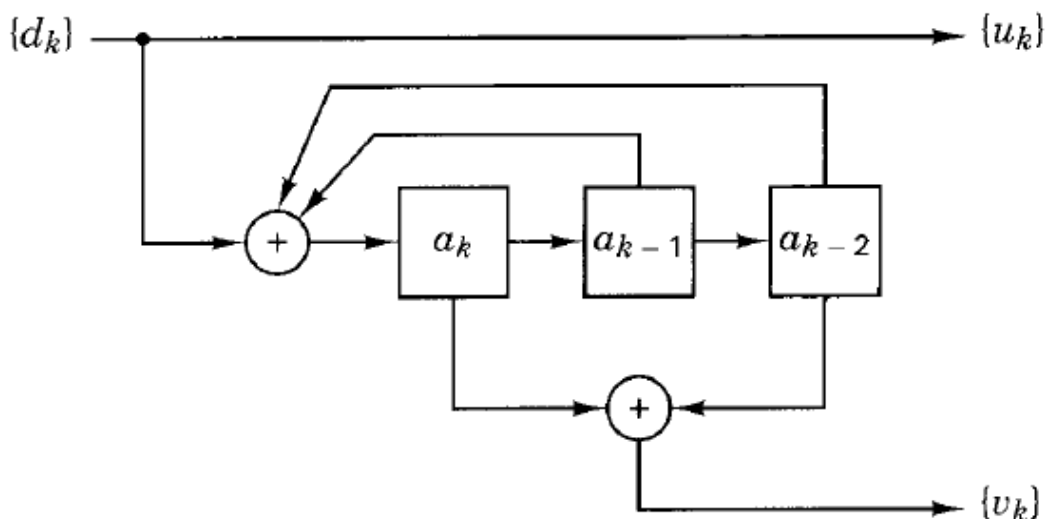


جرى أيضاً تصميم أرمزة توربينية باستعمال مرشحات ذات استجابة نبضية غير منتهية IIR، وأنتجت أرمزة سميت أرمزة تلفيفية منتظمة عودية RSC recursive systematic convolutional codes. أداء هذه الأرمزة أفضل من النوع السابق NSC. يمكن استنتاج رمaz  $\frac{1}{2}$  من الرماز NSC في المثال بأخذ تغذية راجعة ووضع أحد الخرجين  $u_k$  أو  $v_k$  مساوياً  $d_k$ ، لنجصل على العلاقة:

$$a_k = d_k + \sum_{i=1}^{K-1} g_i' a_{k-i} \mod 2,$$

$$g_i' = g_{1i} \text{ if } u_k = d_k, \quad g_i' = g_{2i} \text{ if } v_k = d_k,$$

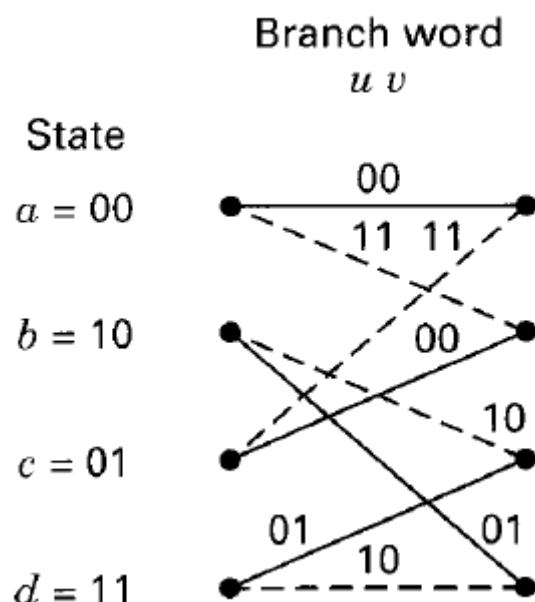
ويكون مخطط الترميز هو التالي:



الجدول التالي يبين تفصيل المخطط

اللحظة $k$	بت الدخل $d_k = u_k$	المرحلة الأولى $a_k$	الحالة في اللحظة $k$ $a_{k-1} \quad a_{k-2}$	كلمات الرماز $u_k \quad v_k$
1	1	1	0	0
2	1	0	1	0
3	1	0	0	1
4	0	0	0	0
5			0	0

وبالعودة إلى البنية الشبكية Trellis نرى أن بنية الشبكة لهذا الرماز هي التالية:



والجدول التالي يبين تفصيل الحالات لهذه البنية:

بت الدخل	البت الحالية		الحالة الابتدائية		كلمات الرماز		الحالة النهائية	
	$d_k = u_k$	$a_k$	$a_{k-1}$	$a_{k-2}$	$u_k$	$v_k$	$a_k$	$a_{k-1}$
0	0	0	0	0	0	0	0	0
	1	1	0	0	1	1	1	1
	1	0	1	0	0	1	1	0
	0	1	1	0	1	0	1	1
1	1	0	0	1	1	1	0	0
	0	1	0	1	0	0	1	1
	0	0	1	1	1	0	0	0
	1	1	1	1	0	1	1	1

يمكن اعتماد تشكيلات أخرى تتضمن أكثر من ترميز وتعطي أداء أفضل بالنسبة لمعدل الخطأ.

## 6. أداء نظم الاتصالات الرقمية

حين يجري تصميم نظام اتصالات رقمي، يمكن أن يهدف المصمم إلى تحقيق أحد أو معظم الأمور التالية:

1. جعل معدل البت  $R$  أعظمياً.
2. جعل معدل خطأ البت  $P_B$  أصغرياً.
3. جعل الاستطاعة أو نسبة طاقة البت إلى الكثافة الطيفية لاستطاعة الضجيج  $E_b / N_0$  صغرى.
4. جعل عرض حزمة النظام أصغرياً.
5. جعل استعمال النظام أعظمياً (يعطي خدمات موثوقة إلى أكبر عدد من المستخدمين بأصغر تأخير وأكبر ممانعة للتدخل).
6. جعل تعقيد النظام وحساباته وتكلفته أصغرية.

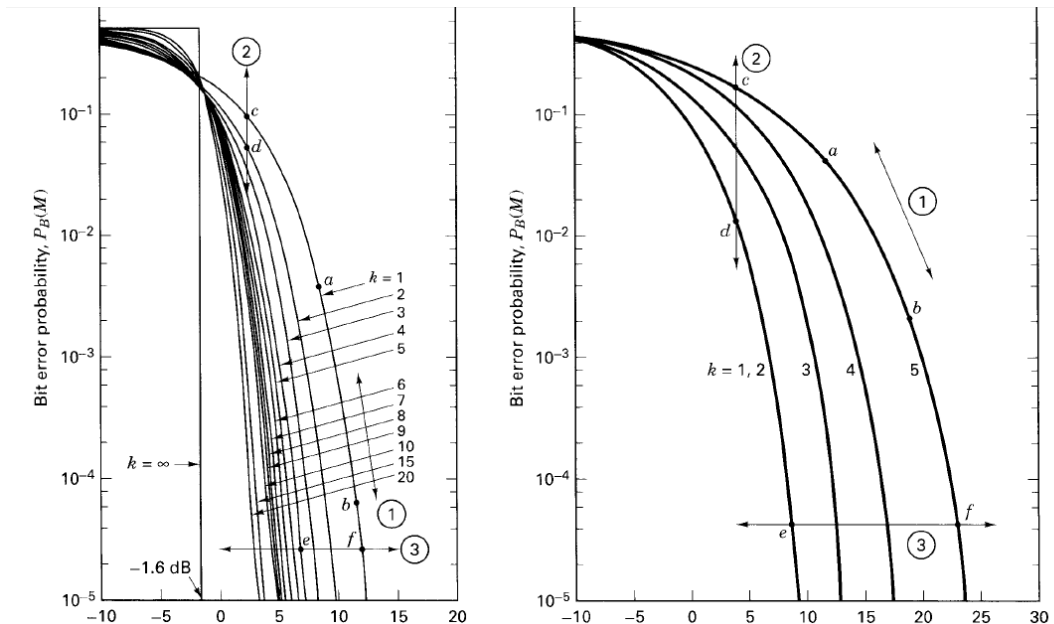
وقد يرغب المصمم بتحقيق جميع الأهداف السابقة. ولكن، يتعارض الهدفان 1 و 2 مع الهدفين 3 و 4. إضافة إلى ذلك، ثمة قيود نظرية لا يمكن تجاوزها:

- متطلبات عرض الحزمة الأصغر لنيكوسن.
- حدود شانون لسعة القناة بناء على نظرية شانون-هارتلي.
- النوازن الحكومية (مثل تحصيص الترددات).
- الحدود التقانية (مثل العناصر الإلكترونية وغيرها).
- متطلبات أخرى (مثل مدارات السوالن).

يمكن في أحسن الحالات النظر إلى بعض المقايسات بين التعديل والترميز على أنه تغيير نقطة عمل في مستوى احتمال الخطأ أو مستوى عرض الحزمة أو كليهما. نبين هذه المفاهيم في الفقرة التالية.

## 1.6. مستوى احتمال الخطأ

سبق وأن رأينا في الفصل الخامس كيف تتأثر احتمال الخطأ بدلالة  $E_b / N_0$  بالديسيبل. نعيد رسم النتائج هنا في الشكل التالي. إلى اليمين من أجل إشارات رموز متعددة لعدد مختلف من الإشارات مثل FSK المتعدد، وإلى اليسار من أجل إشارات رموز بصفحات متعددة MPSK بدلالة عدد الصفحات.



يمكن النظر إلى النقل بين النقطتين  $ab$  على الخط 1 على أنه مقايسة بين  $P_B$  و  $E_b / N_0$  مع  $W$  ثابت. وإلى النقل بين  $cd$  على الخط 2 كمقاييسة بين  $P_B W$  مع  $E_b / N_0$  ثابتة. وأخيراً النقل بين النقطتين  $ef$  على الخط 3 كمقاييسة بين  $W$  و  $E_b / N_0$  مع  $P_B$  ثابت.

## 2.6. عرض الحزمة الأصغر لنكوسن

بين نكوسن أن عرض الحزمة الأصغر الذي يتطلبه النقل في الحزمة القاعدية  $L_s R_s$  رمزاً في الثانية من دون تداخل رموز ISI هو  $R_s / 2$  هرتز. عملياً عرض الحزمة المطلوب أوسع بـ 10% إلى 40% فتخفض النسبة من  $1.4 - 1.8 \text{ symbols/s/Hz}$  إلى  $2 \text{ symbols/s/Hz}$ . في حالة MPSK يكون عدد البتات في الرمز الواحد  $k = \log_2 M$  ويكون عدد البتات في الثانية  $R_s = R_s k$  وبذلك تزيد فعالية عرض الحزمة.

### 3.6. نظرية سعة القناة لشانون-هارتلي

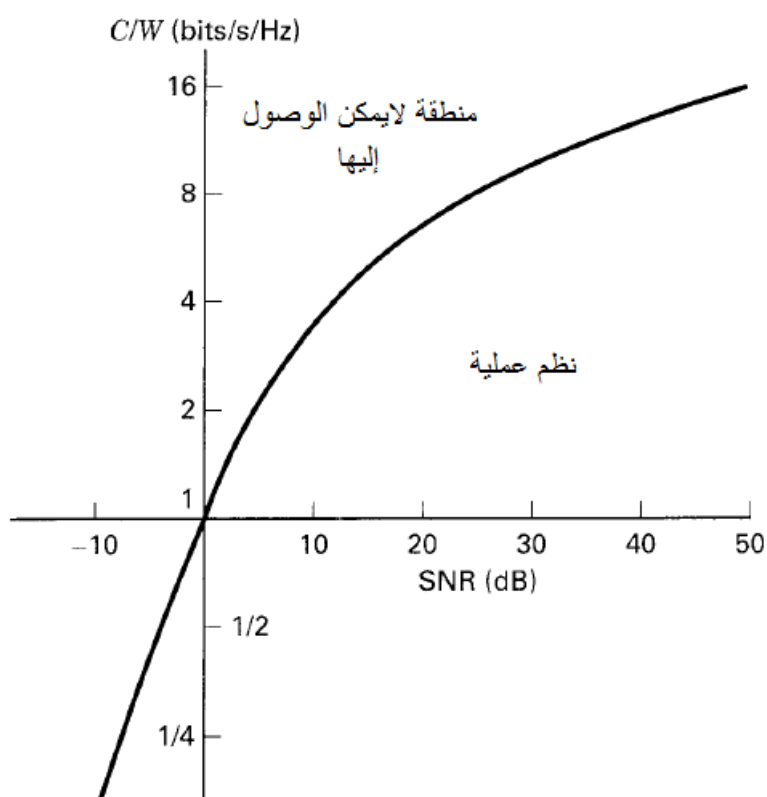
سيق وبيّنا أن سعة القناة  $C$  حين يضاف عليها ضجيج أبيض غاوسي جمعي تتبع إلى استطاعة الإشارة  $S$  واستطاعة الضجيج  $N$  وعرض الحزمة  $W$  بالعلاقة:

$$C = W \cdot \log_2 \left( 1 + \frac{S}{N} \right)$$

فإذا كانت الكثافة الطيفية لاستطاعة الضجيج هو  $N_0 = W \cdot N_0$ . وبإعادة ترتيب العلاقة نجد أن:

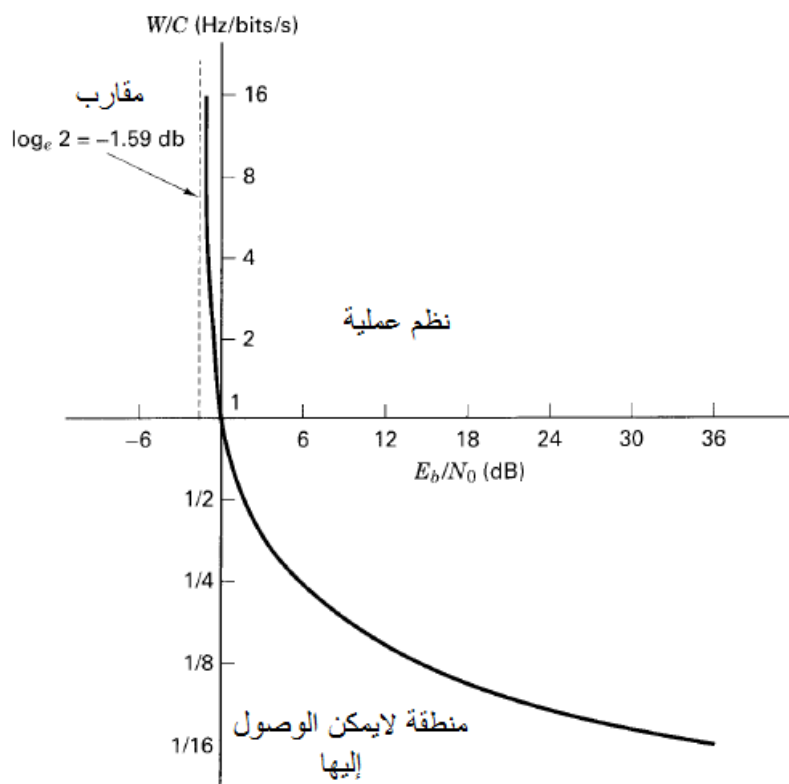
$$\frac{C}{W} = \log_2 \left( 1 + \frac{S}{N_0 W} \right)$$

الشكل التالي يبين منحنى هذه العلاقة وبين الحدود النظرية للنظم العملية.



#### 4.6. مستوى فعالية عرض الحزمة

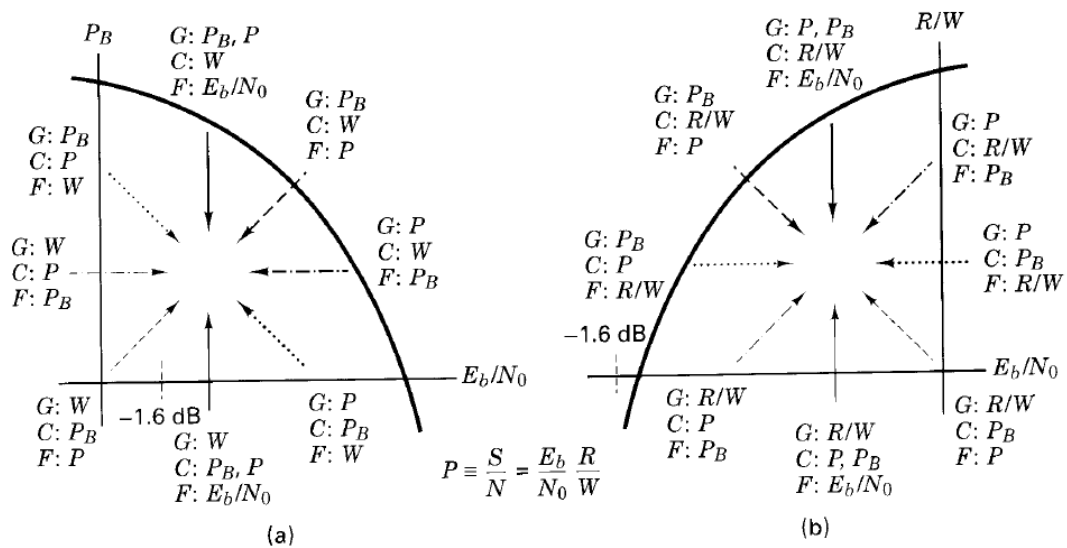
من علاقة سعة القناة السابقة يمكننا رسم علاقة عرض الحزمة  $W$  من أجل سعة قناة ثابتة بدلالة  $E_b / N_0$  كما يلي:



الحالة المثالية حين يكون  $C = R$ . عملياً نبعد حوالي  $10\text{ dB}$  عن هذا الحد، وبسبب وجود الركبة في المنحني نرى أنه لخفض عرض الحزمة أو لخفض استطاعة الإشارة علينا أن نزيد بالموسط الآخر. على سبيل المثال، لنفترض أن نظاماً مثاليّاً له  $E_b / N_0 = 1.8\text{ dB}$  وعرض حزمة  $0.5/\text{Hz/bits/s}$ . على هذا النظام أن يزيد  $E_b / N_0$  بمقدار  $20\text{ dB}$  ليقلل عرض الحزمة بمقدار  $0.1/\text{Hz/bits/s}$ .

## 5.6. المقايسة بين التعديل والترميز

من كل الفقرات السابقة يمكننا رسم مستوى احتمال الخطأ ومستوى فعالية الطيف ثم نرسم عليهما المقايسات اللازمة. ونستعمل التدوينات المعتمدة لعرض الحزمة  $W$  واحتمال الخطأ  $P_B$  وفعالية الطيف  $R/W$  واستطاعة الإشارة  $P$ . وبحيث تشير الحروف  $G$  إلى كسب و  $C$  إلى تكلفة و  $F$  إلى ثابت (لا يتغير). فنحصل على النتائج التالية التي تبين موضع نظامنا الذي نود تصميمه بحسب ما يتاح لنا من موطمات يمكن تغييرها أو قيود يجب احترامها.



في هذا الشكل (a) يمثل مستوى احتمال الخطأ و (b) يمثل مستوى فعالية الطيف.

أخيراً: جرى في هذا الفصل من المقرر عرض المفاهيم الأساسية والتقنيات المستعملة في الاتصالات الرقمية المتقدمة. وعادة يفرد مقرر مستقل لتغطية هذه المفاهيم. نرجو أن تكون قد قدمنا ما يكفي للتعاطف لاحقاً بهذه المفاهيم إن تطلب الأمر في المستقبل.

## تمارين محلولة

1. قناة هاتفية عرض حزمتها  $3\text{kHz}$ ، تتمذج بقناة ذات ضجيج ألبض جمعي. ماسعة القناة حين تكون نسبة الإشارة إلى الضجيج  $30\text{dB}$ ? وما هي نسبة الإشارة إلى الضجيج الصغرى اللازم ل معدل بت  $4800$  بتاً في الثانية.

الحل:

$$C = W \cdot \log_2 \left( 1 + \frac{S}{N} \right) = 3000 \log_2 (1 + 1000) \approx 30000 \text{ bits / s}$$

$$30\text{dB} \Leftrightarrow 1000$$

$$C = W \cdot \log_2 \left( 1 + \frac{S}{N} \right) \Rightarrow \frac{S}{N} = 2^{C/W} - 1 = 2^{4800/3000} - 1 = 2.08 \Leftrightarrow 3.08\text{dB}$$

الطلب الثاني:

2. أثبت أن كثير الحدود  $1 + X^2 + X^3 + \dots + X^n$  أولي

الحل:

نتأكد أن كثير الحدود يقسم  $1 + X^{2^m-1} = 1 + X^7$  ولا يقسم أي كثير حدد  $7 \leq n < 2^m-1$ .

3. في ترميز ريد-سولومون  $(7,3)R-S$ ، ماعدد البتات التي يمكن أن يصححها؟ وما عدد بتات الرموز؟ وعدد الرموز الكلية.

الحل:

عدد البتات التي يصححها:  $t = \frac{n-k}{2} = \frac{7-3}{2} = 2$

عدد بتات الرموز؟  $(n, k) = (7, 3) = (2^m - 1, 2^m - 1 - 2t) \Rightarrow m = 3$

لذلك فإن عدد الرموز  $2^{km} = 2^9 = 512$

## تمارين للحل

1. أعد الطلب الثاني من التمارين المحلول 1 - في حالة معدل البت 19200 bits/s.
2. تمرن 2-8 من كتاب (sklar) نود دراسة الحقل  $GF(2^m)$ ,  $m=4$  نأخذ كثير الحدود الأولى والمطلوب:  $1 + X + X^4$ 
  - حدد عناصر الحقل  $\{0, \alpha, \alpha^2, \dots, \alpha^{2^m-2}\}$  ثم أوجد جدول الجمع وجدول الضرب في هذا الحقل.
  - أوجد كثير الحدود المولد للترميز  $(31,27)R-S$  ثم اوجد ناتج ترميز الرسالة المكونة من 96 صفرًا يتلوها 110010001111 باستعمال هذا الترميز.

## مذكرة

أجب بصح أو خطأ وصح الخطأ

1. في الترميز الخطى الكتلى النظمي  $(n,k)$ ، تتكون كلمة الرماز من  $n-k$  بتاً لفحص الندية، يتلوها  $k$  بتاً هي ببات الرسالة
2. في الترميز الخطى الكتلى النظمي  $(n,k)$ ، ببات فحص الندية هي ناتج الجداء التلفيفي لبات الرسالة مع سلسلة اختبار
3. لا يحتاج الترميز التلفيفي لذاكرة
4. تأتي أهمية ترميز R-S والترميز الشابكي من أدائها الجيد في تصحيح الأخطاء الدقيقة
5. تأتي أهمية الترميز التوربيني من قراراتها الصلبة في فك الترميز

1. ‘Digital Communications: Fundamentals and Applications’, 2nd edition, by, Bernard SKLAR, Prentice Hall P T R, 2001 ch 6–9
2. ‘Digital and Analog Communication Systems’, 8<sup>th</sup> edition, by Leon W. COUSH II, Pearson Education International, 2013 ch7

رقم السؤال	الإجابة
<p>صحيح</p> <p><b>خطأ</b></p> <p>(تركيب خطية من بذات الرسالة)</p>	<p>1. في الترميز الخطى الكثلى النظامي <math>(n,k)</math>، تتكون كلمة الرمaz من <math>n-k</math> بتاً لفحص الندية، يتلوها <math>k</math> بتاً هي بذات الرسالة.</p>
<p><b>خطأ</b></p> <p>(تعتمد بذات الندية على بذات الرسالة وبذات سابقة)</p>	<p>2. في الترميز الخطى الكثلى النظامي <math>(n,k)</math>، بذات فحص الندية هي ناتج الجداء التلفيفي لبذات الرسالة مع سلسلة اختبار</p>
<p>صحيح</p>	<p>3. لا يحتاج الترميز التلفيفي لذاكرة</p>
<p><b>خطأ</b></p> <p>(القرارات لينة تعطى احتمالات الكشف)</p>	<p>4. تأتي أهمية ترميز R-S والترميز الشابكي من أدائها الجيد في تصحيح الأخطاء الدقيقة</p> <p>5. تأتي أهمية الترميز التوربيني من قراراتها الصلبة في فك الترميز</p>